

## บทที่ 4

### ผลและวิจารณ์ผลการทดลอง

#### 4.1 การศึกษาสมบัติของยางรีเคลม

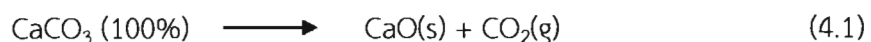
ยางรีเคลม คือ ยางที่ได้จากการนำยางที่ผ่านการวัลค้าน้ำมันผ่านกระบวนการรีเคลม (Reclamation) เพื่อให้สามารถนำยางวัลค้าน้ำมันที่ใช้แล้วกลับมาใช้ใหม่ได้ กล่าวคือการทำให้ไม่เลกฤทธิ์ ยางสามารถวัลค้าน้ำมันได้อีกรั้ง โดยยางรีเคลมที่ใช้ในการทดลองมีลักษณะเป็นแผ่นสีดำไม่ทราบ สมบัติ ฉะนั้นจึงต้องทดสอบและวิเคราะห์สมบัติเบื้องต้นของยางรีเคลม ได้แก่ สมบัติเชิงความร้อน การวิเคราะห์โครงสร้างทางเคมี การวิเคราะห์ปริมาณส่วนที่ละลายและไม่ละลาย การหาปริมาณพันธะเชื่อมขวาง และการวิเคราะห์สัมฐานวิทยา

##### 4.1.1 การวิเคราะห์สมบัติเชิงความร้อนของยางรีเคลมด้วยเทคนิค Thermal gravimetric analysis (TGA)

การวิเคราะห์สมบัติเชิงความร้อนโดยใช้เทคนิค TGA ตามวิธีในหัวข้อ 3.3.1.2 เพื่อศึกษาชนิดและปริมาณองค์ประกอบในยางรีเคลม ได้ผลเทอร์โมแกรมแสดงความสัมพันธ์ระหว่างน้ำหนักที่หายไป (Weight loss (%)) และอัตราการหายไปของน้ำหนัก (Derivative weight (%/min)) กับอุณหภูมิ (Temperature (°C)) ดังรูปที่ 4.1(A) และ (B) และ ตารางที่ 4.1 แสดงองค์ประกอบของยางรีเคลมจากการทดสอบด้วยเทคนิค TGA

จากรูปที่ 4.1(A) เป็นการทดสอบสมบัติเชิงความร้อนโดยใช้เทคนิค TGA ภายใต้บรรยากาศในไตรเจน จะพบการสลายตัวของยางรีเคลม 4 ช่วง แบ่งเป็นช่วงที่ 1 ที่อุณหภูมิ 49-300°C มีปริมาณการสลายตัว 9.5% ซึ่งเป็นการสลายตัวของ น้ำมัน พลาสติไซเซอร์ และสารเคมีบางชนิดในยางรีเคลมที่สลายตัวที่อุณหภูมิต่ำ (Chen and Qian, 2003) จากนั้นการสลายตัวในช่วงที่ 2 และ ช่วงที่ 3 จะเกิดในช่วงอุณหภูมิ 300-490°C และ 490-585°C ตามลำดับ ในช่วงนี้จะเป็นการสลายตัวขององค์ประกอบหลักของสายโซ่ไมเลกุลยางซึ่งเป็นสารไฮโดรคาร์บอน ซึ่งจะเห็นว่ายางเกิดการสลายตัวเป็น 2 ช่วง แสดงให้เห็นว่ายางรีเคลมมียางเป็นองค์ประกอบเท่ากับหรือมากกว่า 2 ชนิด ซึ่งมีปริมาณการสลายตัวรวมกันเท่ากับ 55% โดยจากการสลายตัวทั้งสองช่วงนั้นคาดว่า ในช่วงที่ 1 ที่อุณหภูมิ 355°C เป็นการสลายตัวของยางธรรมชาติ (Gisbert et al., 2007) และช่วงที่ 2 ที่อุณหภูมิประมาณ 422°C เป็นการสลายตัวของยางสังเคราะห์คือ ยางบิวทาไดอีน (Butadiene rubber) และยางส్ಟైเรนบิวทาไดอีน (Styrene-Butadiene rubber) (Chen and Qian, 2003; Berrueco et al., 2004; Gisbert et al., 2007) รวมถึงอาจเป็นการสลายตัวของยางเอทิลีนโพร์พีลินไดอีน

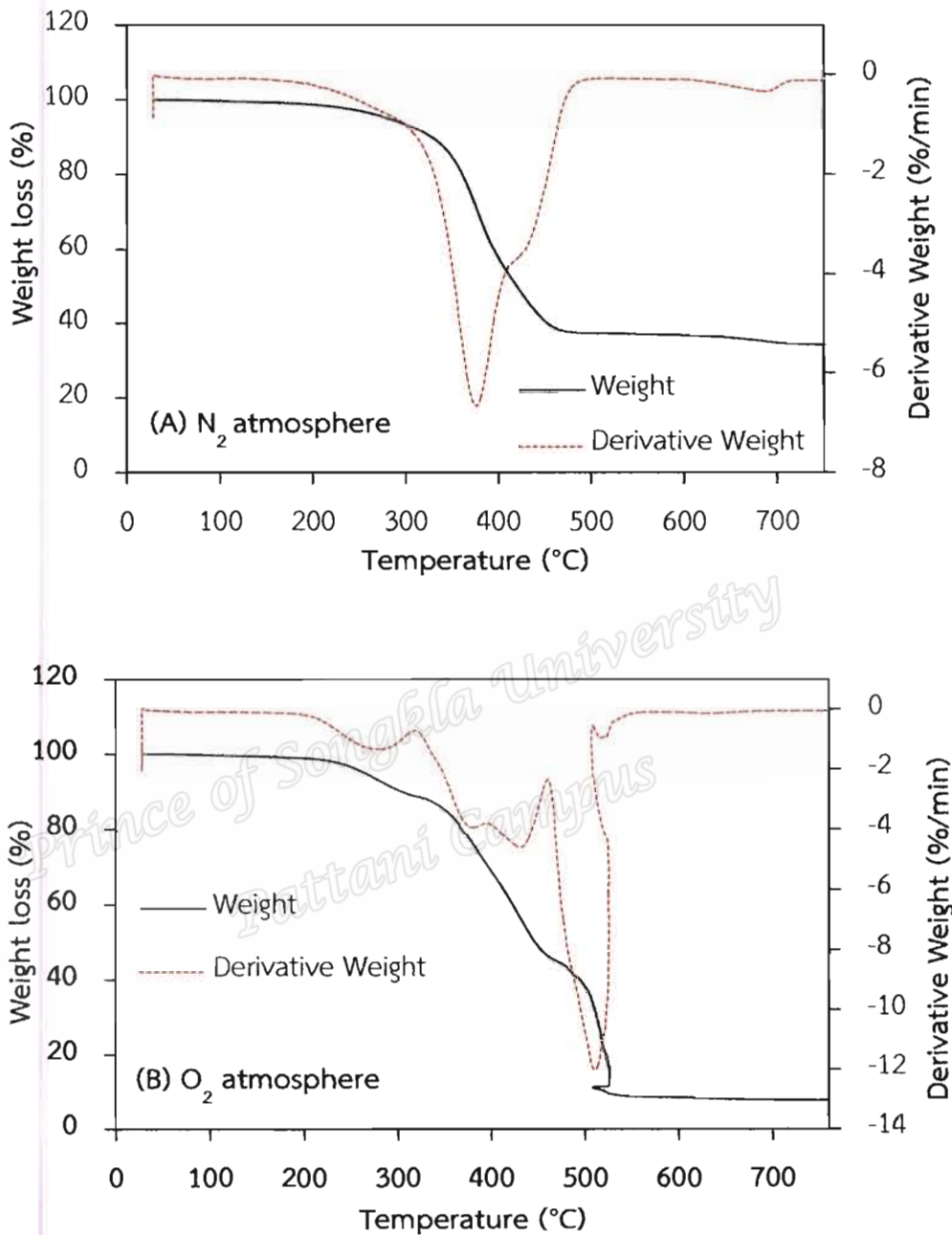
(Ethylene-Propylene Diene Rubber, EPDM) เนื่องจากสามารถสลายตัวได้ในช่วงอุณหภูมิ 410 - 440°C (Gamlin et al., 2003) และในการสลายตัวของยางรีเคลมในช่วงที่ 4 ซึ่งเกิดในช่วงอุณหภูมิ 615-750°C พบรการสลายตัวขององค์ประกอบในยางรีเคลมประมาณ 2% ซึ่งคาดว่าจะเป็นการสลายตัวของสารตัวเติมแคลเซียมคาร์บอนেต (Calcium carbonate, CaCO<sub>3</sub>) ได้ก้าว карбонไดออกไซด์ (Huang and Wang, 2009) ดังสมการที่ 4.1 และมีปริมาณถ่านหินเหลืออยู่ 33.5%



จากนั้นเพื่อวิเคราะห์องค์ประกอบของสารตัวเติมเข้มข้นในยางรีเคลมเพิ่มเติม จึงได้นำยางรีเคลมไปวิเคราะห์การสลายตัวภายใต้บรรยากาศออกซิเจน ดังรูปที่ 4.1(B) พบร่วมกับการสลายตัวที่อุณหภูมิ 460-510°C และมีปริมาณ 33% ขณะที่มีถ่านหินเหลืออยู่ 8.0% ซึ่งเป็นสารที่ไม่สลายตัวในช่วงอุณหภูมิต่ำกว่า 620°C เช่น สารอนินทรีย์ ซึ่งคงออกไซด์และแคลเซียมออกไซด์จากแคลเซียมคาร์บอนे�ต เป็นต้น

ตารางที่ 4.1 องค์ประกอบของยางรีเคลมแบบแผ่นที่ทดสอบด้วยเทคนิค TGA ที่อุณหภูมิห้อง ถึง 750°C ภายใต้บรรยากาศในไตรเจน และออกซิเจน

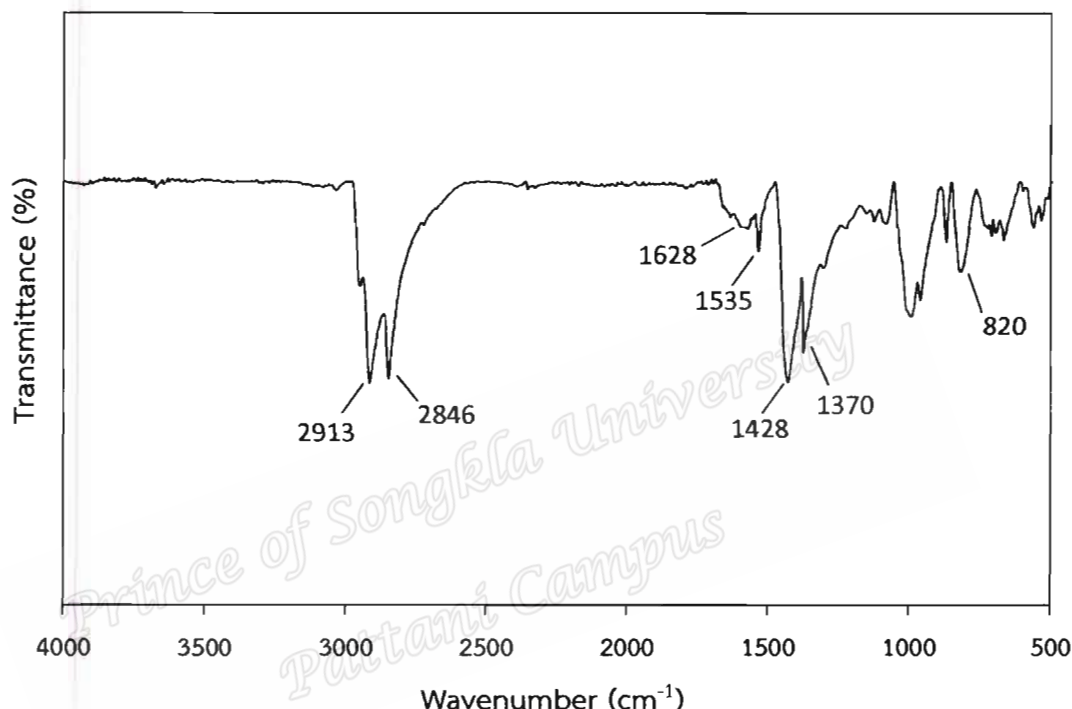
Number	Atmosphere	T <sub>d</sub> onset (°C)	T <sub>d</sub> (°C)	Component (%)	Type of component
1	N <sub>2</sub>	59	49-300	9.5	Water, Oil
2	N <sub>2</sub>	349	300-490	36.5	Rubber
3	N <sub>2</sub>	410	490-585	18.5	Rubber
4	N <sub>2</sub>	623	685-750	2.0	CO <sub>2</sub> in CaCO <sub>3</sub>
5	N <sub>2</sub>	-	>750	33.5	Ash
6	O <sub>2</sub>	485	460 – 510	33.0	Carbon black
7	O <sub>2</sub>	618	510 – 620	4.0	CO <sub>2</sub> in CaCO <sub>3</sub>
8	O <sub>2</sub>	-	>620	8.0	Ash



รูปที่ 4.1 เทอร์โมแกรมแสดงความสัมพันธ์ระหว่างน้ำหนักที่หายไป และอัตราการหายไปของน้ำหนัก กับอุณหภูมิของยางรีเคลม เมื่อทดสอบที่อุณหภูมิห้องถึง  $750^{\circ}C$  ภายใต้สภาวะ (A) บรรยายกาศ ในไตรเจน (B) บรรยายกาศออกซิเจน

#### 4.1.2 การวิเคราะห์โครงสร้างทางเคมีของยางรีเคลมด้วยเทคนิคอินฟราเรดสเปกโตรสโคปี (FTIR)

วิเคราะห์โครงสร้างทางเคมีของยางรีเคลมด้วยเทคนิคอินฟราเรดสเปกโตรสโคปี โดยใช้เครื่องฟูร์เรียร์ทรายสฟอร์มอินฟราเรดสเปกโตรมิเตอร์ (FT-IR) ได้สเปกตรัมของยางรีเคลม ดังรูปที่ 4.2



รูปที่ 4.2 สเปกตรัม FTIR ของยางรีเคลมชนิดแผ่น

รูปที่ 4.2 แสดงสเปกตรัม FTIR ของยางรีเคลม ซึ่งพบเห็นว่า FTIR ของยางรีเคลม ปรากฏแบบการดูดกลืนที่ตำแหน่งเลขคลื่นประมาณ  $2913$  และ  $2846\text{ cm}^{-1}$  แสดงถึงการสั่นแบบยีดของ C-H ใน  $-\text{CH}_3$  และ  $-\text{CH}_2$  ขณะที่  $1432$  และ  $1370\text{ cm}^{-1}$  ซึ่งแสดงถึงพันธะ  $-\text{CH}_2$  และ  $-\text{CH}_3$  ในโครงสร้างของยาง (Zanchet *et al.*, 2012; Imyim *et al.*, 2016) และพบว่าที่ตำแหน่งเลขคลื่นที่  $1628\text{ cm}^{-1}$  แสดงถึงส่วนที่ไม่อิ่มตัวในไอโซพรีนซึ่งแสดงถึงพันธะ C=C (Hassan *et al.*, 2013) สำหรับตำแหน่งเลขคลื่นที่  $1535\text{ cm}^{-1}$  แสดงถึงการสั่นแบบยีดของ Zinc carboxylates (Zanchet *et al.*, 2012) ซึ่งเป็นอนุพันธ์ที่ได้จากการถลายตัวภายใต้ความร้อนของยางวัลคainzที่ใช้กำมะถัน เป็นสารวัลคainz และที่ตำแหน่งเลขคลื่น  $820\text{ cm}^{-1}$  แสดงถึงการสั่นแบบของพันธะ C-H ในโมเลกุลยางธรรมชาติ และในวงเบนซีน

เป็นสารวัลคaina<sup>z</sup> และที่ตำแหน่งเลขคิ่น 820 cm<sup>-1</sup> แสดงถึงการสัมบูรณ์ของพันธะ C-H ในโมเลกุลยางธรรมชาติ และในวงเบนซีน

#### 4.1.3 การวิเคราะห์ปริมาณส่วนที่ละลายและไม่ละลาย (Sol-gel fraction) ในยางรีเคลม

ทำการวิเคราะห์หาส่วนที่ละลายได้ในยางรีเคลมด้วยวิธี Soxhlet extraction ตามวิธีในหัวข้อ 3.3.1.3 โดยเป็นการทดสอบหาส่วนที่ละลายได้ (Sol fraction) ของยางด้วยตัวทำละลายอะซิโตน และเตตระไฮโดรฟูราน เช่น น้ำมัน ยางที่ไม่วัลคaina<sup>z</sup> สารวัลคaina<sup>z</sup> เป็นต้น และส่วนที่ไม่สามารถละลายได้ (Gel fraction) เช่น ยางส่วนที่วัลคaina<sup>z</sup> สารตัวเติม เป็นต้น ผลการวิเคราะห์หาปริมาณส่วนที่ละลายได้ในยางรีเคลมแสดงผลดังตารางที่ 4.2

ส่วนที่ละลายได้ของยางรีเคลม เป็นการทดสอบเพื่อทราบถึงประสิทธิภาพในการรีเคลม โดยปกติปริมาณส่วนที่ละลายได้ของยางวัลคaina<sup>z</sup>โดยทั่วไปจะอยู่ที่ 5-20% ขึ้นอยู่กับชนิดยาง ความเยาว์ สายโซ่โมเลกุลยาง ระบบการวัลคaina<sup>z</sup> และความสมบูรณ์ในโครงสร้างแบบร่างแห่งโมเลกุลยาง (Saiwari, 2013) ในขณะที่จากการทดลองยางรีเคลมชนิดแผ่น พบร่วมส่วนที่สามารถละลายได้ประมาณ 24.64% ซึ่งถือว่าเป็นค่าที่สูงกว่าวัลคaina<sup>z</sup>แสดงให้เห็นถึงประสิทธิภาพในการทำรีเคลม

ตารางที่ 4.2 ปริมาณส่วนที่ละลายได้ ปริมาณส่วนที่ไม่ละลาย และความหนาแน่นพันธะเชื่อมขวาง

Number	Initial weight (g)	weight after test (g)	Weight loss (g)	Sol (%)	Gel (%)	Crosslink density ( $\times 10^{-4}$ mol/cm <sup>3</sup> )
1	0.1864	0.1408	0.0456	24.46	75.54	2.24
2	0.1857	0.1395	0.0462	24.88	75.12	2.28
3	0.2623	0.1975	0.0648	24.70	75.30	2.40
4	0.2700	0.2037	0.0663	24.56	75.44	2.30
5	0.1727	0.1302	0.0425	24.61	75.39	2.18
		เฉลี่ย	24.64	75.36	2.28	

#### 4.1.4 การหาความหนาแน่นพันธะเชื่อมขวางในยางรีเคลมด้วยวิธีการบวมพอง (Swelling)

ทำการทดสอบหาปริมาณพันธะเชื่อมขวางในยางรีเคลมด้วยวิธีการตามหัวข้อที่ 3.3.1.4 โดยใช้โทลูอินเป็นตัวทำละลาย จากนั้นจึงคำนวณหาปริมาณพันธะเชื่อมขวางโดยใช้สมการ Flory-Rehner ผลการทดลองแสดงดังตารางที่ 4.2

เติมเขม่าดำผสมอยู่ จึงจะหักลบปัจจัยของสารตัวเติมออกไป กล่าวคือความหนาแน่นพันธะเชื่อมขวางในยางรีเคลมเป็นพันธะเชื่อมขวางที่เกิดจากยางซึ่งมีปริมาณ  $2.28 \times 10^{-4} \text{ mol/cm}^3$

#### 4.1.5 การวิเคราะห์สัณฐานวิทยาของยางรีเคลม

ผลการวิเคราะห์ลักษณะทางกายภาพของยางรีเคลมด้วยกล้องจุลทรรศน์อิเล็กตรอนแบบส่องกราดที่กำลังขยาย 200, 500 และ 1000 เท่า ดังรูปที่ 4.3 พบว่าสัณฐานวิทยาของยางรีเคลมมีลักษณะเป็นผิวต่อเนื่องของยาง โดยที่ผิวน้ำของยางมีทั้งที่เป็นเรียบและขรุขระ และพบว่ามีกลุ่มของสารเคมีกระจายตัวอยู่



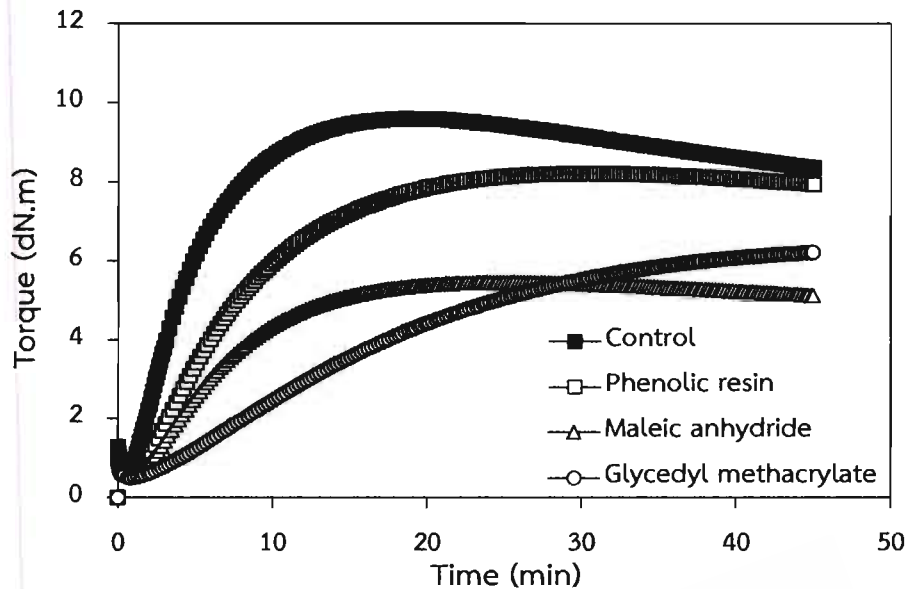
รูปที่ 4.3 ลักษณะสัณฐานวิทยาของยางรีเคลมแบบแผ่นที่กำลังขยาย 200, 500 และ 1,000 เท่า

#### 4.2 การศึกษาอิทธิพลของชนิดสารตัดแปรต่อสมบัติของยางวัลคานในช่วงการเบلنด์ระหว่างยางธรรมชาติและยางรีเคลม (NR/RR blend)

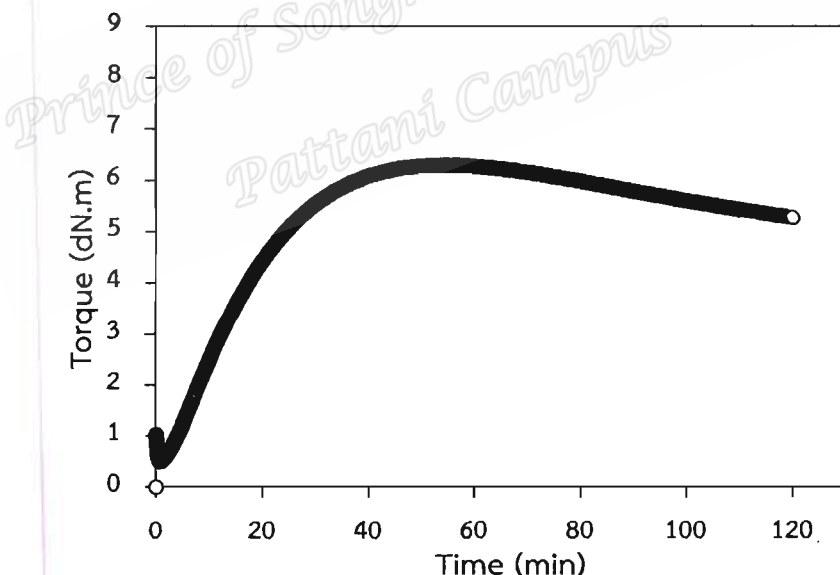
ทำการศึกษาผลของชนิดสารตัดแปรต่อพฤติกรรมการวัลคานในช่วง สมบัติเชิงกล และสมบัติการไหลของยางวัลคานในช่วงการเบلنด์ระหว่างยางธรรมชาติ และยางรีเคลม โดยแปรชนิดของสารตัดแปร 3 ชนิด ได้แก่ พินอลิกเรซิน (Phenolic resin, Ph) มาลิอิกแอนไฮดริด (Maleic anhydride, MA) และ ไกลซิติลมทาคริเลต (Glycidyl methacrylate, GM) เตรียมยางคอมพาวน์จากการเบلنด์ระหว่างยางธรรมชาติและยางรีเคลมตามวิธีการในหัวข้อที่ 3.3.2

##### 4.2.1 พฤติกรรมการวัลคานในช่วงของยางเบلنด์ระหว่าง NR/RR เมื่อแปรชนิดสารตัดแปร

นำยางเบلنด์ระหว่าง NR/RR โดยแปรชนิดสารตัดแปรตามวิธีการในหัวข้อที่ 3.3.2.1 มาทดสอบหาพฤติกรรมการวัลคานในช่วงด้วยเครื่อง mini-MDR ที่อุณหภูมิ 150°C ผลการทดลองแสดงดังรูปที่ 4.4



รูปที่ 4.4 พฤติกรรมการวัลค่าในช์ของยางเบلنด์ระหว่าง NR/RR เมื่อประนิดสารดัดแปร ที่ อุณหภูมิ 150°C



รูปที่ 4.5 พฤติกรรมการวัลค่าในช์ของยางเบلنด์ระหว่าง NR/RR เมื่อประนิดสารดัดแปร ไกลซิດเมทาคริเลต ที่ อุณหภูมิ 150°C

จากรูปที่ 4.4 และ 4.5 แสดงพฤติกรรมการวัลค่าในช์ของยางธรรมชาติเบلنด์ยางรีเคลม เมื่อมีการใช้สารดัดแปร 3 ชนิด ได้แก่ พินอลิกเรชิน มาลิคิแอนไฮไดร์ด และไกลซิດเมทาคริเลต จะเห็นว่าการใช้สารดัดแปรแต่ละชนิดจะให้ลักษณะกราฟการวัลค่าในช์ของยางเบلنด์ที่มีอัตราเร็วและ

ประสิทธิภาพการวัลค่าในซีแทกต่างกัน ยกเว้นพฤติกรรมการวัลค่าในซีในช่วงหลัง Optimum cure time (ระยะเวลาวัลค่าในซีที่ทำให้ยางมีสมบัติที่สุด) ที่ปรากฏเหมือนกัน คือพฤติกรรมเป็นแบบ Reversion โดยยางจะเกิดการเสื่อมเมื่อวัลค่าในซีมากเกินไป (Over cure) สังเกตได้จากยางจะมีความแข็งหรือมอดุลสลดลง โดยพฤติกรรมดังกล่าวเกิดจากการใช้ยางธรรมชาติเป็นองค์ประกอบในการเบلنเดร์ร่วมกับการใช้ระบบกำมะถันแบบปกติเป็นระบบวัลค่าในซี ซึ่งจะเกิด Reversion เนื่องจากโมเลกุลยางธรรมชาติถูกตัดขาดสายโซ่จากผลของความร้อน และพันธะเชื่อมขวางมีการเปลี่ยนรูปแบบจากโพลีชลฟิดิกเป็นได-หรือโนโนซลฟิดิกได้

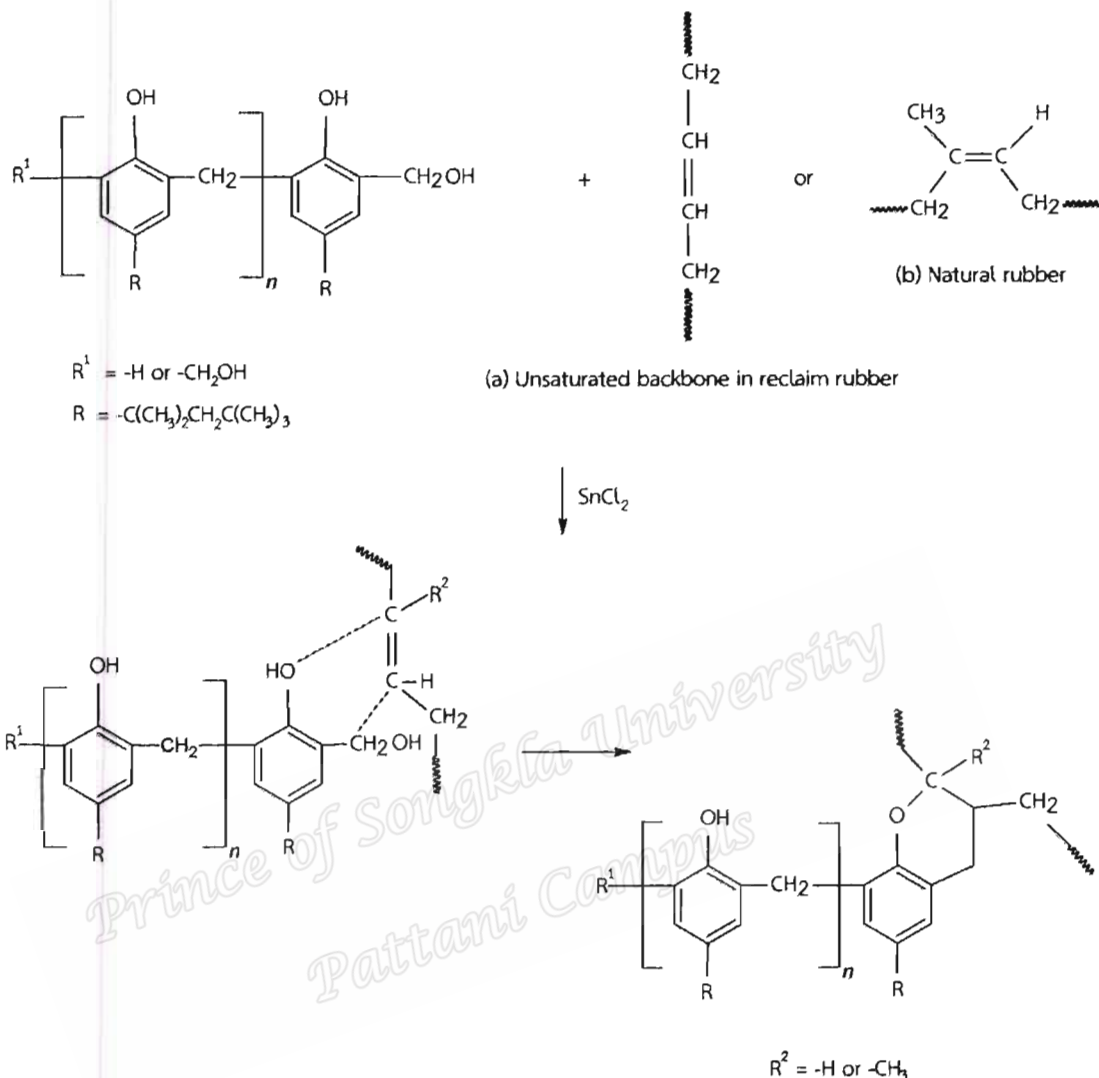
จากความสัมพันธ์ระหว่างค่าทอร์กกับเวลาในรูปที่ 4.4 สามารถหาค่าทอร์กต่ำสุด (Minimum torque,  $M_L$ ) ค่าทอร์กสูงสุด (Maximum torque,  $M_H$ ) ผลต่างของค่าทอร์ก ( $M_H - M_L$ ) เวลาที่ยางเริ่มเกิดการวัลค่าในซี (Schorch time,  $t_{s1}$ ) เวลาการวัลค่าในซี (Cure time,  $t_{c90}$ ) และดัชนีการวัลค่าในซี (Cure rate index, CRI) ได้ผลแสดงดังตารางที่ 4.3

ตารางที่ 4.3 สมบัติการวัลค่าในซีของยางเบلنเดร์ระหว่างยางธรรมชาติกับยางรีเคลม เมื่อแปรผันดัชนีสารตัดแปร

Types of modifier	$M_L$ (dN.m)	$M_H$ (dN.m)	$M_H - M_L$ (dN.m)	Schorch Time (min)	Cure Time (min)	CRI (min <sup>-1</sup> )
Control	0.61	9.59	8.98	1.57	10.10	11.72
Ph	0.64	8.22	7.58	2.81	16.43	7.34
MA	0.66	5.47	4.81	3.45	13.73	9.73
GM	0.49	6.31	5.82	6.11	32.61	3.77

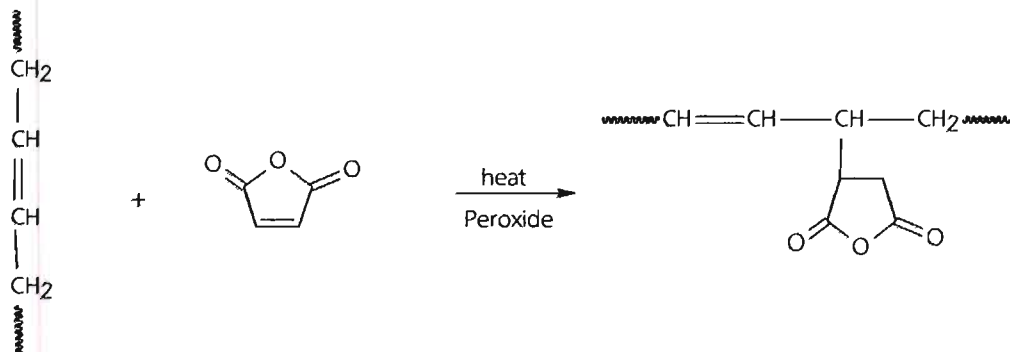
จากข้อมูลในตารางที่ 4.3 จะพบว่าค่าทอร์กต่ำสุดของยางเบلنเดร์มีค่าใกล้เคียงกันทั้งสูตรที่ไม่ใช้และสูตรที่ใช้สารตัดแปร ยกเว้นยางเบلنเดร์สูตรที่ใช้สารตัดแปรชนิดไกลซิติลเมทาคริเลต จะให้ค่าทอร์กต่ำสุดมีค่าน้อยที่สุด ซึ่งน่าจะเป็นผลมาจากการตัดแปรชนิดไกลซิติลเมทาคริเลตมีสถานะเป็นของเหลวที่อุณหภูมิห้อง ซึ่งแสดงถึงโมเลกุลจะยิ่งเคลื่อนไหวได้ง่ายเมื่อเจอความร้อนขณะทดสอบส่งผลให้ยางมีความนิ่มลง ในขณะที่ค่าทอร์กสูงสุดของยางเบلنเดร์จะให้ค่าที่แตกต่างกัน คือ สูตรที่ไม่ใช้สารตัดแปรจะมีค่าทอร์กสูงสุดมากที่สุด รองลงมาคือ ยางเบلنเดร์ที่ใช้สารตัดแปรชนิดฟินอลิกเรซินไกลซิติลเมทาคริเลต และมาลิอิกแอนไฮไดรด์ ตามลำดับ โดยที่ค่าทอร์กสูงสุดจะขึ้นอยู่กับมอดุลสของยางที่เปลี่ยนแปลงไปเมื่อโมเลกุลยางเกิดพันธะเชื่อมขวาง โดยระดับพันธะเชื่อมขวางหรือความหนาแน่นพันธะเชื่อมขวางสามารถพิจารณาได้จากผลต่างของค่าทอร์กสูงสุดและค่าทอร์กต่ำสุด ( $M_H - M_L$ ) ข้อมูลในตารางที่ 4.3 แสดงให้เห็นว่ายางเบلنเดร์ที่ไม่ใช้สารตัดแปรจะมีปริมาณพันธะ

เชื่อมความมากที่สุด รองลงมาคือ ยางเบลนด์ที่ใช้สารดัดแปรชนิดพินอลิกเรชิน ไกลซิດเมทาคริเลต และมาลิอิกแอนไฮไดรต์ ตามลำดับ และเมื่อพิจารณาค่าระยะเวลาการสกอร์ช ระยะเวลาการวัลคайнซ์ และดัชนีการวัลคайнซ์ พบร่วมกับยางเบลนด์สูตรที่ใช้สารดัดแปรจะทำให้ระยะเวลาการสกอร์ช และระยะเวลาการวัลคайнซ์มีค่าเพิ่มขึ้น ในขณะที่ดัชนีการวัลคайнซ์ และปริมาณพันธะเชื่อม ขวางมีค่าลดลง ซึ่งลักษณะที่พบสามารถอธิบายได้จาก ความเป็นไปได้ของการเกิดปฏิกิริยาแข็งขันระหว่างสารวัลคайнซ์และสารดัดแปร โดยปฏิกิริยาที่เป็นไปได้ระหว่างยางและสารดัดแปรชนิดต่างๆ แสดงในรูปที่ 4.6 - 4.8 ซึ่งปฏิกิริยาที่เกิดขึ้นอาจมีผลทำให้ปริมาณหมู่ว่องไวในยางธรรมชาติติดลง และเกิดปฏิกิริยาการวัลคайнซ์กับกำมะถันได้น้อยลง นอกจากนี้สภาพความเป็นกรด-ด่างของสารดัดแปรทั้ง 3 ชนิดที่มีค่าดัชนี มาลิอิกแอนไฮไดรต์ ไกลซิດเมทาคริเลต และฟินอลิกเรชิน มีค่าความเป็นกรด (pH) เท่ากับ 0.5, 4.5, และ 5.5 ตามลำดับ โดยสภาพความเป็นกรดจะไปรบกวนระบบการทำางานของสารตัวเร่งในระบบการวัลคайнซ์แบบกำมะถัน ให้มีประสิทธิภาพน้อยลง นอกจากนี้การที่ยางเบลนด์สูตรที่ใช้สารดัดแปรชนิดมาลิอิกแอนไฮไดรต์มีฤทธิกรรมการวัลคайнซ์แย่ที่สุดเป็นผลมาจากการดัดแปรชนิดมาลิอิกแอนไฮไดรต์ จะแตกตัวได้ง่ายได้สารที่มีฤทธิ์เป็นกรด ทำให้มาลิอิกแอนไฮไดรต์ทำหน้าที่เป็นเสมือนสารหน่วง (Cure retarders) ส่งผลให้ปฏิกิริยาวัลคайнซ์เกิดได้ช้าลง (Nelson and Kutty, 2004; Pasbakhsh *et al.*, 2009; วรารณ์, 2552) ในขณะที่สารดัดแปรชนิดไกลซิດเมทาคริเลต ซึ่งมีหมู่อิพอกไซด์อยู่ในโครงสร้าง โดยที่หมู่อิพอกไซด์มีโอกาสเกิดอันตรกิริยากับสารตัวเร่ง ทำให้สารตัวเร่งจำนวนหนึ่งไม่สามารถเร่งปฏิกิริยาวัลคайнซ์ได้ (ภูริพงศ์, 2548) ทำให้ระยะเวลาการวัลคайнซ์นานขึ้น และใช้เวลามากขึ้นในการใช้สารดัดแปรชนิดพินอลิกเรชินที่ซึ่งในขั้นแรกของการเกิดปฏิกิริยาจะมีการกำจัดน้ำจาก o-methylol phenol ได้เป็น Methylene quinone ก่อนจะเกิดปฏิกิริยากับพันธะคู่ในยางธรรมชาติ (Brydson, 1978) ส่งผลให้ระยะเวลาการวัลคайнซ์นานขึ้น

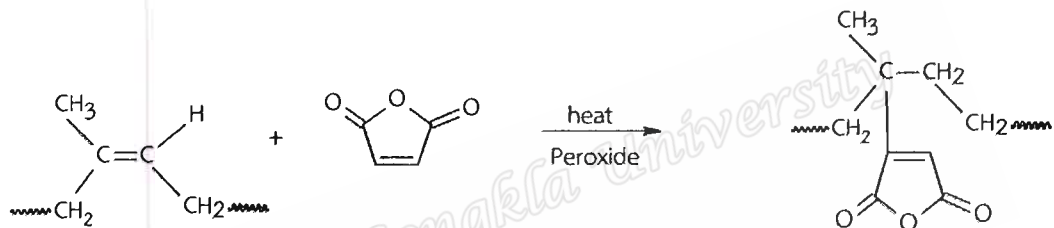


Chroman ring structure form reaction of phenolic resin with unsaturation sites in rubber

รูปที่ 4.6 ปฏิกิริยาที่เป็นไปได้ระหว่างฟินอลิกเรชินกับสายโซ่โมเลกุลของยางไม่อิมตัวในยางรีเคลม  
 (a) และยางธรรมชาติ (b) (ตัดแปลงจาก Coran, 2005 และ Nakason *et al.*, 2006b)

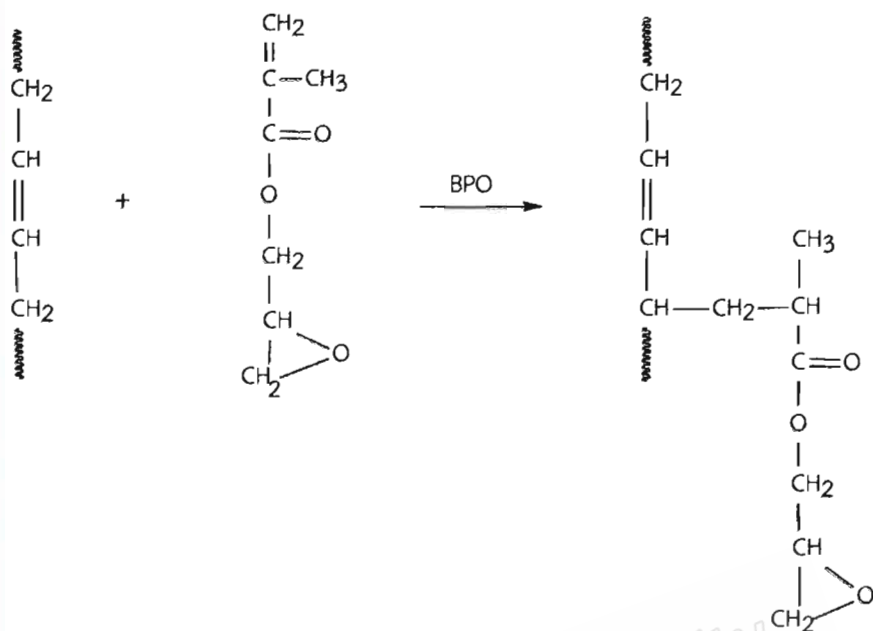


(a) Reaction of maleic anhydride with unsaturated backbone in reclaim rubber

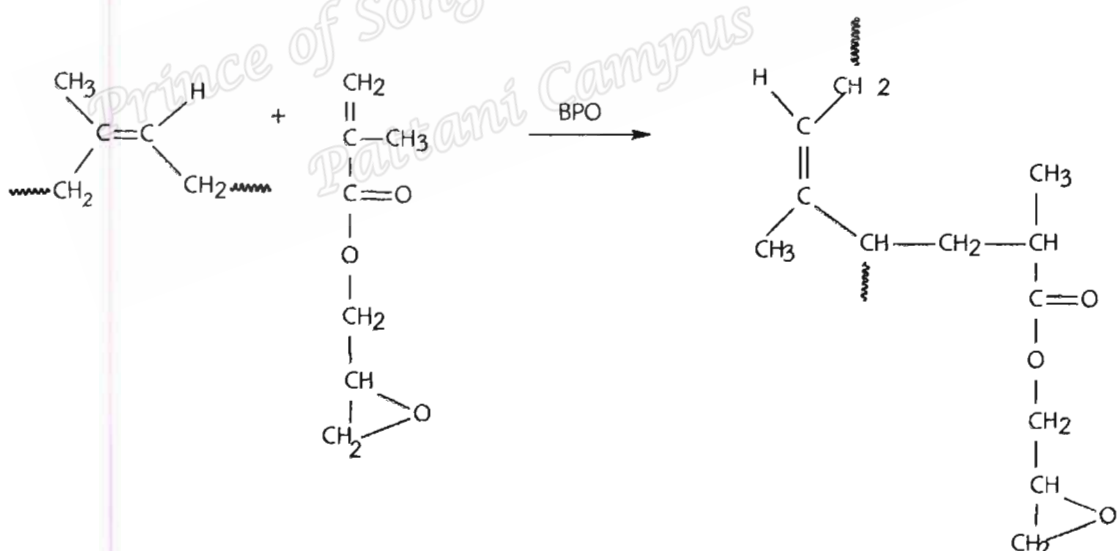


(b) Reaction of maleic anhydride with natural rubber

รูปที่ 4.7 ปฏิกิริยาที่เป็นไปได้ระหว่างมาลิอิกแอนไฮดราซิดกับสายโซ่โมเลกุลของยางไม่อิมตัวในยางรีเคลม (a) และยางธรรมชาติ (b) (Nelson, 2003 และ Nakason *et al.*, 2006a)



(a) Reaction of glycidyl methacrylate with unsaturated backbone in reclaim rubber

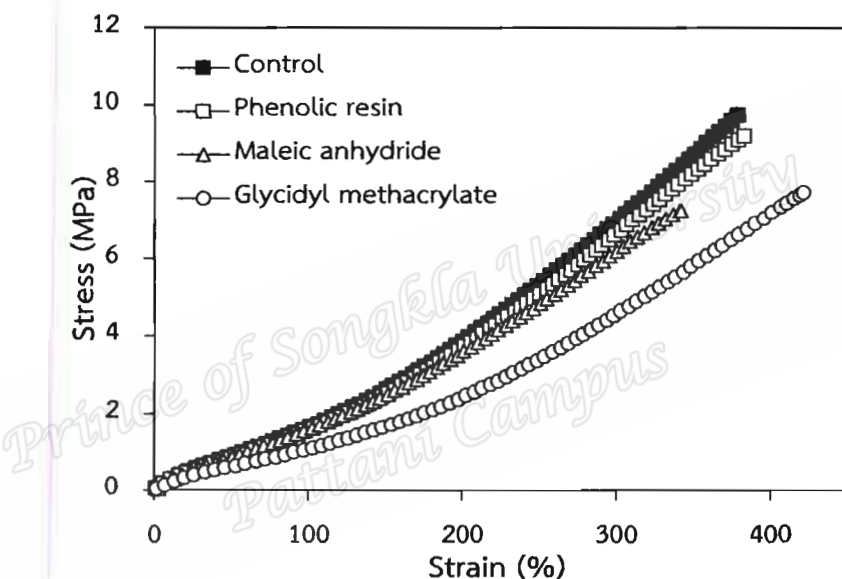


(b) Reaction of glycidyl methacrylate with natural rubber

รูปที่ 4.8 ปฏิกิริยาที่เป็นไปได้ระหว่างไกลซิเดเมทาคริเลตกับสายโซ่โมเลกุลของยางไม่อิมตัวในยางรีเคลม (a) และยางธรรมชาติ (b) (ดัดแปลงจาก Nelson, 2003 และ Juntuek *et al.*, 2011)

#### 4.2.2 การศึกษาอิทธิพลของชนิดสารตัดแปรต่อสมบัติเชิงกลของยางวัลค่าในซีจาก การเบلن์ต์ระหว่าง NR/RR

นำยางคอมพาวน์จากการเบلن์ต์ระหว่างยางธรรมชาติ และยางรีเคลมมาศึกษาสมบัติ เชิงกล โดยการนำยางคอมพาวน์ไปขึ้นรูปด้วยวิธีการอัดเบ้า ที่อุณหภูมิ  $150^{\circ}\text{C}$  หลังจากนั้นนำยางที่ผ่านการขึ้นรูปแล้วมาทดสอบสมบัติความต้านทานต่อแรงดึง ความสามารถในการยืดจันขาด ความสามารถในการคืนรูป และความแข็ง ตามวิธีการทดสอบในหัวข้อ 3.4.2, 3.4.3 และ 3.4.5 ตามลำดับ ผลทดลองที่ได้แสดงดังรูปที่ 4.9 และตารางที่ 4.4



รูปที่ 4.9 ความสัมพันธ์ระหว่างความเค้นกับความเครียดของยางวัลค่าในซีจากการเบلن์ต์ยางธรรมชาติกับยางรีเคลมเมื่อเปรียบเทียบกับสารตัดแปร

จากรูปที่ 4.9 แสดงความสัมพันธ์ระหว่างความเค้นและความเครียดเมื่อใช้สารตัดแปรชนิดต่างๆ พบร่วมกับยางเบلن์ต์ระหว่างยางธรรมชาติและยางรีเคลมมีการผิดรูปแบบอิเล็กทรอนิกส์ และเมื่อพิจารณาที่เปอร์เซ็นต์การผิดรูปต่างๆ จะสังเกตได้ว่าความแข็งตึง (Stiffness) ของยางวัลค่าในซีที่ใช้สารตัดแปรจะมีค่าน้อยกว่าสูตรที่ไม่ใส่สารตัดแปรมากน้อยต่างกันตามชนิดสารตัดแปร

จากราฟในรูปที่ 4.9 สามารถนำมาคำนวณหาค่าความต้านทานต่อแรงดึง และความสามารถในการยืดจันขาด ได้ผลแสดงดังตารางที่ 4.4 นอกจากนี้ ยังแสดงผลการทดสอบสมบัติความสามารถในการคืนรูปและความแข็งด้วย

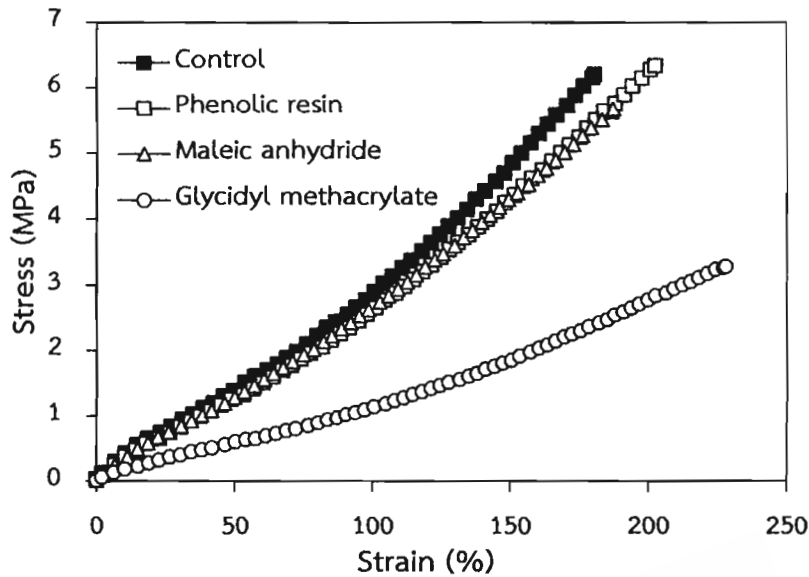
ตารางที่ 4.4 สมบัติเชิงกลของยางวัลค่าในช่วงจากการเบلنด์ยางธรรมชาติกับยางรีเคลมเมื่อประนิดสารดัดแปร

Type of modifier	Tensile strength (MPa)	Elongation at break (%)	Hardness (shore A)	Tension set (%)
Control	9.85±0.12	383±19.05	51	2.07±0.12
Ph	9.25±0.09	384±12.07	51	2.22±0.07
MA	7.75±0.12	328±15.42	49	2.20±0.35
GM	7.91±0.19	427±13.35	43	2.23±0.06

จากตารางที่ 4.4 พบร่วมกันของยางเบلنด์สูตรที่ไม่ใส่สารดัดแปร และยางเบلنด์สูตรที่ใช้สารดัดประนิดพินอลิกเรซิน มีค่าความต้านทานต่อแรงดึง ความสามารถในการยึดจันขาด และความแข็งไกลเคียงกัน ในขณะที่ยางเบلنด์ที่ใช้สารดัดประนิดมาลิอิกแอนไฮไดรค์ และไกลซิดิลเมทاكրิเลต จะมีค่าความต้านทานต่อแรงดึง และความแข็งลดลง ซึ่งสอดคล้องกับปริมาณความหนาแน่นพันธะเชื่อมขวางที่ได้จากการต่างของค่าทอร์กสูงสุด และค่าทอร์กต่ำสุด ( $M_H - M_L$ ) ในตารางที่ 4.3 กล่าวคือ สารดัดประนิดมาลิอิกแอนไฮไดรค์ และไกลซิดิลเมทاكริเลตจะไปรบกวนการทำงานของสารวัลค่าในช่วงส่งผลให้ความหนาแน่นของพันธะเชื่อมขวางน้อยลง ยางเบلنด์จึงแสดงสมบัติเชิงกลที่ด้อยกว่ากรณีของยางเบلنด์ที่มีพันธะเชื่อมขวางสูง อย่างไรก็ตามเป็นที่น่าสนใจว่ายางเบلنด์ทุกสูตรที่ใช้สารดัดประนิด ชนิดกันมีความสามารถในการคืนรูปไม่แตกต่างกันอย่างมีนัยสำคัญ

#### 4.2.3 การศึกษาอิทธิพลของชนิดสารดัดประนิดต่อสมบัติเชิงกลหลังบ่มเร่งของยางวัลค่าในช่วงการเบلنด์ระหว่าง NR/RR

ศึกษาอิทธิพลของชนิดสารดัดประนิดต่อสมบัติเชิงกลภายหลังบ่มเร่ง โดยนำยางวัลค่าในช่วงการเบلنด์ระหว่าง NR/RR ไปบ่มเร่งด้วยการนำไปอบในตู้อบสำหรับบ่มเร่งที่อุณหภูมิ 100°C เป็นเวลา 22 ชั่วโมง ผลการทดลองแสดงดังรูปที่ 4.10 และตารางที่ 4.5



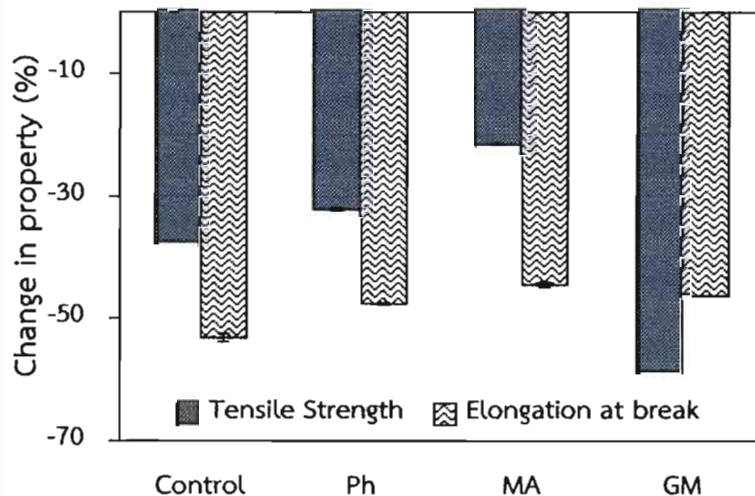
รูปที่ 4.10 ความสัมพันธ์ระหว่างความเค้นกับความเครียดของยางวัลค่าในช่วงหักเมื่อทำการเบلنด์ยางธรรมชาติกับยางรีเคลมเมื่อประนinizดของสารดัดแปร

จากรูปที่ 4.10 แสดงความสัมพันธ์ระหว่างความเค้น และความเครียดหลังการบ่มเร่ง เมื่อใช้สารดัดประนinizดต่างๆ จะเห็นได้ว่ากราฟมีลักษณะเช่นเดียวกับก่อนบ่มเร่ง กล่าวคืออย่างเบلنด์ยังคงแสดงลักษณะการผิดรูปแบบอิเล็กทรอนิก แต่มีสมบัติเชิงกลด้อยลง จากกราฟในรูปที่ 4.10 สามารถนำมาคำนวณหาค่าความต้านทานต่อแรงดึง และความสามารถในการยืดจนขาดภายหลังบ่มเร่ง ได้ผลแสดงดังตารางที่ 4.5 นอกจากนี้ ยังแสดงเปอร์เซ็นต์การเปลี่ยนแปลงสมบัติหลังบ่มเร่ง (% Change in property) และสามารถนำเปอร์เซ็นต์การเปลี่ยนแปลงสมบัติหลังบ่มเร่ง มาเขียนกราฟแสดงได้ดังรูปที่ 4.11

ตารางที่ 4.5 สมบัติเชิงกลภายหลังการบ่มเร่งของยางวัลคาไนซ์จากการเบلنด์ยางธรรมชาติกับยางรีเคลมเมื่อประนิดสารดัดแปลง

Type of modifier	Tensile strength (MPa)		Change in property of T.S. (%)	Elongation at break (%)		Change in property of E.B. (%)
	Unaged	Aged		Unaged	Aged	
Control	9.85±0.12	6.19±0.14	-37.73	383±19.05	182±5.57	-53.21
Ph	9.25±0.09	6.27±0.07	-32.36	384±12.07	201±8.49	-47.66
MA	7.75±0.12	5.67±0.18	-21.79	328±15.42	182±11.74	-44.51
GM	7.91±0.19	3.25±0.07	-58.91	427±13.35	229±6.69	-46.37

จากตารางที่ 4.5 และรูปที่ 4.11 แสดงสมบัติเชิงกลและเปอร์เซ็นต์การเปลี่ยนแปลงสมบัติของยางเบلنด์ NR/RR หลังบ่มเร่ง จะเห็นได้ว่าค่าความต้านทานต่อแรงดึงและความสามารถในการยึดจันขาดหลังการบ่มเร่งมีค่าลดลงสอดคล้องกับเปอร์เซ็นต์การเปลี่ยนแปลงของสมบัติที่มีค่าติดลบ ซึ่งผลดังกล่าวเป็นไปในแนวเดียวกันกับพฤติกรรมการวัลคาไนซ์ที่เป็นแบบ Reversion กล่าวคือยางจะเกิดการเสื่อมสภาพเมื่อระยะเวลาการวัลคาไนซ์มากเกินไป โดยจะทำให้มีความแข็งหรือมอดุลลิตลดลง เนื่องจากผลของการตัดขาดสายโซ่ยางธรรมชาติและการเปลี่ยนรูปแบบพันธะเชื่อมช่วงด้วยกำมะถันในโครงสร้างยาง ซึ่งในการทดลองใช้กำมะถัน 4 phr จะให้พันธะเชื่อมช่วงในไมเลกุลยางแบบพอลิซัลฟิดิกเป็นส่วนใหญ่ ซึ่งมักจะเกิดการแตกออกของพันธะเมื่อได้รับความร้อนส่งผลให้สมบัติเชิงกลของยางวัลคาไนซ์เปลี่ยนแปลงไป



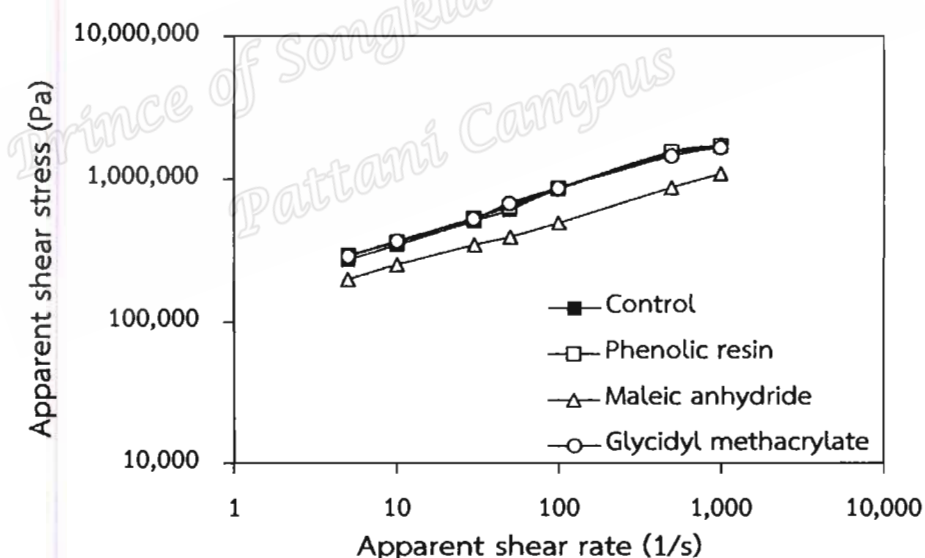
รูปที่ 4.11 เปอร์เซ็นต์การเปลี่ยนแปลงของสมบัติความต้านต่อแรงดึง และความสามารถในการยึดจันขาดภายในหลังบ่มเร่งของยางวัลคานีซจากการเบلنด์ยางธรรมชาติกับยางรีเคลมเมื่อประชนิดสารดัดประ

#### 4.2.4 สมบัติการไหลของยางเบلنต์ระหว่างยางธรรมชาติและยางรีเคลมเมื่อประชนิดสารดัดประ

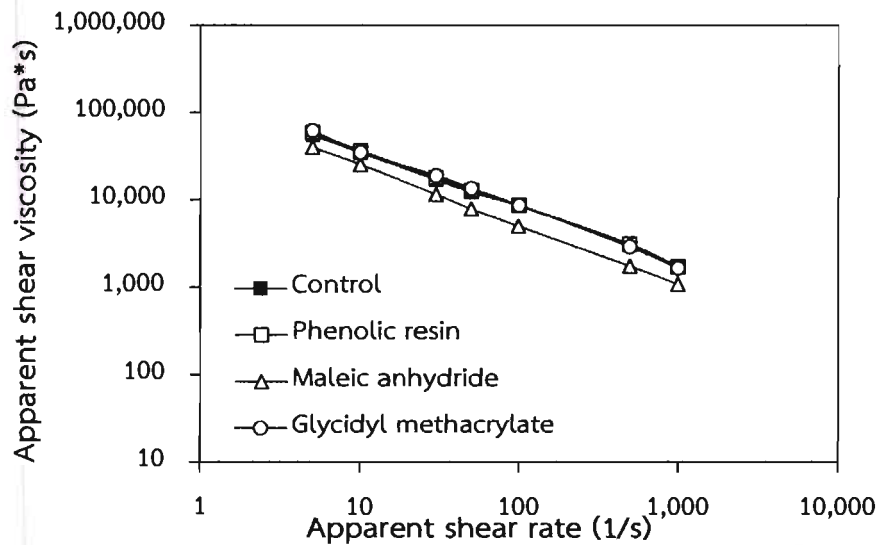
นำยางเบلنต์ระหว่างยางธรรมชาติและยางรีเคลมที่ประสารดัดประชนิดต่างๆ มาวิเคราะห์สมบัติการไหลตามวิธีการทดลองในหัวข้อที่ 3.8.5 โดยใช้เครื่องรีโอมิเตอร์แบบคาปิลลารี ได้ความสัมพันธ์ระหว่างความเค้นเฉือนปราภูกับอัตราเฉือนปราภู และความหนืดเฉือนปราภูกับอัตราเฉือนปราภู ดังแสดงในรูปที่ 4.12 และ 4.13 พบร่วมความเค้นเฉือนปราภูมีค่าเพิ่มขึ้นตามอัตราเฉือนที่เพิ่มขึ้น ในขณะที่ความหนืดเฉือนปราภูมีค่าลดลงเมื่ออัตราเฉือนเพิ่มขึ้น เนื่องจากภายใต้ความร้อนพอลิเมอร์จะเป็นวัสดุประเภท non-newtonian ชนิด shear thinning fluid ซึ่งวัสดุประเภทนี้มีความหนืดลดลงเมื่อได้รับแรงกระทำหรืออัตราเฉือนเพิ่มขึ้น และเมื่อเปรียบเทียบค่าความเค้นเฉือนปราภูและความหนืดเฉือนปราภูของยางเบلنต์ที่ใช้สารดัดประชนิดต่างๆ พบร่วมเมื่อพิจารณาที่อัตราเฉือนเดียวกัน ยางเบلنต์แต่ละสูตรมีค่าความเค้นเฉือนปราภูและความหนืดเฉือนปราภูไม่แตกต่างกันอย่างมีนัยสำคัญ ยกเว้นยางเบلنต์ที่ใช้สารดัดประชนิดมาลิอิกแอนไฮไดรด์ พบร่วมให้ค่าความเค้นเฉือนปราภูและความหนืดเฉือนปราภูต่ำที่สุดอย่างเห็นได้ชัด เนื่องมาจากมาลิอิกแอนไฮไดรด์มีสภาพความเป็นกรดสูงที่สุด ( $\text{pH } 0.5$ ) เมื่อเทียบกับสารดัดประชนิดอื่นๆ ประกอบกับมาลิอิกแอนไฮไดรด์สามารถเกิดการปลดปล่อยกรดได้เมื่อได้รับความร้อน (Nelson and Kutty,

2004, Pasbakhsh *et al.*, 2009 และ วราภรณ์, 2552) จึงเป็นผลให้ยางมีระดับการวัลคainซ์ที่ต่ำ ยางเบلنด์ในสูตรนี้จึงมีความเค้นเฉือนและความหนืดเฉือนปรากวูต่ำที่สุด

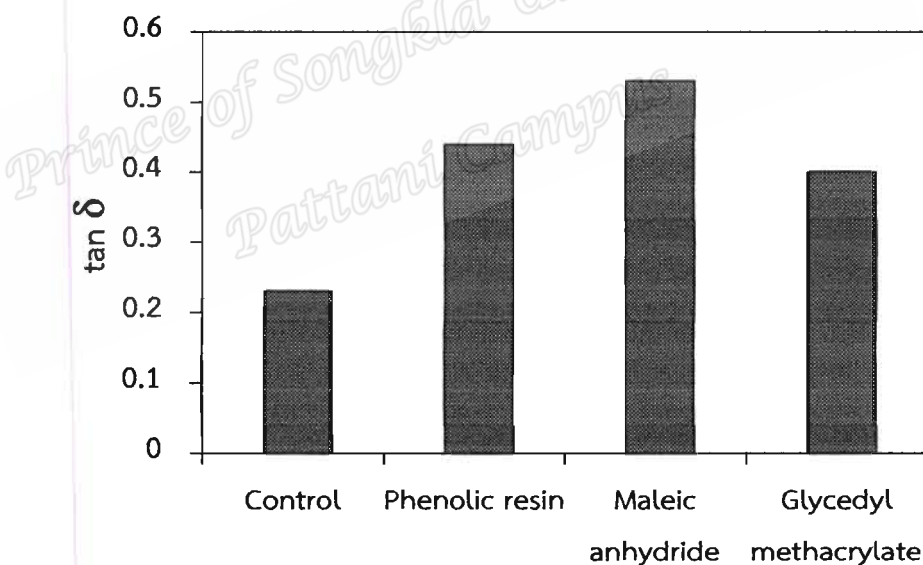
อย่างไรก็ตามจากผลของการทดสอบสมบัติการไหลด้วยเครื่องรีโอมิเตอร์แบบคาปิลารี จะเห็นว่าไม่พบความแตกต่างของค่าสมบัติการไหล (ค่าความเค้นเฉือนปรากว และความหนืดเฉือน ปรากว) เมื่อใช้สารดัดแปรต่างชนิดกัน จึงทำการวิเคราะห์เพิ่มเติมเพื่อดูค่า  $\tan \delta$  ด้วยเทคนิค MDPT ได้ผลการทดลองแสดงดังรูปที่ 4.14 พบว่าการใช้สารดัดแปรต่างชนิดกัน จะไปรบกวนการวัลคainซ์ของยางเบلنด์ และทำให้ค่า  $\tan \delta$  ของวัสดุเปลี่ยนไป โดยพบว่ายางเบلنด์สูตรที่ไม่ใส่สาร ดัดแปรจะมีค่า  $\tan \delta$  ต่ำที่สุด แสดงให้เห็นถึงระดับความเป็นอิลาสติกเมื่อยางได้รับการวัลคainซ์ ปกติ ในขณะที่ยางเบلنด์สูตรที่ใช้สารดัดแปรจะมีค่า  $\tan \delta$  เพิ่มสูงขึ้น ซึ่งเป็นผลมาจากการเบلنด์ เกิดการวัลคainซ์ที่ไม่สมบูรณ์จากผลการรบกวนของสารดัดแปรที่มีสภาพเป็นกรด โดยที่มาลิอิก แอนไฮดรอเจนจะมีสภาพเป็นกรดแก่ที่สุด ( $pH = 0.5$ ) จึงมีค่า  $\tan \delta$  ของยางเบلنด์สูงที่สุด รองลงมา คือยางเบلنด์ที่ใช้สารดัดแปรพินอลิกเรชิน และไกลซิดิลมีทาคริเลต ตามลำดับ



รูปที่ 4.12 ความสัมพันธ์ระหว่างความเค้นเฉือนปรากวกับอัตราเฉือนปรากวของยางเบلنด์ระหว่าง ยางธรรมชาติกับยางรีเคลมเมื่อประนิษฐ์ของสารดัดแปร



รูปที่ 4.13 ความสัมพันธ์ระหว่างความหนืดเฉือนปราภูกับอัตราเฉือนปราภูของยางเบلنด์ระหว่างยางธรรมชาติกับยางรีเคลมเมื่อแปรนิดของสารดัดแปร

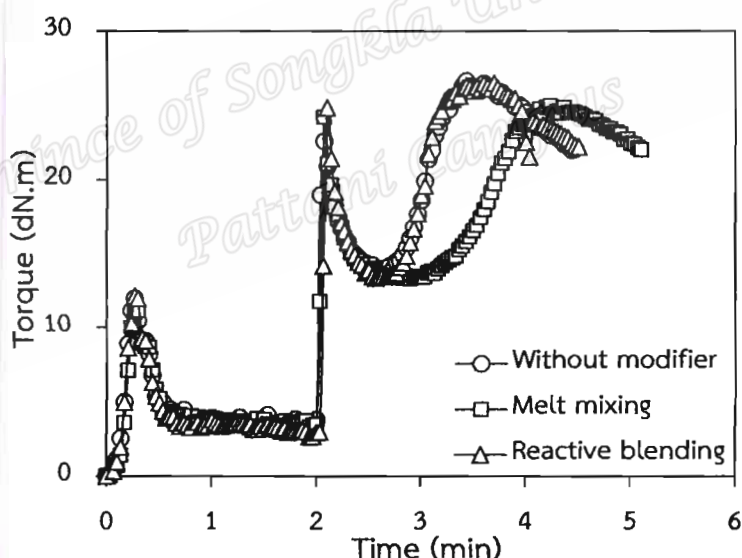


รูปที่ 4.14  $\tan \delta$  ที่ความถี่ 10 Hz ของยางเบلنด์ระหว่างยางธรรมชาติกับยางรีเคลมเมื่อแปรนิดของสารดัดแปร

#### 4.3 การศึกษาอิทธิพลของวิธีการผสมสารตัดแปรต่อสมบัติเทอร์โมพลาสติกวัลค่าในช่วงจากการเบلنด์ระหว่างยางธรรมชาติ ยางรีเคลม และโพร์พลีนเอทิลีนโคพอลิเมอร์ (NR/RR/PEC TPVs)

เตรียมเทอร์โมพลาสติกวัลค่าในช่วงจากการเบلنด์ยางธรรมชาติ ยางรีเคลม และโพร์พลีนเอทิลีนโคพอลิเมอร์ที่อัตราส่วน 30/30/40 ส่วนโดยน้ำหนัก โดยศึกษาผลของวิธีการผสมสารตัดแปรชนิดฟินอลิกเรชิน 2 วิธี ได้แก่ วิธีที่ 1. วิธีการตัดแปรพื้นผิวของยางรีเคลมในสภาพหลอม (Melt mixing method) โดยนำยางรีเคลมมาผสมกับสารตัดแปรก่อนนำไปเตรียมคอมพาวน์และเทอร์โมพลาสติกวัลค่าในช่วง ตามลำดับ และ วิธีที่ 2 วิธีการเบلنด์แบบรีแบล็อกทีฟ (Reactive blending method) โดยผสมสารตัดแปรในขั้นตอนการเตรียมเทอร์โมพลาสติกวัลค่าในช่วง ตามวิธีการทดลองในหัวข้อที่ 3.3.3

##### 4.3.1 การศึกษาอิทธิพลของวิธีการผสมสารตัดแปรต่อพฤติกรรมการผสมในการเตรียมเทอร์โมพลาสติกวัลค่าในช่วงจากการเบلنด์ NR/RR/PEC



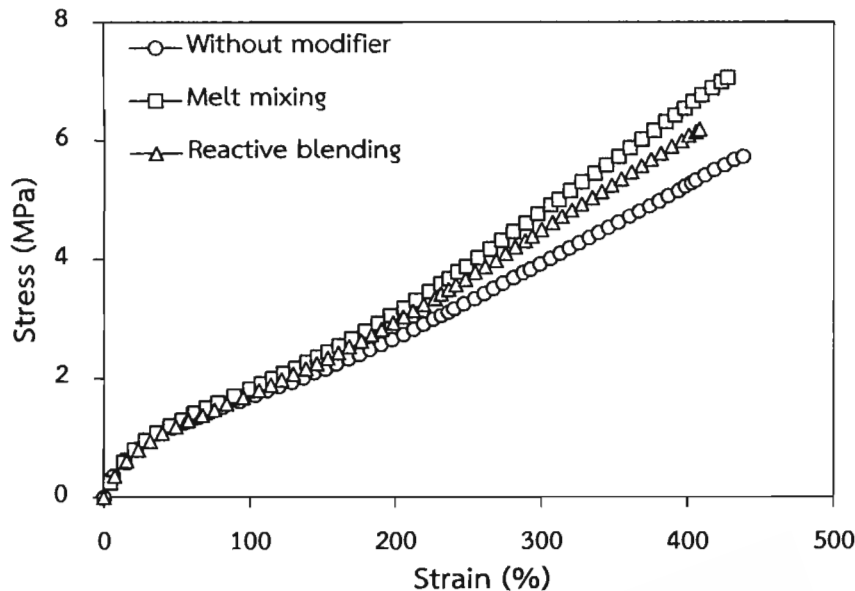
รูปที่ 4.15 ความสัมพันธ์ระหว่างค่าทอร์กกับเวลาการผสมของเทอร์โมพลาสติกวัลค่าในช่วงจากการเบلنด์ NR/RR/PEC เมื่อประยุกต์การผสมสารตัดแปร

จากค่าทอร์กการผสมพบว่าในช่วงเริ่มต้นการผสมค่าทอร์กการผสมจะเพิ่มขึ้นอย่างรวดเร็ว ซึ่งเป็นผลมาจากการใส่มีดพลาสติก PEC ลงไปในห้องผสม ซึ่ง PEC ที่ยังไม่หลอมจะต้านการหมุนໂเรเตอร์สูง ทำให้ทอร์กมีค่าสูง และค่าทอร์กจะลดลงเมื่อ PEC เกิดการหลอมเนื่องจากความร้อนและแรงเฉือนที่ได้รับ จากนั้นทอร์กจะเพิ่มขึ้นอีกครั้งที่นาทีที่ 2 เนื่องจากการใส่ยางคอมพาวน์ซึ่งมี

ความหนืดสูงลงไปในห้องผสม หลังจากนั้นเมื่อย่างได้รับแรงเฉือนและความร้อนซึ่งจะส่งผลให้ยางนิ่มลงทำให้ค่าทอร์กจะมีแนวโน้มลดลงเรื่อยๆ จนกระทั่งที่เวลาประมาณ 2.70 นาที สูตรที่ไม่ใส่สารตัดแปร (Without modifier) และวิธีดัดแปรผิวแบบ Reactive blending ค่าทอร์กจะมีแนวโน้มเพิ่มขึ้น ในขณะที่สูตรที่ใช้วิธีการผสมสารตัดแปรแบบ Melt mixing จะมีค่าทอร์กเพิ่มขึ้นอีกรอบที่เวลาประมาณ 3 นาที ซึ่งค่าทอร์กที่เพิ่มขึ้นในช่วงนี้แสดงให้เห็นถึงการเกิดการวัลคาไนซ์แบบไดนามิกซึ่งไม่เลกุลยาง ทำให้มีความหนืดเพิ่มสูงขึ้น หลังจากเพสยางเกิดการวัลคาไนซ์สมบูรณ์หรือเมื่อถึงจุดที่ทอร์กสูงที่สุด จะبدผสมต่อเนื่องไปอีก 1 นาที เพื่อให้เพสยางที่เกิดการวัลคาไนซ์เกิดการแตกออก และกระจายตัวไปในเพสพลาสติกภายใน การผสมที่มีแรงเฉือนสูง โดยจะสังเกตได้จากค่าทอร์กการผสมที่มีแนวโน้มลดลง และจากค่าทอร์กการผสมพบว่าการใช้วิธีผสมสารตัดแปรที่แตกต่างกันจะปรากฏลักษณะของทอร์กการผสมที่แตกต่างกัน กล่าวคือ เทอร์โมพลาสติกวัลคาไนซ์ที่เตรียมแบบไม่ใช้สารตัดแปร (Without modifier) และที่เตรียมโดยวิธีการผสมสารตัดแปรแบบ Reactive blending จะมีลักษณะทอร์กการผสมเหมือนกัน ขณะที่เทอร์โมพลาสติกวัลคาไนซ์ที่ผสมสารตัดแปรแบบ Melt mixing จะมีทอร์กการผสมที่ดำเนินการเกิดไดนามิกส์วัลคาไนเซชันซึ่งกว้างกว่า ทั้งนี้อาจเป็นผลจากวิธีการผสมสารตัดแปรแบบ Melt mixing ทำการผสมสารตัดแปรกับยางรีเคลมในขั้นตอนแรกของการเตรียมยางรีเคลม ก่อนนำมาเตรียมเป็นยางคอมพาวน์ และเตรียมเทอร์โมพลาสติกวัลคาไนซ์ เป็นขั้นตอนสุดท้าย ซึ่งการมีพินอลิกเรซินอยู่ในยางคอมพาวน์ ทำให้พินอลิกเรซินมีโอกาสเกิดปฏิกิริยาดัดแปรผิวประจัญกับโมเลกุลยางรีเคลมและยางธรรมชาติได้ ซึ่งการเกิดปฏิกิริยานี้จำเป็นต้องใช้พลังงานความร้อนเข่นกัน ทำให้รับกวนพลังงานความร้อนโดยรวมที่วัสดุได้รับในขณะผสม และพลังงานที่ใช้ในการวัลคาไนซ์ด้วยกำมะถัน ส่งผลให้การเกิดไดนามิกส์วัลคาไนเซชันในเทอร์โมพลาสติกวัลคาไนซ์ที่เตรียมโดยวิธี Melt mixing ซ้ำลงกว่าเดิม ซึ่งแตกต่างจากการเตรียมแบบ Reactive blending ที่ไม่ใส่สารตัดแปรพินอลิกเรซินเข้าไปในขั้นตอนการเตรียมเทอร์โมพลาสติกวัลคาไนซ์ โดยปกติพินอลิกเรซินจะเป็นสารวัลคาไนซ์ที่เกิดปฏิกิริยาได้ช้า จึงทำให้ณ เวลาสิ้นสุดการผสมจึงยังไม่เห็นผลของการรับกวนการวัลคาไนซ์ในเพสยางของเทอร์โมพลาสติกวัลคาไนซ์

#### 4.3.2 การศึกษาอิทธิพลของวิธีการผสมสารตัดแปรต่อสมบัติเชิงกลของเทอร์โมพลาสติกวัลคาไนซ์จากการเบلنด์ระหว่าง NR/RR/PEC

นำเทอร์โมพลาสติกวัลคาไนซ์จากการเบلنด์ระหว่าง NR/RR/PEC โดยประวิธีการผสมสารตัดแปร 2 วิธีคือ Melt mixing method และ Reactive blending method มาเตรียมเป็นชิ้นทดสอบด้วยวิธีการอัดเบ้า จากนั้นนำไปทดสอบสมบัติเชิงกล ได้กราฟความสัมพันธ์ระหว่างความเค้นและความเครียดตั้งแต่แสดงในรูปที่ 4.16



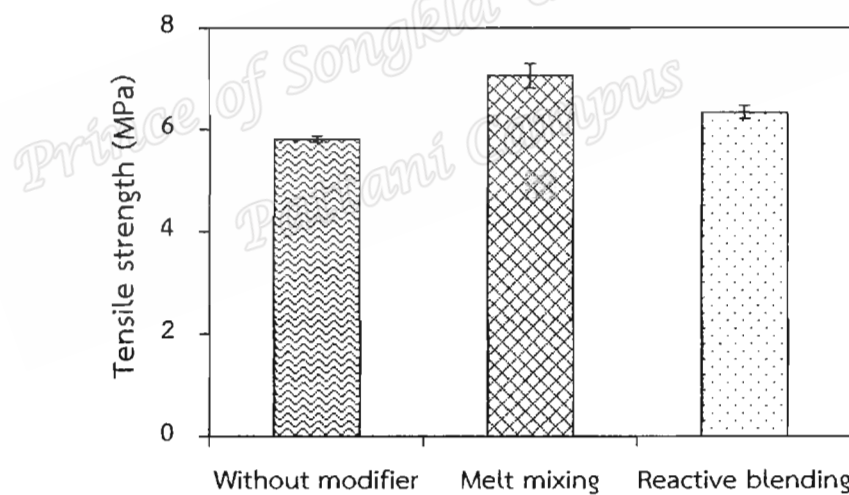
รูปที่ 4.16 ความสัมพันธ์ระหว่างความเค้นกับความเครียดของเทอร์โมพลาสติกวัลค่าในซึ่งจากการเบلنด์ NR/RR/PEC เมื่อประวิธิการผสมสารตัดแปร

จากรูปที่ 4.16 พบว่าเทอร์โมพลาสติกวัลค่าในซึ่งจากการเบلنด์ยางธรรมชาติ ยางรีเคลม และโพร์พลีนเอทธีลีนโคล็อกลีเมอร์ แสดงลักษณะการผิดรูปแบบอิเล็กทริก โดยจากราฟจะเห็นได้ว่า ช่วงเริ่มต้นจนถึงที่มอดุลัสที่ 100% มีค่ามอดุลัสสูงกว่าที่ไม่แตกต่างกันมากนักเมื่อใช้วิธีการผสมสารตัดแปรที่แตกต่างกัน เนื่องจากในช่วงแรกของการยืดเพลสติกเป็นเฟสที่ทำหน้าที่รับแรงเค้น แต่ เมื่อพิจารณาถึงอุดุลัสและระยะยืดช่วงสุดท้าย พบว่า NR/RR/PEC TPVs ที่ใส่สารตัดแปรคือ Melt mixing และ Reactive blending จะให้ค่ามอดุลัสสูงกว่าไม่ใส่สารตัดแปร แสดงให้เห็นถึงผลของการใช้สารตัดแปรส่งผลต่อความแข็งตึงของเทอร์โมพลาสติกวัลค่าในซึ่งเพิ่มขึ้น ในขณะที่เมื่อเปรียบผลของการใส่สารตัดแปรด้วยวิธีการผสมที่แตกต่างกันทั้ง 2 วิธี พบว่าเทอร์โมพลาสติกวัลค่าในซึ่งที่เตรียมจากวิธีการผสมสารตัดแปรแบบ Melt mixing ให้ค่ามอดุลัสสูงกว่าเทอร์โมพลาสติกวัลค่าในซึ่งที่เตรียมจากวิธีการผสมสารตัดแปรแบบ Reactive blending เล็กน้อย จากจุดขาดของกราฟความสัมพันธ์ระหว่างความเค้นกับความเครียดในรูปที่ 4.16 สามารถนำมาคำนวณหาค่าความต้านทานต่อแรงดึงและความสามารถในการยืดจนขาด ได้ผลแสดงดังตารางที่ 4.6 รวมถึงยังแสดงผลการทดสอบสมบัติด้านความแข็ง และการผิดรูปการแบบดึงด้วย

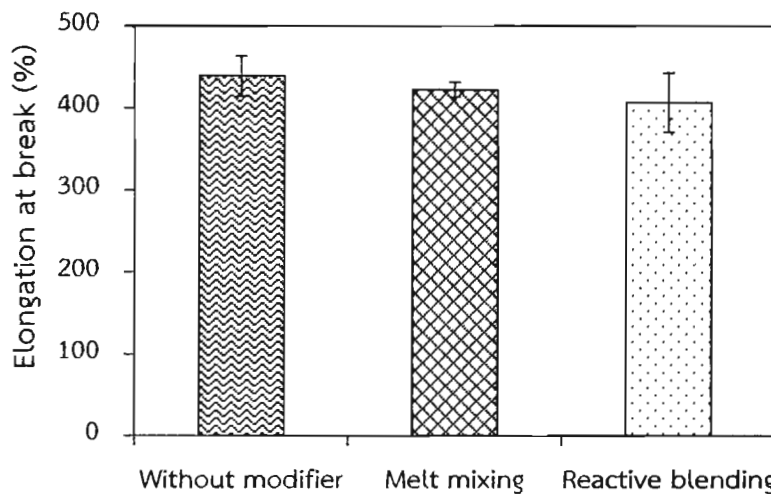
ตารางที่ 4.6 สมบัติเชิงกลของของเทอร์โมพลาสติกวัลคaine จากการเบلنด์ NR/RR/PEC เมื่อแปร วิธีการผสมสารตัดแปร

Blend methods	Tensile strength (MPa)	Elongation at break (%)	Tension set (%)	Hardness (shore A)
Without modifier	5.81±0.06	439±24.64	6.28±0.58	52
Melt mixing	7.06±0.24	422±8.87	5.13±0.44	55
Reactive blending	6.34±0.14	406±35.96	5.17±0.86	55

จากตารางที่ 4.6 สามารถเขียนกราฟเปรียบเทียบค่าความต้านทานต่อแรงดึง ค่า ความสามารถในการยึดจันชาด ค่าการผิดรูปถาวรแบบดึง และค่าความแข็งของเทอร์โมพลาสติก วัลคaine จากการเบلنด์ NR/RR/PEC เมื่อแปร วิธีการผสมสารตัดแปร ดังรูปที่ 4.17, 4.18, 4.22 และ 4.23 ตามลำดับ

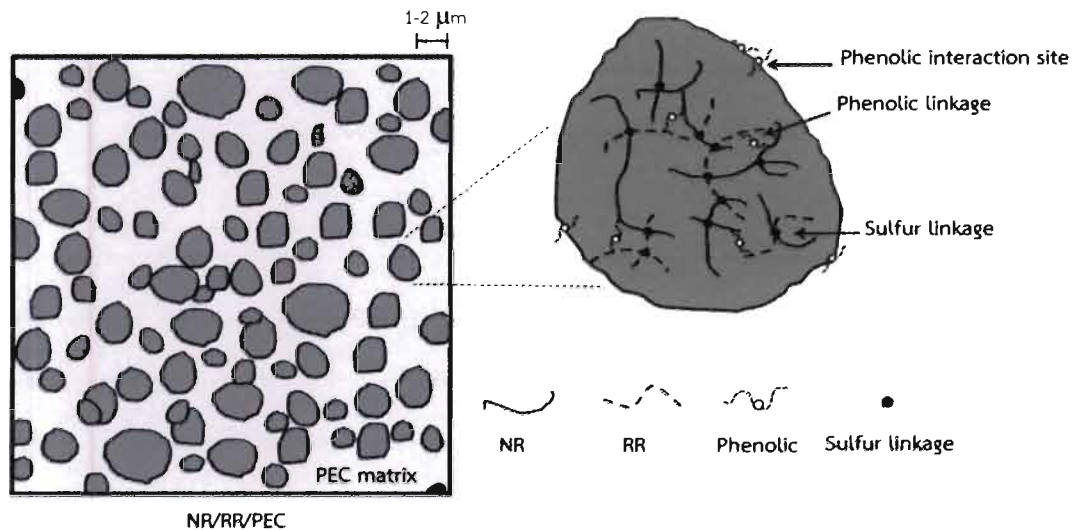


รูปที่ 4.17 ความต้านทานต่อแรงดึงของเทอร์โมพลาสติกวัลคaine จากการเบلنด์ NR/RR/PEC เมื่อ แปร วิธีการผสมสารตัดแปร



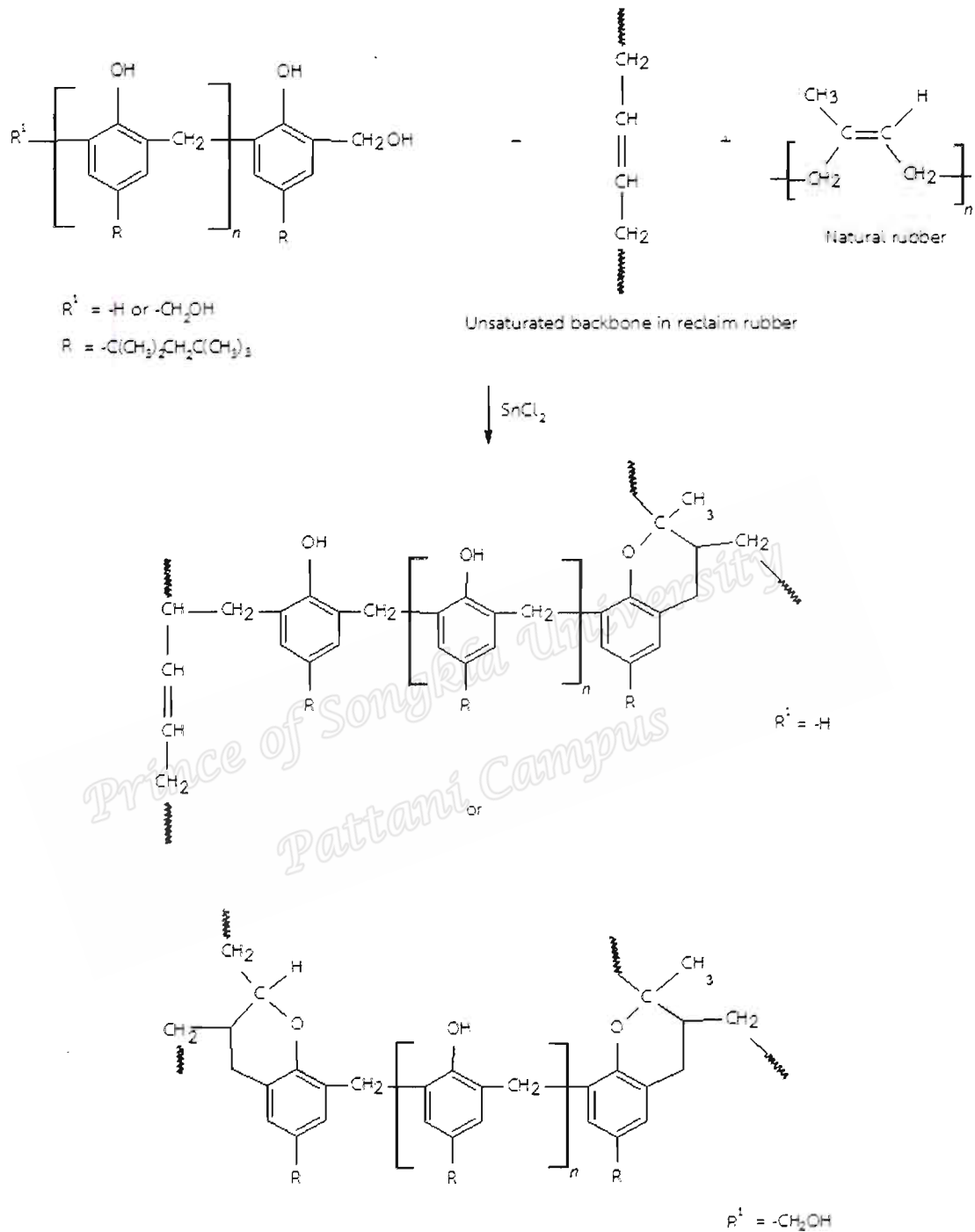
**รูปที่ 4.18** ความสามารถในการยึดจันขาดของเทอร์โมพลาสติกวัลค้านิชจากการเบلنด์ NR/RR/PEC เมื่อประวิธิการผสมสารดัดแปร

จากที่รูปที่ 4.17 พบร่วมกับน้ำหนักของเทอร์โมพลาสติกวัลค้านิชที่ให้ค่าความต้านทานต่อแรงดึงสูงกว่าไม่ใช้สารดัดแปร เนื่องจากสารดัดแปรเข้าไปช่วยเพิ่มความเข้ากันได้ระหว่างเฟสยางรีเคลมกับยางธรรมชาติทำให้มีแรงยึดเหนี่ยวที่ผิวประจุสูงขึ้น ส่งผลให้การส่งผ่านแรงดึงระหว่างรอยต่อของโมเลกุลยางดีขึ้น ค่าความต้านทานต่อแรงดึงเพิ่มขึ้น รวมถึงเมื่อพินอลิกเรชินจะมีโอกาสเกิดพันธะเชื่อมขวางแบบ C-C และ C-O ซึ่งมีพลังงานพันธะ 346 kJ/mol และ 358 kJ/mol ตามลำดับ ทำให้ช่วยเพิ่มความแข็งแรงของเทอร์โมพลาสติกวัลค้านิชจากเดิมที่มีการใช้กำมะถันเพียงอย่างเดียวซึ่งจะให้พันธะเชื่อมขวางส่วนใหญ่แบบพอลิซัลฟิดิก ( $C-S_x-C$ ) ซึ่งมีพลังงานพันธะต่ำกว่า (270 kJ/mol) (Brydson, 1978) และเมื่อเปรียบเทียบระหว่างขั้นตอนการผสมที่แตกต่างระหว่างวิธิการผสมสารดัดแปรทั้ง 2 วิธี คือ Melt mixing และ Reactive blending พบร่วมกับเทอร์โมพลาสติกวัลค้านิชที่เตรียมโดยการใช้วิธิการผสมสารดัดแปรแบบ Melt mixing ให้ค่าความต้านทานต่อแรงดึงและความสามารถในการยึดจันขาดสูงกว่าวิธิการผสมสารดัดแปรแบบ Reactive blending เนื่องจากการใช้วิธิ Melt mixing จะเตรียมยางรีเคลมบดผสมกับพินอลิกเรชินในขั้นตอนแรกก่อนที่จะนำยางรีเคลมผสมพินอลิกเรชินที่ได้ไปเตรียมเป็นยางคอมพาวน์ และนำไปเตรียมเป็นเทอร์โมพลาสติกวัลค้านิชในลำดับสุดท้าย (วิธิการเตรียมแบบ Melt mixing method แสดงในรูปที่ 3.2) ทำให้พินอลิกเรชินที่อยู่ในยางรีเคลมมีโอกาสเกิดอันตรกิริยาได้กับทั้งเฟสยางและเฟสพลาสติก ซึ่งความเป็นไปได้ของการเกิดปฏิกิริยาระหว่างเฟสแสดงในรูปที่ 4.19

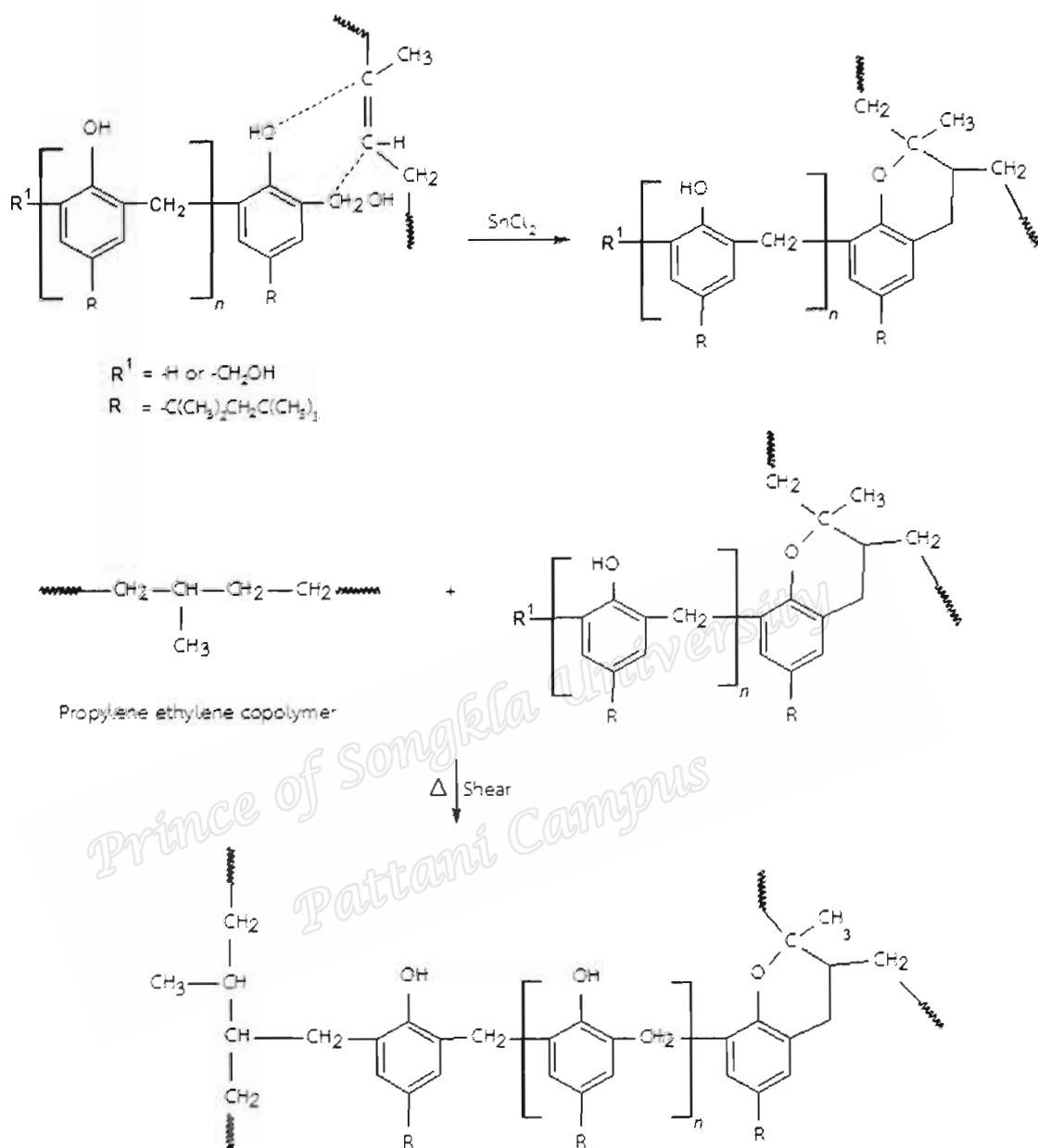


รูปที่ 4.19 โอกาสเกิดปฏิกิริยาระหว่างยางรีเคลม ยางธรรมชาติ และโพร์พิลีนเอทิลีนโคโพลิเมอร์ กับพินอลิกเรชินเมื่อใช้วิธีการผสมแบบ Melt mixing method

โดยที่หมู่เมทธิลอล (Methylol groups, -CH<sub>2</sub>OH) ในโมเลกุลของพินอลิกเรชินสามารถเกิดปฏิกิริยา กับพันธะคูในสายโซ่โมเลกุลของยางได้ (Nakason et al., 2006b) ดังปฏิกิริยาในรูปที่ 4.20 รวมถึงมีโอกาสที่จะเกิดปฏิกิริยาระหว่างเพสยางและเพสโพร์พิลีนเอทิลีนโคโพลิเมอร์ได้ ดังปฏิกิริยาที่แสดงดังรูปที่ 4.21 แสดงให้เห็นว่าการเตรียมเทอร์โมพลาสติกวัลภาชนะฯ ด้วยวิธีสมาร์ตด้วยแบบ Melt mixing ซึ่งผสมสารดัดแปลงนิดพินอลิกเรชิน กับยางรีเคลม ก่อนในขั้นตอนแรก ก่อนนำไปเบلنด์ กับยางธรรมชาติ เพื่อเตรียมคอมพาวน์ ทำให้ช่วยเพิ่มแรงยึดติดระหว่างเพสยาง รวมถึงช่วยเพิ่มความเข้ากันได้ระหว่างเพสยางรีเคลม และยางธรรมชาติ ก่อนที่จะนำไปเบلنด์ กับโพร์พิลีนเอทิลีนโคโพลิเมอร์ เพื่อเตรียมเป็นเทอร์โมพลาสติกวัลภาชนะฯ ในขั้นตอนสุดท้าย นอกจากนี้การใส่พินอลิกเรชิน ในขั้นตอนแรกของการเตรียมเทอร์โมพลาสติกวัลภาชนะฯ จะทำให้พินอลิกเรชินมีเวลาในการเกิดปฏิกิริยา กับเพสต่างๆ เพื่อปรับปรุงความเข้ากันได้มากกว่าวิธีการเตรียมแบบ Reactive blending ซึ่งจะใส่พินอลิกเรชิน ในขั้นตอนที่ 3 ซึ่งเป็นขั้นตอนสุดท้ายสำหรับเตรียมเทอร์โมพลาสติกวัลภาชนะฯ ซึ่งวิธีการนี้มีระยะเวลาในการกระจายตัว และเกิดปฏิกิริยาระหว่างองค์ประกอบเบلنด์ (เกิดปฏิกิริยาระหว่างเพส) ที่สั้นกว่าเทอร์โมพลาสติกวัลภาชนะฯ ที่เตรียมโดยวิธีการผสมแบบ Melt mixing หากจึงทำให้เทอร์โมพลาสติกวัลภาชนะฯ ที่เตรียมโดยใช้วิธีการผสมแบบ Reactive blending มีสมบัติเชิงกลต่ำกว่า การใช้วิธีการผสมสารดัดแปลงแบบ Melt mixing method

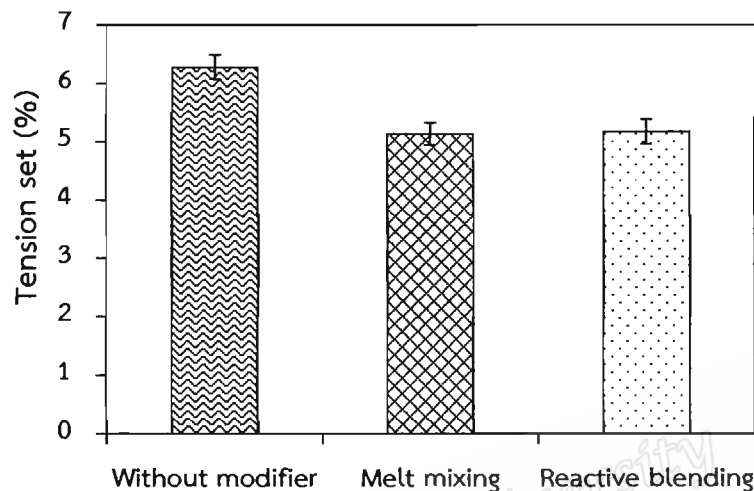


รูปที่ 4.20 ปฏิกิริยาที่เป็นไปได้ระหว่างยางรีเคลม และยางธรรมชาติ กับพินอลิกเรซิน (ดัดแปลงจาก Nakason *et al.*, 2006b; Nelson, 2003; Brydson, 1978)

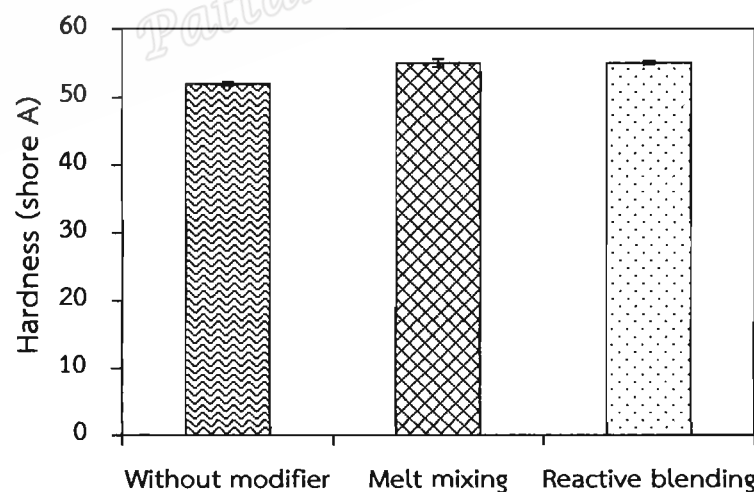


รูปที่ 4.21 ปฏิกิริยาที่เป็นไปได้ระหว่างเฟสยาง กับโพรพลีนเอทธิลีนโคโพลิเมอร์ เมื่อใช้สารตัดแปรพิโนลิกเรชิน (ดัดแปลงจาก Nakason *et al.*, 2006b; George *et al.*, 1999; Brydson, 1978)

การผิดรูปภาระแบบดึงและความแข็งของเทอร์โมพลาสติกวัลคานีซ์ที่ประวิธิการผสมสารดัดแปร แสดงดังรูปที่ 4.22 และ 4.23



รูปที่ 4.22 การผิดรูปภาระแบบดึงของเทอร์โมพลาสติกวัลคานีซ์จากการเบلنด์ NR/RR/PEC เมื่อประวิธิการผสมสารดัดแปร

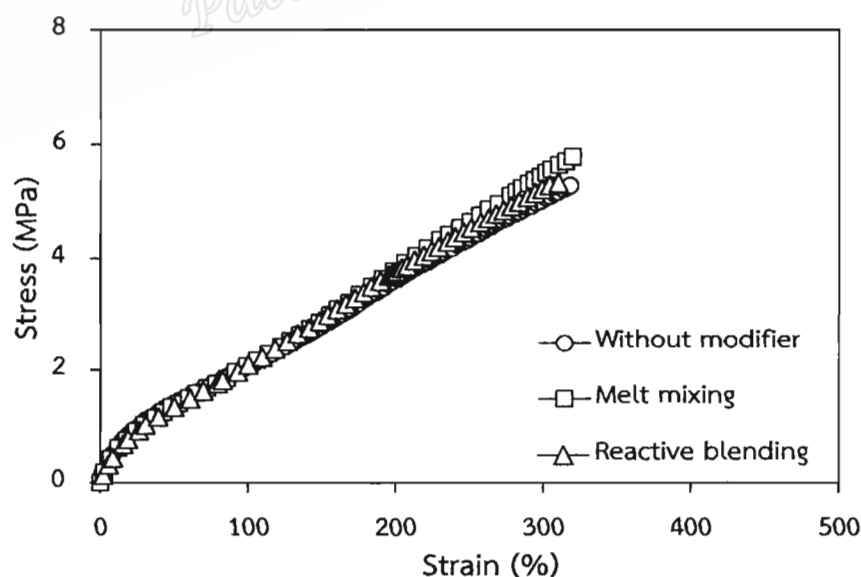


รูปที่ 4.23 ความแข็งของเทอร์โมพลาสติกวัลคานีซ์จากการเบلنด์ NR/RR/PEC เมื่อประวิธิการผสมสารดัดแปร

จากรูปที่ 4.22 พบว่าเทอร์โมพลาสติกวัลคานิซที่ใช้สารดัดแปรมีความสามารถคืนรูปได้ดีกว่าเทอร์โมพลาสติกวัลคานิซที่ไม่ใช้สารดัดแปร ขณะที่เมื่อใช้วิธีการผสมที่แตกต่างกัน ความสามารถในการคืนรูปของเทอร์โมพลาสติกวัลคานิซไม่แตกต่างกัน และเมื่อพิจารณาค่าความแข็งซึ่งแสดงในรูปที่ 4.23 พบว่าเทอร์โมพลาสติกวัลคานิซที่ใช้สารดัดแปรให้ค่าความแข็งสูงกว่าเทอร์โมพลาสติกวัลคานิซที่ไม่ใช้สารดัดแปรเล็กน้อย แต่ให้ค่าไม่แตกต่างกันเมื่อใช้วิธีการผสมสารดัดแปรที่แตกต่างกัน ซึ่งแสดงให้เห็นว่าสารดัดแปรที่เติมเข้าไปเพื่อปรับปรุงความเข้ากันได้ของเฟสยาง และเฟสพลาสติกในเทอร์โมพลาสติกวัลคานิซมีผลต่อการเพิ่มแรงยึดเหนี่ยวที่ผิวประจุดังที่ได้อธิบายก่อนหน้านี้

#### 4.3.3 การศึกษาอิทธิพลของวิธีการผสมสารดัดแปรต่อสมบัติเชิงกลภายหลังบ่มเร่งของเทอร์โมพลาสติกวัลคานิซจากการเบلنด์ระหว่าง NR/RR/PEC

เตรียมเทอร์โมพลาสติกวัลคานิซจากการเบلنด์ระหว่าง NR/RR/PEC โดยประวิธีการผสมสารดัดแปรวิธีต่างๆ ตามวิธีการในหัวข้อ 3.3.3 จากนั้นนำมาทดสอบความด้านทานต่อการบ่มเร่งที่อุณหภูมิ 100°C เป็นเวลา 22 ชั่วโมง เมื่อครบเวลานำตัวอย่างออกพักทิ้งไว้ที่อุณหภูมิห้องอย่างน้อย 16 ชั่วโมง ก่อนนำไปทดสอบความด้านทานต่อแรงดึง และความสามารถในการยึดจันชาด ได้ผลการทดลองแสดงดังรูปที่ 4.24



รูปที่ 4.24 ความสัมพันธ์ระหว่างความเค้นกับความเครียดภายหลังบ่มเร่งของเทอร์โมพลาสติกวัลคานิซจากการเบلنด์ NR/RR/PEC เมื่อประวิธีการผสมสารดัดแปร

จากรูปที่ 4.24 แสดงความสัมพันธ์ระหว่างความเด็นและความเครียดภายหลังบ่มเร่งของเทอร์โมพลาสติกวัลค่าไนซ์เมื่อประวิธิการผสมที่ต่างกัน จากรูปพบว่าเทอร์โมพลาสติกวัลค่าไนซ์มีลักษณะการผิดรูปแบบอิเล็กทรอนิกส์เดียวกับก่อนบ่มเร่ง แต่พบว่าเทอร์โมพลาสติกวัลค่าไนซ์เมื่อใช้วิธีการผสมที่ต่างกันภายหลังบ่มเร่งจะให้ค่ามอดุลส์ไกล์เดียงกัน และจากจุดขาดของกราฟความสัมพันธ์ระหว่างความเด็นกับความเครียดในรูปที่ 4.24 สามารถนำมาคำนวณหาค่าความต้านทานต่อแรงดึง และความสามารถในการยึดจันขาด ได้ผลแสดงดังตารางที่ 4.7 และ 4.8 รวมถึงแสดงเปอร์เซ็นต์การเปลี่ยนแปลงของสมบัติด้วย

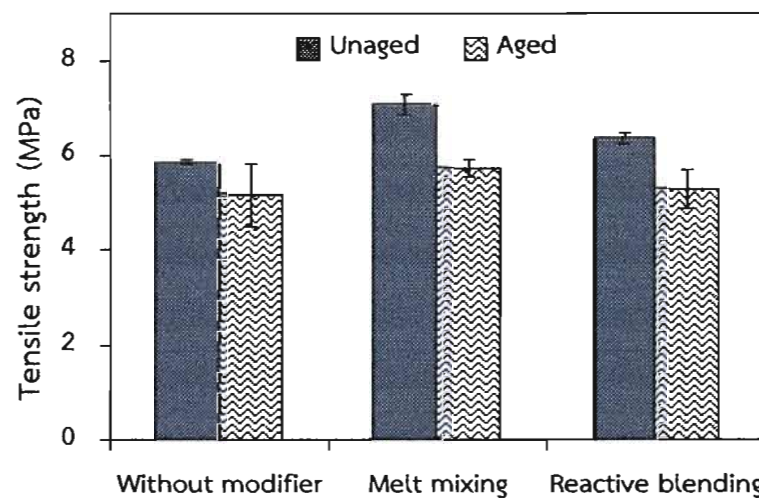
ตารางที่ 4.7 ความต้านทานต่อแรงดึงภายหลังบ่มเร่งของเทอร์โมพลาสติกวัลค่าไนซ์จากการเบلنด์ NR/RR/PEC เมื่อประวิธิการผสมสารตัดแปร

Blend method	Tensile strength (MPa)		Change in property of tensile strength (%)
	Unaged	Aged	
Without modifier	5.81±0.06	5.16±0.67	-11.19
Melt mixing	7.06±0.24	5.72±0.19	-18.98
Reactive blending	6.34±0.14	5.28±0.41	-16.72

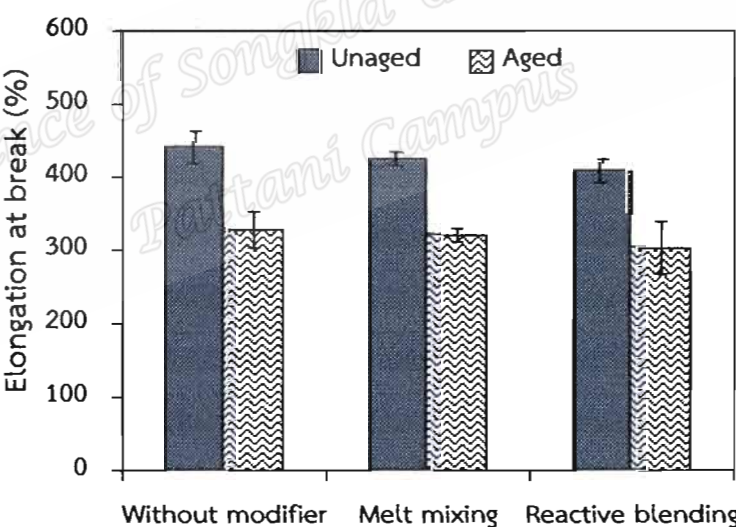
ตารางที่ 4.8 ความสามารถในการยึดจันขาดภายหลังบ่มเร่งของเทอร์โมพลาสติกวัลค่าไนซ์จากการเบلنด์ NR/RR/PEC เมื่อประวิธิการผสมสารตัดแปร

Blend method	Elongation at break (%)		Change in property of elongation at break (%)
	Unaged	Aged	
Without modifier	439±24.64	328±24.08	-25.28
Melt mixing	422±8.87	320±9.58	-24.17
Reactive blending	406±35.96	302±17.54	-25.62

จากตารางที่ 4.7 และ 4.8 สามารถเขียนกราฟเปรียบเทียบค่าความต้านทานต่อแรงดึง และค่าความสามารถในการยึดจันขาดก่อนและหลังบ่มเร่งของเทอร์โมพลาสติกวัลค่าไนซ์จากการเบلنด์ NR/RR/PEC เมื่อประวิธิการผสมสารตัดแปร แสดงดังรูปที่ 4.25 และ 4.26 รวมถึงแสดงกราฟเปรียบเทียบเปอร์เซ็นต์การเปลี่ยนแปลงหลังบ่มเร่งในรูปที่ 4.27



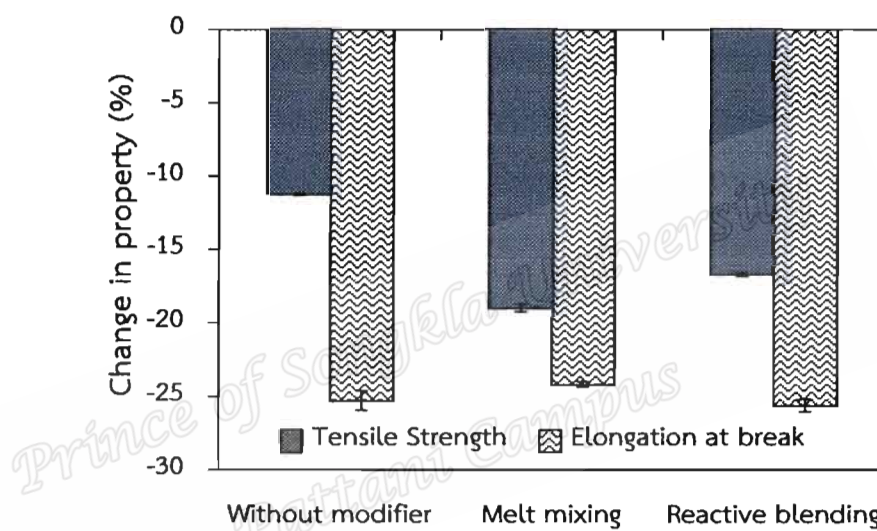
รูปที่ 4.25 ความต้านทานต่อแรงดึงก่อนและหลังบ่มเร่งของเทอร์โมพลาสติกวัลคain ซึ่งจากการเบلنด์ NR/RR/PEC เมื่อประวิธิการผสมสารดัดแปลง



รูปที่ 4.26 ความสามารถในการยืดจนขาดก่อนและหลังบ่มเร่งของเทอร์โมพลาสติกวัลคain ซึ่งจากการเบلنด์ NR/RR/PEC เมื่อประวิธิการผสมสารดัดแปลง

จากรูปที่ 4.25 และ 4.26 พบว่าค่าความต้านทานต่อแรงดึงและความสามารถในการยืดจนขาดของเทอร์โมพลาสติกวัลคain ที่ไม่ใช้สารดัดแปลง และที่ใส่สารดัดแปลงด้วยวิธีการผสมทั้ง 2 วิธี ให้ค่าความต้านทานต่อแรงดึงและความสามารถในการยืดจนขาดหลังการบ่มเร่งต่ำกว่าก่อนบ่มเร่ง เนื่องจากยังสามารถเกิดปฏิกิริยาออกซิเดชันกับออกซิเจนได้ ทำให้เกิดการตัดสายโซ่ (Chain

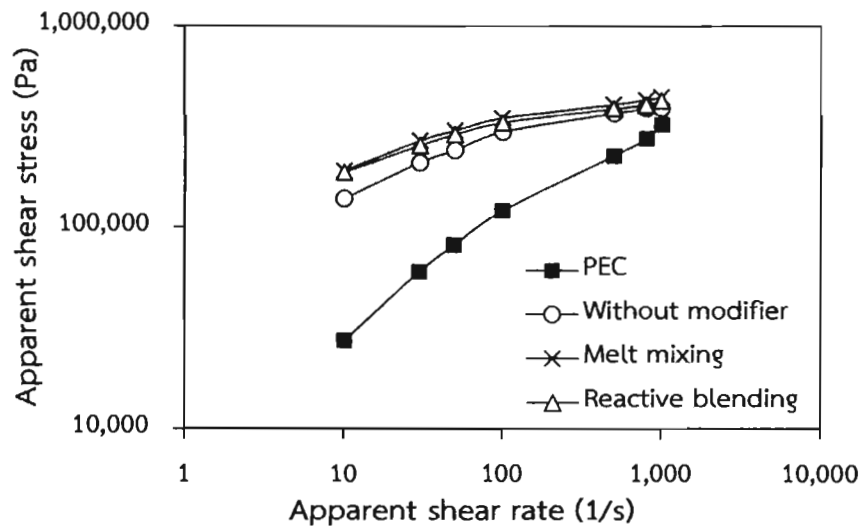
scission) ส่งผลให้สมบัติเชิงกลของยางเบلنด์ลดลง ก่อปรกับการวัลค่าในชีด้วยระบบกำมะถันแบบปกติซึ่งมีพันธะเชื่อมขวางแบบพอลิชลฟิดิกเป็นส่วนใหญ่ ซึ่งจะแตกออกได้ง่ายเมื่อได้รับความร้อนและเมื่อพิจารณาเปอร์เซ็นต์การเปลี่ยนแปลงสมบัติซึ่งแสดงในรูปที่ 4.27 พบร่วมกับการเปลี่ยนแปลงของค่าความต้านทานต่อแรงดึง และความสามารถในการยืดจนขาดให้ค่าเป็นลบ ซึ่งแสดงให้เห็นถึงสมบัติที่ลดลงหลังการบ่มเร่ง และพบว่าเทอร์โมพลาสติกวัลค่าในชีทั้ง 3 สูตรหั้งที่ไม่ใช้สารตัดแปรและประวิธิการผสม 2 วิธี มีเปอร์เซ็นต์การเปลี่ยนแปลงของค่าความต้านทานต่อแรงดึง และความสามารถในการยืดจนขาดไม่แตกต่างกัน



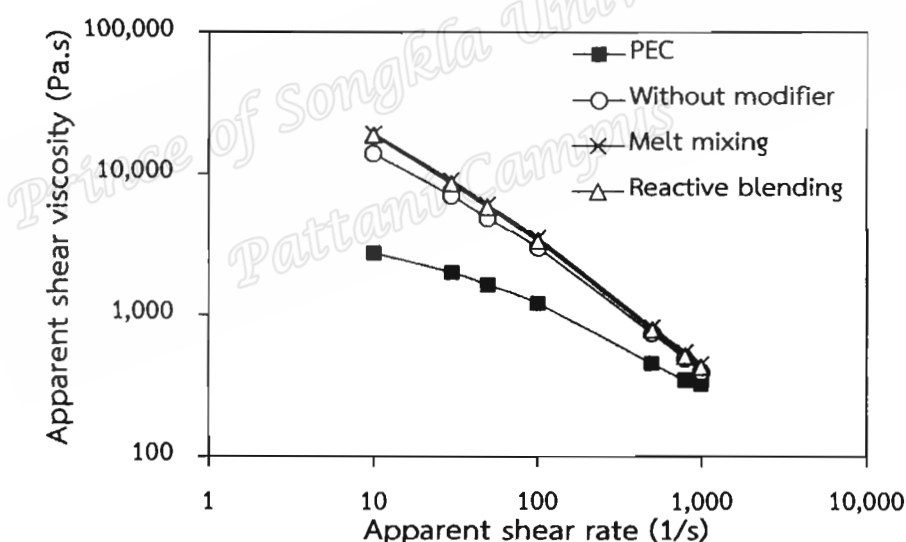
รูปที่ 4.27 เปอร์เซ็นต์การเปลี่ยนแปลงของสมบัติความต้านทานต่อแรงดึงและความสามารถในการยืดจนขาดภายหลังบ่มเร่งของเทอร์โมพลาสติกวัลค่าในชีจากการเบلنด์ NR/RR/PVC เมื่อประวิธิการผสมสารตัดแปร

#### 4.3.4 การศึกษาอิทธิพลของวิธีการผสมสารตัดแปรต่อสมบัติการไหลของเทอร์โมพลาสติกวัลค่าในชีจากการเบلنด์ระหว่าง NR/RR/PVC

นำเทอร์โมพลาสติกวัลค่าในชีจากการเบلنด์ระหว่าง NR/RR/PVC ที่ประวิธิการผสมสารตัดแปรวิธีต่างๆ มาวิเคราะห์สมบัติการไหลตามวิธีการทดลองในหัวข้อที่ 3.8.5 โดยใช้เครื่องรีโอมิเตอร์แบบค่าปัลลารี ได้ความสัมพันธ์ระหว่างความเค้นเฉือนปราภูกับอัตราเฉือนปราภู และความหนืดเฉือนปราภูกับอัตราเฉือนปราภู ดังแสดงในรูปที่ 4.28 และ 4.29



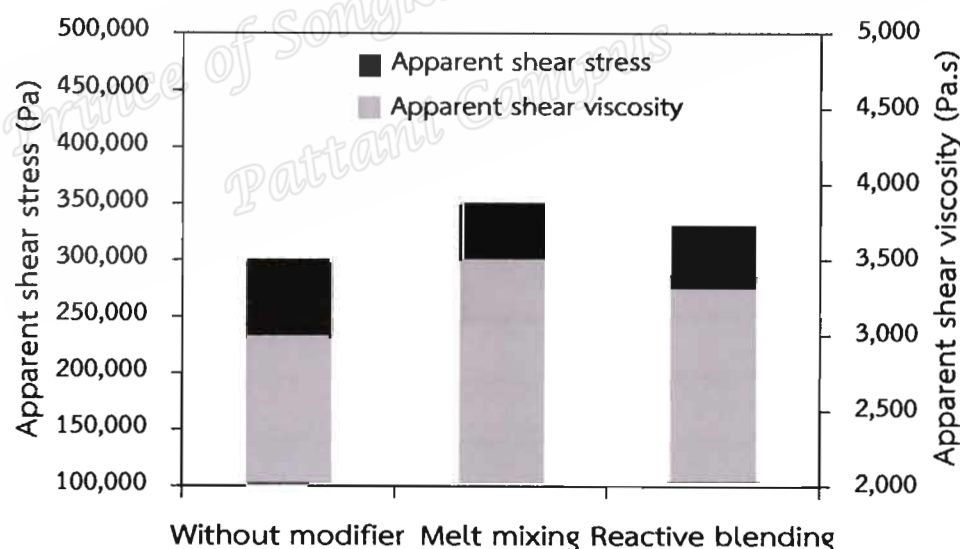
รูปที่ 4.28 ความสัมพันธ์ระหว่างความเด่นเฉือนปราภูมิกับอัตราเฉือนปราภูของเทอร์โมพลาสติกวัลค่าในซึ่จากการเบลนด์ NR/RR/PEC เมื่อประวิธิการผสมสารตัดแปร



รูปที่ 4.29 ความสัมพันธ์ระหว่างความหนืดเฉือนปราภูกับอัตราเฉือนปราภูของเทอร์โมพลาสติกวัลค่าในซึ่จากการเบลนด์ NR/RR/PEC เมื่อประวิธิการผสมสารตัดแปร

จากรูปที่ 4.28 และ 4.29 พบว่าค่าความเด่นเฉือนปราภูมีค่าเพิ่มขึ้นตามอัตราเฉือนปราภูที่เพิ่มขึ้น ในขณะที่ค่าความหนืดเฉือนปราภูมีค่าลดลง แสดงให้เห็นว่า NR/RR/PEC TPVs เป็นของเหลวประเภทอนนิวตันเนียน (non-Newtonian fluid) มีพฤติกรรมการเหลวแบบลดความหนืด (Shear thinning behavior) ซึ่งเป็นพฤติกรรมการเหลวของของเหลวโดยพลาสติก (Pseudoplastic fluid) กล่าวคือขณะที่อัตราเฉือนเพิ่มขึ้น พอลิเมอร์เกิดการหลอมและเกิดการ

จัดเรียงตัวใหม่ เพื่อให้โมเลกุลของยางผ่านง่ายขึ้น ทำให้ค่าความหนืดเฉือนปรากวูมีค่าลดลง โดยพบว่าค่าความเค้นเฉือนปรากวู และค่าความหนืดเฉือนปรากวูของเม็ดพลาสติก PEC และมีค่าต่ำที่สุดเมื่อเทียบกับ NR/RR/PEC TPVs เนื่องจาก PEC เป็นพลาสติกในกลุ่มพลาสโตรเมอร์ คือ มีความเป็นพลาสติก และอิเล็กทริกในโมเลกุล มีความอ่อนตัว สามารถเกิดการหลอมและไหลได้ง่ายเมื่อได้รับความร้อน การนำยางมาใส่ในพลาสติกเพื่อเตรียมเป็นเทอร์โมพลาสติกวัลภาชนะเป็นการเพิ่มความหนืดของพอลิเมอร์เบلنด์ทำให้เกิดการหลอมและไหลได้ยากขึ้น ในขณะที่เมื่อเปรียบเทียบระหว่าง NR/RR/PEC TPVs ทั้ง 3 สูตร พบร่วมพลาสติกวัลภาชนะที่ใช้สารตัดแปรมีค่าความเค้นเฉือนปรากวู และความหนืดเฉือนปรากวูสูงกว่าเทอร์โมพลาสติกวัลภาชนะที่ไม่ใส่สารตัดแปร ในขณะที่เมื่อเปรียบเทียบวิธีการผสมสารตัดแปรทั้ง 2 วิธี พบร่วมพลาสติกวัลภาชนะที่มีการผสมสารตัดแปรโดยใช้วิธี Melt mixing จะให้ค่าความเค้นเฉือนปรากวูและค่าความหนืดเฉือนปรากวูสูงกว่าการผสมสารตัดแปรโดยใช้วิธี Reactive blending เล็กน้อยเท่านั้น ซึ่งจะเห็นได้ชัดเจนขึ้นเมื่อเขียนกราฟระหว่างค่าความเค้นเฉือนปรากวูและค่าความหนืดเฉือนปรากวูที่อัตราเฉือนคงที่ค่าหนึ่ง ดังแสดงในรูปที่ 4.30



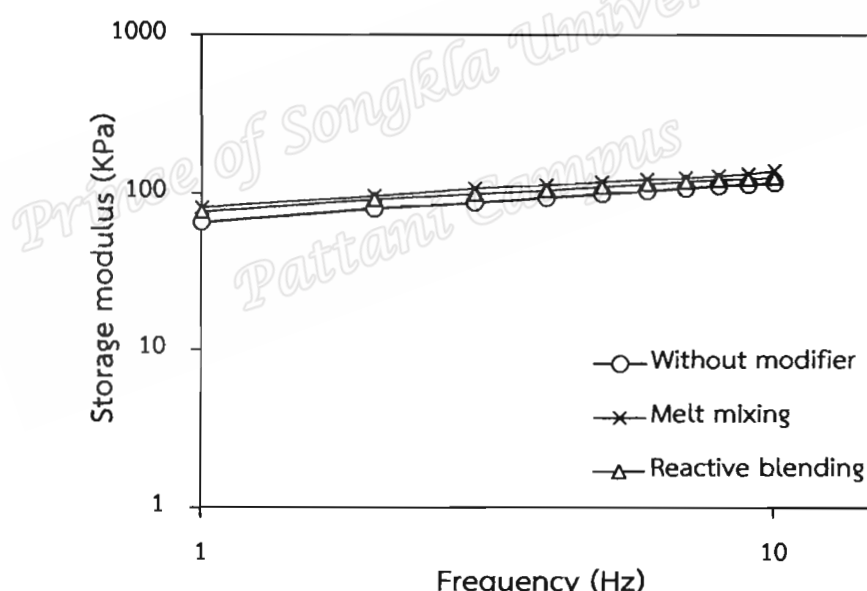
รูปที่ 4.30 ความเค้นเฉือนปรากวูและความหนืดเฉือนปรากวูที่อัตราเฉือน 100 (1/s) ของเทอร์โมพลาสติกวัลภาชนะจากการเบلنด์ NR/RR/PEC เมื่อประวิธีการผสมสารตัดแปร

จากรูปที่ 4.30 แสดงให้เห็นว่าการผสมสารตัดแปรโดยใช้วิธี Melt mixing จะทำให้พอลิเมอร์มีความเค้นเฉือนสูงและไหลได้ยากที่สุด ซึ่งเป็นผลจากวิธีการผสมพินอลิกเรชินด้วยวิธี Melt mixing ที่จะเตรียมยางรีเคลมผสมกับพินอลิกเรชินก่อน ทำให้พินอลิกเรชินมีโอกาสเพิ่มความเข้ากัน

ได้ระหว่างเฟสยางรีเคลมกับยางธรรมชาติ รวมถึงเฟสยางกับเพลสพลาสติก โดยแสดงปฏิกิริยาที่เป็นไปได้ระหว่างยางรีเคลม ยางธรรมชาติ และโพลีเอทธิลีนโคโพลิเมอร์ กับฟิโนลิกเรซิน ในรูปที่ 4.19 ส่งผลให้เทอร์โมพลาสติกวัลคานิซึมีแรงยึดเหนี่ยวระหว่างเฟส (Interfacial adhesion) มากกว่าการใช้วิธี Reactive blending ซึ่งใส่ฟิโนลิกเรซินในขั้นตอนการเตรียมเทอร์โมพลาสติกซึ่งเป็นขั้นตอนสุดท้าย

#### 4.3.5 การศึกษาอิทธิพลของวิธีการผสมสารตัดแปรต่อสมบัติเชิงกลพลวัตของเทอร์โมพลาสติกวัลคานิซ์จากการเบلن์ระหว่าง NR/RR/PEC

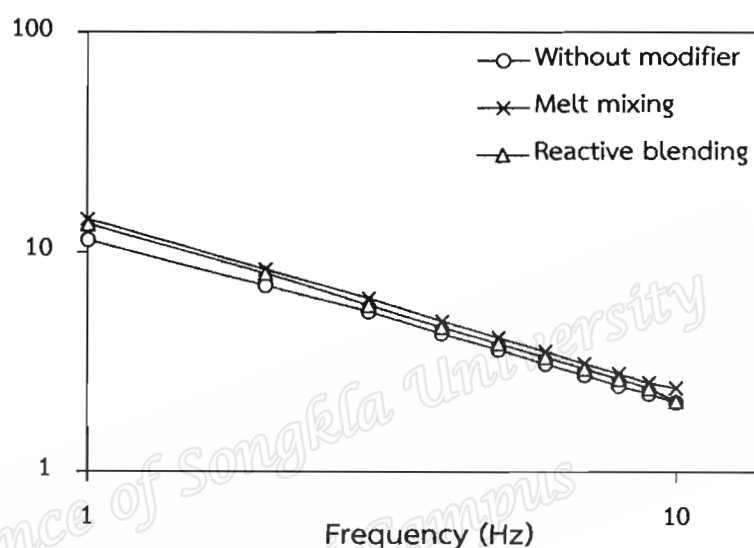
นำเทอร์โมพลาสติกวัลคานิซ์จากการเบلن์ระหว่าง NR/RR/PEC ที่ประวิธีการผสมสารตัดแปรต่างๆ มาทดสอบสมบัติเชิงกลพลวัตด้วยเครื่อง MDPT ตามวิธีการทดลองในหัวข้อที่ 3.8.6 ได้กราฟความสัมพันธ์ระหว่างมอดูลัสสั่งสม ความหนืดเชิงช้อน และ  $\tan \delta$  กับความถี่ ดังแสดงในรูปที่ 4.31-4.33



รูปที่ 4.31 ความสัมพันธ์ระหว่างมอดูลัสสั่งสมกับความถี่ของเทอร์โมพลาสติกวัลคานิซ์จากการเบلن์ NR/RR/PEC เมื่อประวิธีการผสมสารตัดแปร

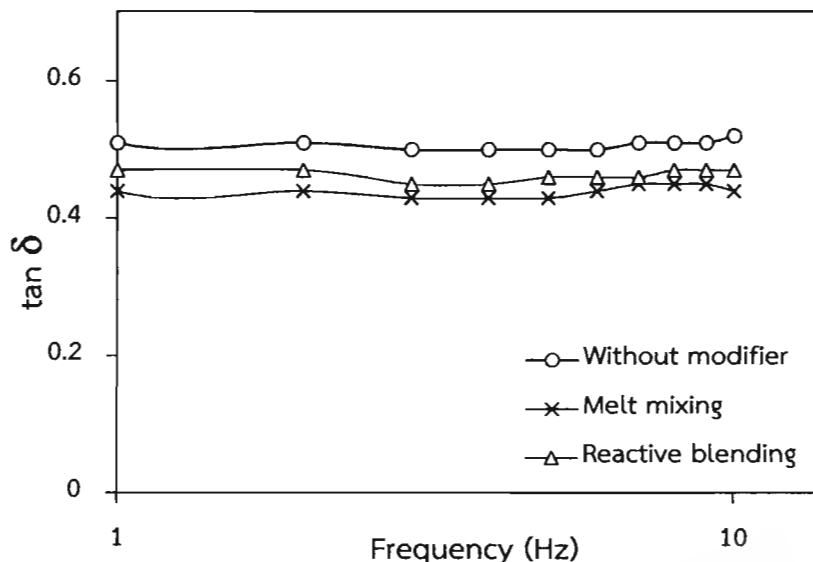
จากรูปที่ 4.31 พบร่วมมอดูลัสสั่งสมมีค่าเพิ่มขึ้นตามความถี่ที่เพิ่มขึ้น เนื่องจากในช่วงแรกที่ความถี่ต่ำพอลิเมอร์ยังมีเวลาในการพักความเค้น (Relaxation time) แต่เมื่อความถี่เพิ่มขึ้นเวลาในการพักความเค้นของโมเลกุลสั้นลง ทำให้โมเลกุลตอบสนองไม่ทันต่อความเค้นและความเครียดที่กระทำบนสายโซ่โมเลกุลพอลิเมอร์ค่ามอดูลัสจึงมีค่าเพิ่มขึ้น เมื่อพิจารณาที่ความถี่เดียวกันพบว่าค่ามอดูลัสสั่งสมของเทอร์โมพลาสติกวัลคานิซ์สูตรที่ใส่สารตัดแปร จะมีค่าสูงกว่าเทอร์โมพลาสติก

วัลค่าในช์ที่ไม่ใส่สารดัดแปร (Without modifier) และเมื่อเปรียบเทียบระหว่างวิธีการผสมสารดัดแปรพบว่าการเตรียมเทอร์โมพลาสติกวัลค่าในช์โดยใช้วิธี Melt mixing ให้ค่ามอดุลัสสัมมูลสูงกว่าวิธี Reactive blending เล็กน้อย แสดงให้เห็นการใส่พินอลิกเรซินในขั้นตอนแรกของการเตรียมจะทำให้เกิดแรงยึดเหนี่ยวระหว่างเฟสได้ดีกว่า ทำให้สามารถส่งผ่านแรงดึงระหว่างเฟสได้ดี ทำให้เก็บสะสมพลังงานบนสายโซ่ไม่เสียหายมาก เป็นผลให้มีค่ามอดุลัสสัมมูลมากขึ้น



รูปที่ 4.32 ความสัมพันธ์ระหว่างความหนืดเชิงช้อนกับความถี่ของเทอร์โมพลาสติกวัลค่าในช์จาก การเบلنด์ NR/RR/PEC เมื่อเปรียบเทียบวิธีการผสมสารดัดแปร

จากรูปที่ 4.32 พบว่าความหนืดเชิงช้อนมีค่าลดลงเมื่อความถี่เพิ่มขึ้น ซึ่งสอดคล้องกับค่าความหนืดปรากฏจากการทดสอบสมบัติการไฟล์ในหัวข้อที่ 4.3.4 ซึ่งเป็นสมบัติเฉพาะของการไฟล์แบบซูโดพลาสติก โดยที่เมื่อพอลิเมอร์เบلنด์เกิดการหลอมเนื่องจากความร้อนและความถี่เพิ่มสูงขึ้น จะทำให้ไม่เกิดข้อดีของพอลิเมอร์หลอมเกิดการจัดเรียงตัวใหม่ ทำให้ไม่เกิดความสามารถเคลื่อนผ่านกันได้ง่ายขึ้น ส่งผลให้การต่อต้านการไฟล์ (ความหนืดเชิงช้อน) ลดลงตามความถี่ และเมื่อพิจารณาค่าความหนืดเชิงช้อนที่ความถี่เดียวกันพบว่าเทอร์โมพลาสติกวัลค่าในช์ที่เตรียมโดยวิธีการผสมสารดัดแปรแบบ Melt mixing จะให้ค่าความหนืดเชิงช้อนสูงที่สุด รองลงมาคือเทอร์โมพลาสติกวัลค่าในช์ที่เตรียมโดยวิธีการผสมสารดัดแปรแบบ Reactive blending และ Without modifier ตามลำดับ เนื่องจากการใส่พินอลิกเรซินในขั้นตอนการเตรียมยังคงเป็นขั้นตอนแรกทำให้พินอลิกเรซินมีเวลาและโอกาสในการเกิดปฏิกิริยา กับเฟสต่างๆ มากกว่าวิธีการเตรียมแบบ Reactive blending ส่งผลให้ต้องใช้แรงเฉือนสูงขึ้นในการทำให้ไม่เกิดการเคลื่อนไหว เป็นผลให้การใช้วิธีการผสมสารดัดแปรแบบ Melt mixing มีค่าความหนืดเชิงช้อนสูงที่สุด



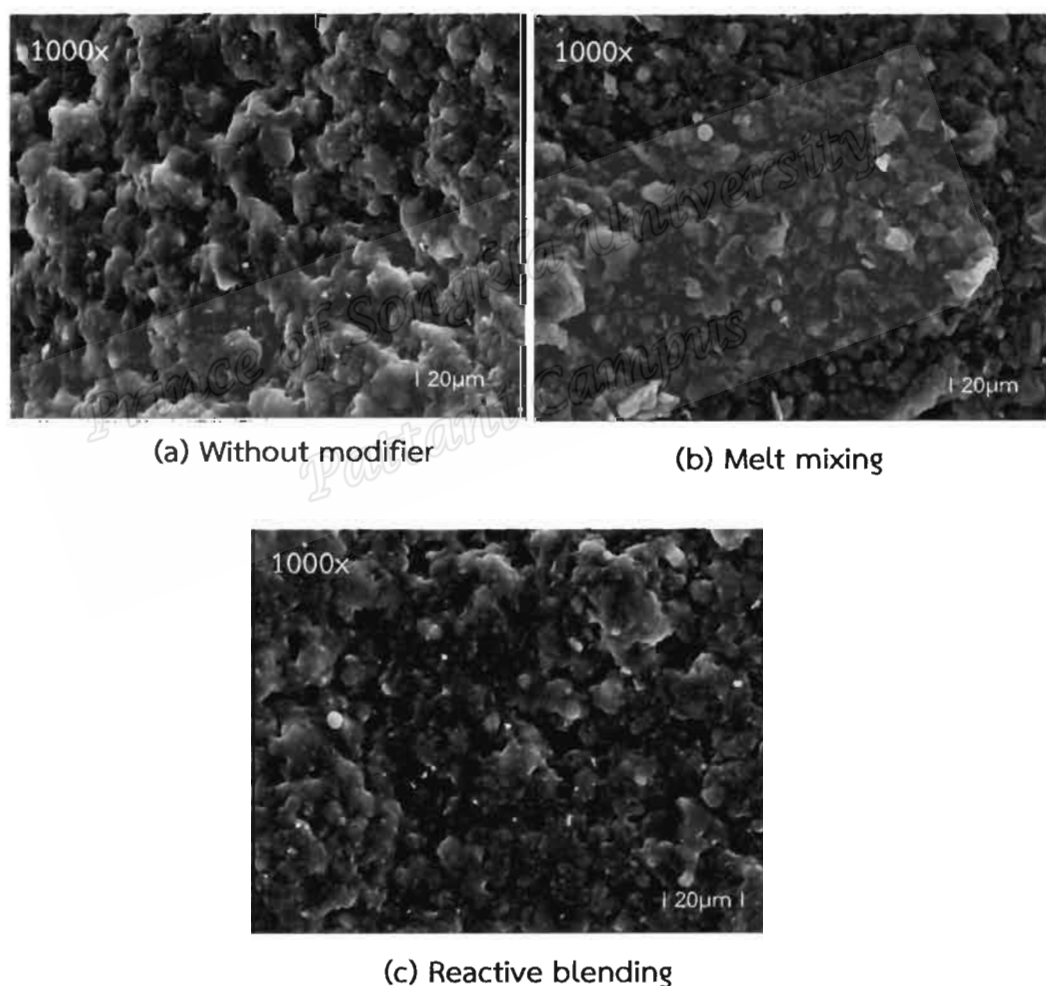
รูปที่ 4.33 ความสัมพันธ์ระหว่าง  $\tan \delta$  กับความถี่ของเทอร์โมพลาสติกวัลค่าในซึ่งจากการเบลนด์ NR/RR/PEC เมื่อประวิธิการผสมสารดัดแปร

จากรูปที่ 4.33 แสดงความสัมพันธ์ระหว่างค่า  $\tan \delta$  กับความถี่ ซึ่งค่า  $\tan \delta$  เป็นสัดส่วนระหว่างมอดุลัสสูญเสียต่อมอดุลัส静态 โดยที่ค่า  $\tan \delta$  เป็นค่าที่บ่งบอกถึงความเป็นอิเล็กทริกของพอลิเมอร์ กล่าวคือถ้า  $\tan \delta$  มีค่าต่ำแสดงว่าสัดมูส์มบตติอิเล็กสูงสามารถผ่อนคลายความเค้นจากแรงกระทำได้ดี โดยจะพบว่าค่า  $\tan \delta$  มีค่าลดลงอย่างเห็นได้ชัดในเทอร์โมพลาสติกวัลค่าในซึ่งที่ใส่สารดัดแปร กล่าวคือเมื่อใช้พินอลิกเรซินจะทำให้วัสดุสามารถตอบสนองกลับได้ดี มีสมบตติอิเล็กทริกปรับปรุงดีขึ้น ซึ่งแสดงให้เห็นว่าปฏิกิริยาที่เกิดขึ้นจากพินอลิกเรซินซึ่งแสดงในรูปที่ 4.20 และ 4.21 ช่วยให้เทอร์โมพลาสติกวัลค่าในซึ่งมีความสามารถในการผ่อนคลายความเครียดเนื่องจากการได้รับแรงกระทำในโมเลกุลได้ดี จึงทำให้มีค่า  $\tan \delta$  ต่ำ จากนั้นเมื่อเปรียบเทียบระหว่างการประวิธิการผสมสารดัดแปร 2 วิธี พบร่วมว่าเทอร์โมพลาสติกวัลค่าในซึ่งที่เตรียมโดยการผสมสารดัดแปรด้วยวิธี Melt mixing มีค่า  $\tan \delta$  ต่ำกว่าการผสมสารดัดแปรด้วยวิธี Reactive blending อย่างเห็นได้ชัด เนื่องจากการใส่พินอลิกเรซินในขั้นตอนการเตรียมที่แตกต่างกันซึ่งได้อธิบายไปแล้วก่อนหน้านี้ ในหัวข้อที่ 4.3.2 กล่าวคือการผสมสารดัดแปรด้วยวิธี Melt mixing จะบดผงพินอลิกเรซินกับยางรีเคลมก่อน เพื่อให้พินอลิกเรซินอยู่ในเฟสของยางรีเคลมก่อนที่จะเกิดปฏิกิริยา กับยางธรรมชาติและโพร์พลีนเอทธิลีนโคพอลิเมอร์ ต่อไปในขั้นตอนของการเตรียมคอมพาวน์และการเตรียมเทอร์โมพลาสติกวัลค่าในซึ่ง โดยจะเห็นว่าวิธิการเตรียมแบบ Melt mixing มีเวลาสำหรับให้พินอลิกเรซินเกิดการกระจายตัวและเกิดปฏิกิริยา กับเฟสอื่นๆ มากกว่าการใช้การผสมสารดัดแปรด้วยวิธี Reactive

blending จึงส่งผลให้การผสมสารดัดแปลงด้วยวิธี Melt mixing สามารถเพิ่มความเข้ากันได้ระหว่าง เพสได้มากกว่าวิธี Reactive blending

#### 4.3.6 การศึกษาอิทธิพลของวิธีการผสมสารดัดแปลงต่อสัณฐานวิทยาของเทอร์โมพลาสติก วัลค่าในช่วงการเบلنต์ระหว่าง NR/RR/PEC

นำเทอร์โมพลาสติกวัลค่าในช่วงการเบلنต์ระหว่าง NR/RR/PEC ที่ประวิธีการผสมสารดัดแปลงต่างๆ มาศึกษาสัณฐานวิทยา ตามวิธีการทดลองในหัวข้อที่ 3.8.7 ได้ผลการทดลองแสดงดังรูปที่ 4.34



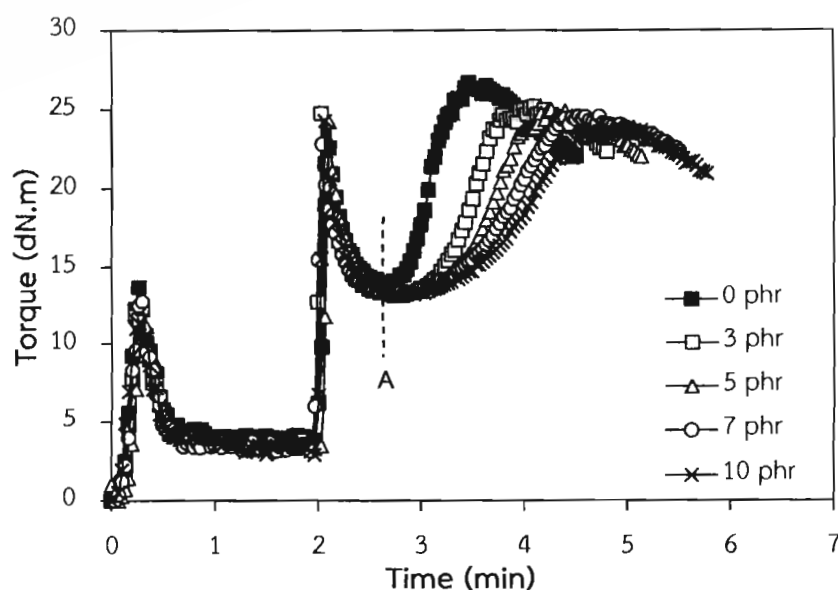
รูปที่ 4.34 ลักษณะสัณฐานวิทยาของเทอร์โมพลาสติกวัลค่าในช่วงการเบلنต์ NR/RR/PEC เมื่อ ประวิธีการผสมสารดัดแปลง

จากรูปที่ 4.34 พบว่าเมื่อใช้วิธีการผสมสารดัดแปรที่แตกต่างกันจะให้ลักษณะทางสัณฐานวิทยาที่แตกต่างกันด้วย โดยสัณฐานวิทยาของเทอร์โมพลาสติกวัลคานิซที่ไม่ใช้สารดัดแปร และเทอร์โมพลาสติกวัลคานิซที่เตรียมโดยวิธี Reactive blending มีลักษณะของพื้นผิวที่หยาบและขรุขระ (Roughness) กว่าเทอร์โมพลาสติกวัลคานิซที่มีการผสมสารดัดแปรด้วยวิธี Melt mixing อย่างเห็นได้ชัด ความละเอียดของสัณฐานวิทยาที่ปรับปรุงดีขึ้นแสดงให้เห็นถึงผลของการปรับปรุงความเข้ากันได้ระหว่างเพสยางทั้ง 2 ชนิด และระหว่างเพสยางกับพลาสติกเกิดขึ้น (Lee et al., 2007)

#### 4.4 การศึกษาอิทธิพลของปริมาณสารดัดแปรต่อสมบัติเทอร์โมพลาสติกวัลคานิซจากการเบلنด์ระหว่างยางธรรมชาติ ยางรีเคลม และโพรพลีนเอทธิลีนโคโพลิเมอร์ (NR/RR/PEC TPVs)

เตรียมเทอร์โมพลาสติกวัลคานิซจากการเบلنด์ยางธรรมชาติ ยางรีเคลม และโพรพลีนเอทธิลีนโคโพลิเมอร์ที่อัตราส่วน 30/30/40 ส่วนโดยน้ำหนัก ตามวิธีการทดลองในหัวข้อที่ 3.3.4 ศึกษาผลของปริมาณสารดัดแปรชนิดพินอลิกเรซิน ที่ปริมาณ 0, 3, 5, 7 และ 10 phr โดยใช้วิธีการผสมสารดัดแปรแบบ Melt mixing method

##### 4.4.1 การศึกษาอิทธิพลของปริมาณสารดัดแปรต่อพฤติกรรมการผสมในการเตรียมเทอร์โมพลาสติกวัลคานิซจากการเบلنด์ NR/RR/PEC

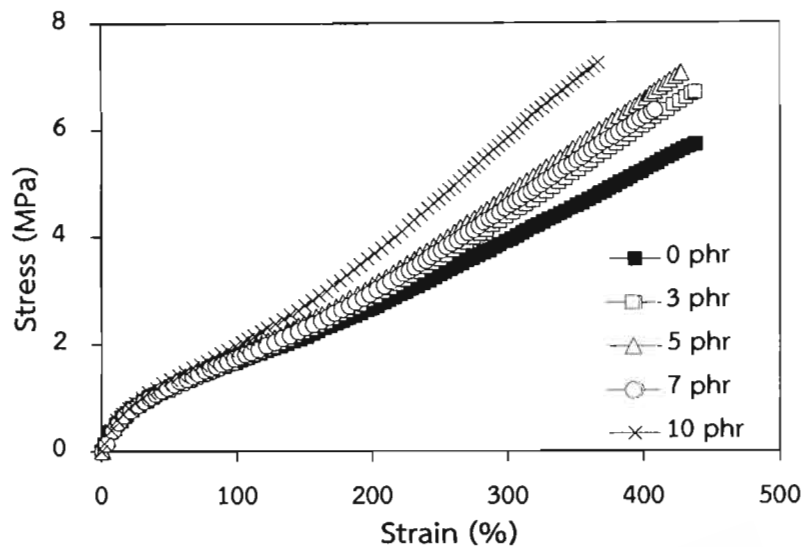


รูปที่ 4.35 ความสัมพันธ์ระหว่างค่าทอร์กกับเวลาการผสมของเทอร์โมพลาสติกวัลคานิซจากการเบلنด์ NR/RR/PEC เมื่อปริมาณพินอลิกเรซิน

จากรูปที่ 4.35 สามารถอธิบายลักษณะการเพิ่มขึ้นของค่าทอร์กได้เช่นเดียวกับรูปที่ 4.15 กล่าวคือ ค่าทอร์กจะเพิ่มขึ้นเมื่อไพรพิลีนเอทิลีนโคโพลิเมอร์ เนื่องจากไพรพิลีนเอทิลีนโคโพลิเมอร์ เป็นของแข็งทำให้เกิดการต้านการหมุนของโรเตอร์สูง จากนั้นค่าทอร์กจะลดลงเนื่องจากไพรพิลีน เอทิลีนโคโพลิเมอร์เกิดการหลอม จากนั้นไส่ายางคอมพาวน์ที่เวลา 2 นาที จะพบว่าค่าทอร์กจะ เพิ่มขึ้นอย่างรวดเร็ว เนื่องจากยางคอมพาวน์มีความหนืดสูง และค่าทอร์กจะค่อยๆลดลงเมื่อยาง ได้รับความร้อนและแรงเฉือนจากการบดผสมจนยางนิ่มลง จากนั้นค่าทอร์กจะเพิ่มขึ้นอีกครั้งเมื่อเกิด การเชื่อมขวางภายในเพสยางหรือการเกิดการวัลภาชนะซึ่งเป็นการเปลี่ยนแบบใหม่ตามิกซ์ จะเห็นได้ว่าระยะเวลา การเกิดการวัลภาชนะซึ่งเป็นการเปลี่ยนแบบใหม่ตามิกซ์จากจุดที่ค่าทอร์กเริ่มเพิ่มขึ้น (จุด A ในรูปที่ 4.35) จนถึงจุดที่มี ค่าทอร์กสูงสุดจะใช้ระยะเวลานานขึ้นตามปริมาณของพินอลิกเรชินที่เพิ่มขึ้น และยังพบว่าค่าสูงสุด ของทอร์กการผสมในช่วงการเกิดการวัลภาชนะซึ่งเป็นการเปลี่ยนแบบใหม่ตามิกซ์จะมีความสูงลดลงตามปริมาณพินอลิก เรชินที่เพิ่มขึ้น

#### 4.4.2 การศึกษาอิทธิพลของปริมาณสารดัดแปรต่อสมบัติเชิงกลของเทอร์โมพลาสติกวัลภาชนะจากการเบلن์ระหว่าง NR/RR/PEC

อิทธิพลของปริมาณพินอลิกเรชินต่อพฤติกรรมการผิดรูปภายใต้แรงเค้นของเทอร์โม พลาสติกวัลภาชนะจากการเบلن์ระหว่าง NR/RR/PEC แสดงดังรูปที่ 4.36 พบร้าค่าความแข็งตึง (Stiffness) หรือมอดุลัสซึ่งดูได้จากความชันของกราฟจะมีแนวโน้มเพิ่มขึ้นตามปริมาณพินอลิกเรชินที่ เพิ่มขึ้น แสดงให้เห็นว่าเมื่อปริมาณพินอลิกเรชินเพิ่มขึ้นจะมีแนวโน้มทำให้ความแข็งตึงในเทอร์โม พลาสติกวัลภาชนะเพิ่มขึ้น ในขณะที่ทำให้ความสามารถในการยึดจันขาดมีค่าลดลงเล็กน้อย ซึ่งเป็นผล มาจากความหนาแน่นของพันธะเชื่อมขวางที่เพิ่มสูงขึ้นตามปริมาณพินอลิกเรชินที่ใช้ กล่าวคือเมื่อ ปริมาณของพันธะเชื่อมขวางเพิ่มขึ้นมอดุลัสของยางจะเพิ่มขึ้น ในขณะที่ระยะยึดจันขาดของยางจะ ลดลง (บุญธรรม และคณะ, 2555) ประกอบกับพินอลิกเรชินสามารถเกิดปฏิกิริยาระหว่างเพสของ ยางรีเคลมและเพสของยางธรรมชาติตั้งแต่แสดงในรูปที่ 4.20 ซึ่งจะช่วยเพิ่มความเข้ากันได้ระหว่างเพส ของยาง รวมถึงช่วยให้เกิดการกระจายตัวและมีแรงยึดเหนี่ยวระหว่างเพส (Interfacial adhesion) กับไพรพิลีนเอทิลีนโคโพลิเมอร์ได้ดี เนื่องจากพินอลิกเรชินสามารถเกิดปฏิกิริยา กับไพรพิลีนเอทิลีน โคโพลิเมอร์ได้ด้วย ปฏิกิริยาที่เป็นไปได้แสดงดังรูปที่ 4.21 และจากจุดขาดของกราฟความสัมพันธ์ ระหว่างความเค้นและความเครียด สามารถนำมาคำนวณหาค่าความต้านทานต่อแรงดึง และ ความสามารถในการยึดจันขาดของเทอร์โมพลาสติกวัลภาชนะซึ่งได้ผลแสดงดังตารางที่ 4.9 รวมถึงยัง แสดงผลการทดสอบสมบัติด้านความแข็งและการผิดรูปถ้าการแบบตึงของเทอร์โมพลาสติกวัลภาชนะซึ่ง ด้วย

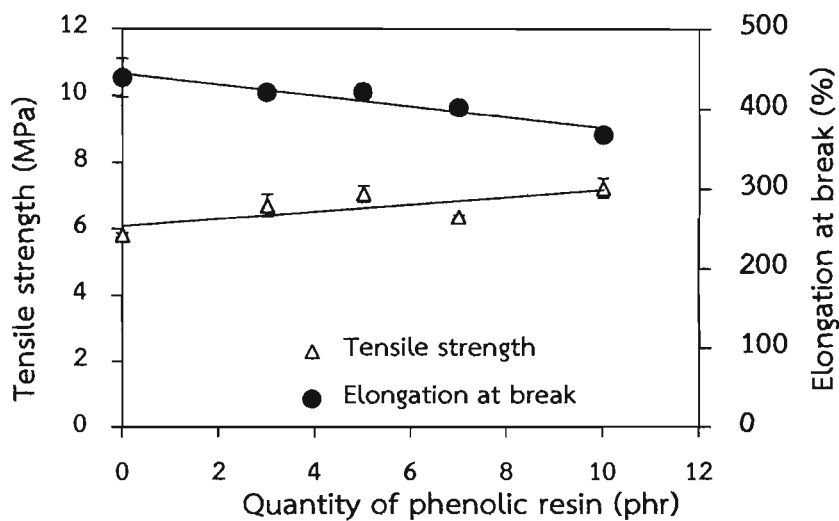


รูปที่ 4.36 ความสัมพันธ์ระหว่างความเค้นกับความเครียดของเทอร์โมพลาสติกวัลคานิซจากการเบلنด์ NR/RR/PEC เมื่อปรับปริมาณฟินอลิกเรซิน

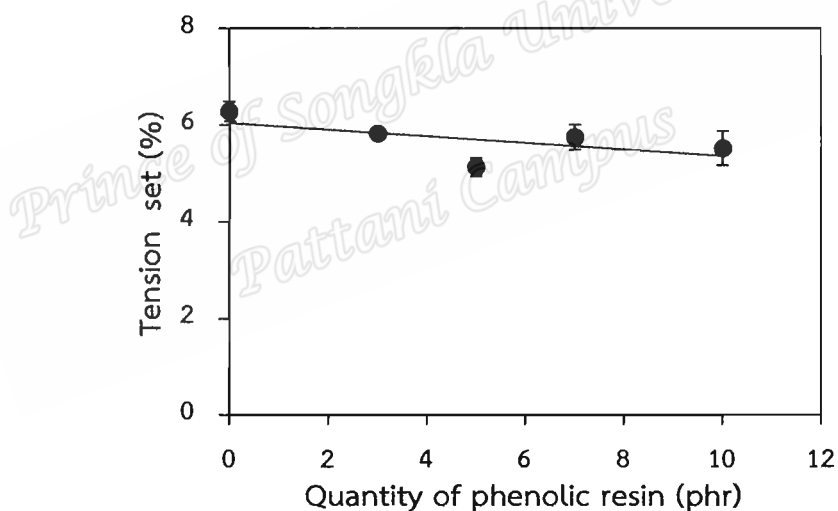
ตารางที่ 4.9 สมบัติเชิงกลของเทอร์โมพลาสติกวัลคานิซจากการเบلنด์ NR/RR/PEC เมื่อปรับปริมาณฟินอลิกเรซิน

Quantity of phenolic resin	Tensile strength (MPa)	Elongation at break (%)	Tension set (%)	Hardness (shore A)
0 phr	5.81±0.06	439±24.64	6.28±0.21	52
3 phr	6.71±0.33	421±25.49	5.82±0.10	55
5 phr	7.06±0.24	422±8.87	5.13±0.19	55
7 phr	6.37±0.05	402±10.79	5.75±0.26	56
10 phr	7.23±0.29	368±13.74	5.52±0.35	57

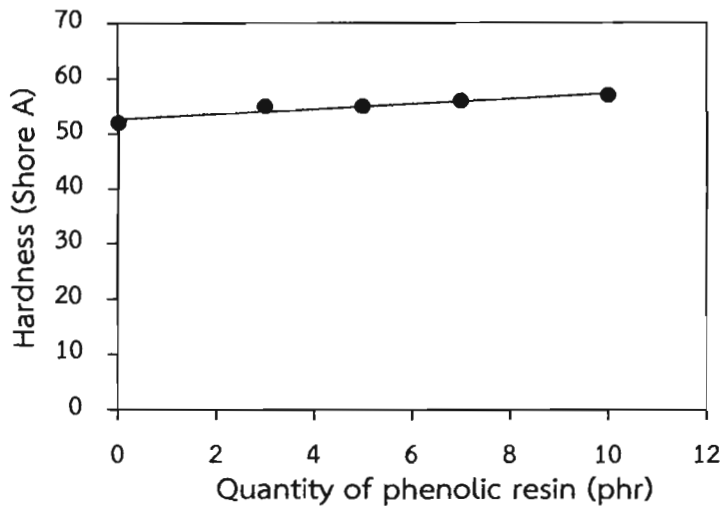
จากตารางที่ 4.9 สามารถเขียนกราฟเปรียบเทียบความต้านทานต่อแรงดึง ความสามารถในการยึดจันหาด ค่าความสามารถในการคืนรูป และค่าความแข็งของเทอร์โมพลาสติกวัลคานิซ เมื่อปรับปริมาณฟินอลิกเรซิน ดังรูปที่ 4.37, 4.38 และ 4.39 ตามลำดับ



รูปที่ 4.37 ความต้านทานต่อแรงดึงและความสามารถในการยืดจันขาดของเทอร์โมพลาสติกวัลคaineซจากการเบلنด์ NR/RR/PEC เมื่อแปรปริมาณพินอลิกเรซิน



รูปที่ 4.38 การผิดรูปถาวรแบบดึงของเทอร์โมพลาสติกวัลคaineซจากการเบلنด์ NR/RR/PEC เมื่อแปรปริมาณพินอลิกเรซิน



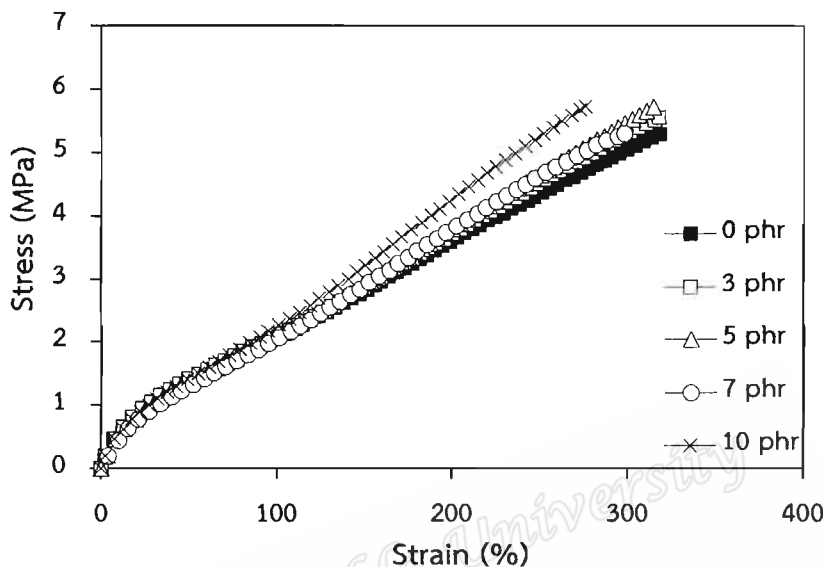
รูปที่ 4.39 ความแข็งของเทอร์โมพลาสติกวัลค่าในซีจากการเบلنด์ NR/RR/PEC เมื่อปริมาณฟินอลิกเรซิน

จากรูปที่ 4.37-4.39 พบร่วมกันว่าความต้านทานต่อแรงดึงและความแข็งของเทอร์โมพลาสติกวัลค่าในซีมีแนวโน้มเพิ่มขึ้นตามปริมาณฟินอลิกเรซินที่เพิ่มขึ้น ในขณะที่ความสามารถในการยืดจุ้น ขาด และค่าการผิดรูปถาวรแบบดึงมีแนวโน้มลดลง โดยที่ปริมาณฟินอลิกเรซิน 10 phr จะให้ค่าความต้านทานต่อแรงดึง และความแข็งสูงที่สุด เนื่องจากการใช้ฟินอลิกเรซินจะช่วยเพิ่มความเข้ากันได้ที่ผิวประจัญ ทำให้เกิดแรงยึดเหนี่ยวเพิ่มขึ้น นอกจากนี้ปริมาณฟินอลิกเรซินที่มากบางส่วนยังสามารถทำหน้าที่เป็นสารวัลค่าในซีทำให้ความหนาแน่นของพันธะเชื่อมระหว่างโมเลกุลยางให้มากขึ้น รวมถึงที่อุณหภูมิห้องฟินอลิกเรซินเป็นของแข็งประจำ จึงช่วยเสริมความแข็งของเทอร์โมพลาสติกวัลค่าในซีให้เพิ่มขึ้นด้วย และมีงานวิจัยของ Wu *et al.* (1997) และ Hirano *et al.* (2013) ที่ระบุว่าการใช้ฟินอลิกเรซินจะช่วยปรับปรุงความแข็งแรงของพอลิเมอร์เบلنด์ ดังนั้นสมบัติความต้านทานต่อแรงดึง และความแข็งของเทอร์โมพลาสติกวัลค่าในซีจึงเพิ่มขึ้น เมื่อความแข็งแรงของสายโซ่โมเลกุลเพิ่มขึ้น จึงส่งผลให้ความสามารถในการยืดจุ้นขาดมีแนวโน้มลดลง และจากรูปที่ 4.38 ที่พบร่วมกันว่าการผิดรูปถาวรแบบดึงของเทอร์โมพลาสติกวัลค่าในซีมีแนวโน้มลดลงอย่างต่อเนื่องตามปริมาณของฟินอลิกเรซินที่ใช้แสดงให้เห็นว่าการใช้ฟินอลิกเรซินช่วยในการเกิดการเชื่อมประสานระหว่างเฟสยางรีเคลมกับยางธรรมชาติ และเฟสยางกับเฟสพลาสติกได้ดี ส่งผลให้มีแรงยึดเหนี่ยวระหว่างเฟสเพิ่มขึ้น

#### 4.4.3 การศึกษาอิทธิพลของปริมาณสารดัดแปลงต่อสมบัติเชิงกลภายหลังบ่มเร่งของเทอร์โมพลาสติกวัลค่าในซีจากการเบلنด์ระหว่าง NR/RR/PEC

เตรียมเทอร์โมพลาสติกวัลค่าในซีจากการเบلنด์ระหว่าง NR/RR/PEC โดยแปรฟินอลิกเรซินที่ปริมาณต่างๆ จากนั้นนำมาทดสอบความต้านทานต่อการบ่มเร่งที่อุณหภูมิ 100°C เป็นเวลา

22 ชั่วโมง เมื่อครบเวลานำตัวอย่างออกพักทิ้งไว้ที่อุณหภูมิห้องอย่างน้อย 16 ชั่วโมง ก่อนนำไปทดสอบความต้านทานต่อแรงดึง และความสามารถในการยึดจันชาด ได้ผลการทดลองแสดงดังรูปที่ 4.40



รูปที่ 4.40 ความสัมพันธ์ระหว่างความเค้นกับความเครียดภายหลังบ่มเร่งของเทอร์โมพลาสติกวัลค่าในซีจากการเบลนด์ NR/RR/PEC เมื่อปรับปรุงพินอลิกเรชิน

จากรูปที่ 4.40 แสดงพฤติกรรมการผิดรูปภายใต้แรงเค้นภายหลังบ่มเร่งของเทอร์โมพลาสติกวัลค่าในซีเมื่อปรับพินอลิกเรชินที่ปริมาณต่างๆ พบว่าพฤติกรรมการผิดรูปของเทอร์โมพลาสติกวัลค่าในซีก่อนและหลังบ่มเร่งไม่แตกต่างกัน กล่าวคือความแข็งตึงจะมีแนวโน้มเพิ่มขึ้นตามปริมาณพินอลิกเรชินที่เพิ่มขึ้น โดยจากจุดขาดของกราฟความสัมพันธ์ระหว่างความเค้นและความเครียด สามารถนำมารวบหาน้ำหนาค่าความต้านทานต่อแรงดึง และความสามารถในการยึดจันชาด ของเทอร์โมพลาสติกวัลค่าในซี ได้ผลแสดงดังตารางที่ 4.10 และ 4.11 นอกจากค่าความความต้านทานต่อแรงดึง และค่าความสามารถในการยึดจันชาดที่คำนวณได้แล้ว สามารถนำมาคำนวณเปอร์เซ็นต์การเปลี่ยนแปลงของสมบัติด้วย

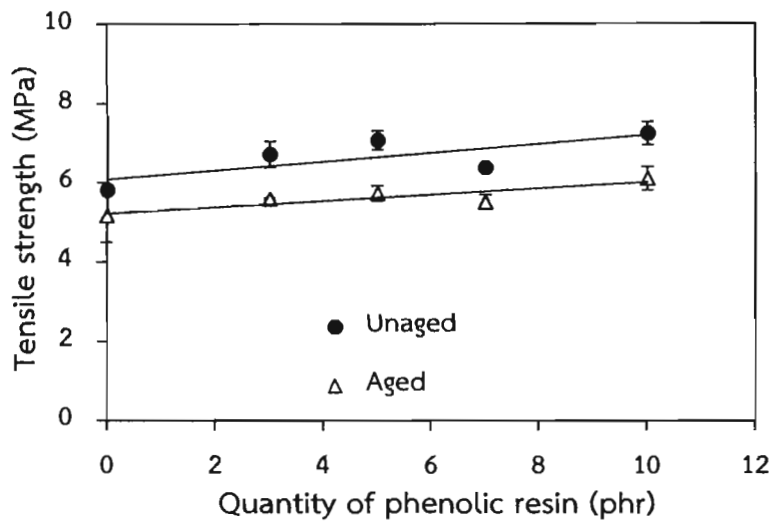
ตารางที่ 4.10 ความต้านทานต่อแรงดึงภายในห้องบ่มเร่งของเทอร์โมพลาสติกวัลคานีซจากการเบلنด์ NR/RR/PEC เมื่อปรับปรุงพินอลิกเรซิน

Quantity of phenolic resin	Tensile strength (MPa)		Change in property of tensile strength (%)
	Unaged	Aged	
0 phr	5.81±0.06	5.16±0.67	-11.19
3 phr	6.71±0.33	5.58±0.03	-16.84
5 phr	7.06±0.24	5.72±0.19	-18.98
7 phr	6.37±0.05	5.50±0.18	-13.66
10 phr	7.23±0.29	6.09±0.30	-15.77

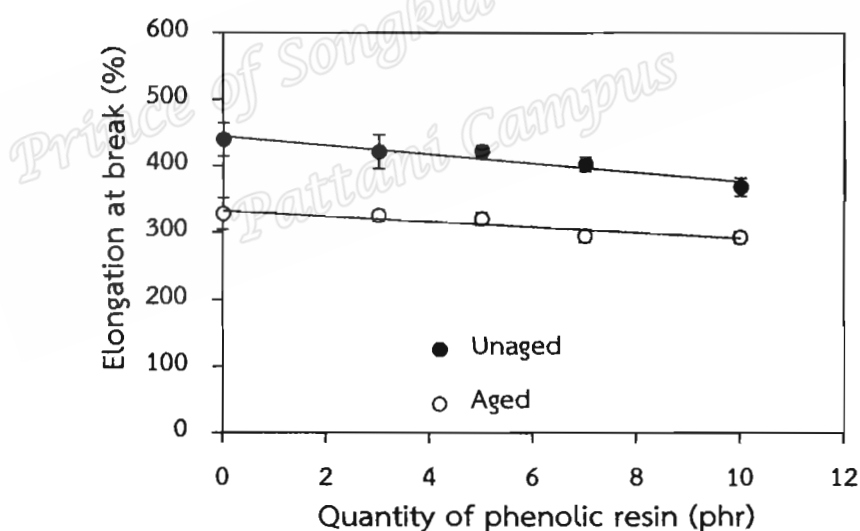
ตารางที่ 4.11 ความสามารถในการยึดจันขาดห้องบ่มเร่งของเทอร์โมพลาสติกวัลคานีซจากการเบلنด์ NR/RR/PEC เมื่อปรับปรุงพินอลิกเรซิน

Quantity of phenolic resin	Elongation at break (%)		Change in property of elongation at break (%)
	Unaged	Aged	
0 phr	439±24.64	328±24.08	-25.28
3 phr	421±25.49	325±8.10	-22.80
5 phr	422±8.87	320±9.50	-24.17
7 phr	402±10.79	294±9.42	-26.87
10 phr	368±13.74	292±8.59	-20.65

จากตารางที่ 4.10 และ 4.11 สามารถเขียนกราฟเปรียบเทียบค่าความต้านทานต่อแรงดึง และค่าความสามารถในการยึดจันขาดก่อนและหลังบ่มเร่งของเทอร์โมพลาสติกวัลคานีซ เมื่อปรับปรุงพินอลิกเรซิน แสดงดังรูปที่ 4.41 และ 4.42 รวมถึงแสดงกราฟเปรียบเทียบเปอร์เซ็นต์การเปลี่ยนแปลงสมบัติภายในห้องบ่มเร่งในรูปที่ 4.43



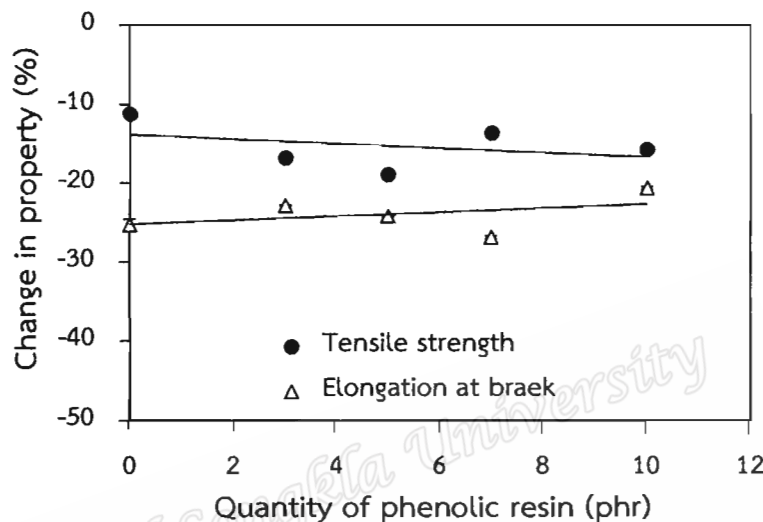
รูปที่ 4.41 ความต้านทานต่อแรงดึงก่อนและหลังบ่มเร่งของเทอร์โมพลาสติกวัลคานีซจากการเบلنด์ NR/RR/PEC เมื่อปรับปริมาณฟินอลิกเรชิน



รูปที่ 4.42 ความสามารถในการยืดจนขาดก่อนและหลังบ่มเร่งของเทอร์โมพลาสติกวัลคานีซจากการเบلنด์ NR/RR/PEC เมื่อปรับปริมาณฟินอลิกเรชิน

จากรูปที่ 4.41 และ 4.42 พบร้าค่าความต้านทานต่อแรงดึงและความสามารถในการยืดจนขาดหลังบ่มเร่งของเทอร์โมพลาสติกวัลคานีซที่ทุกปริมาณของฟินอลิกเรชินมีค่าต่ำกว่าก่อนบ่มเร่ง เนื่องจากเพสยางวัลคานีซด้วยระบบกำมะถันแบบปกติซึ่งมีพันธะเชื่อมขวางแบบพอลิชลีฟิดิก เป็นส่วนใหญ่ที่สามารถเกิดการแตกได้ง่ายเมื่อได้รับความร้อน และเพสยางเกิดการเสื่อมจากการถูก

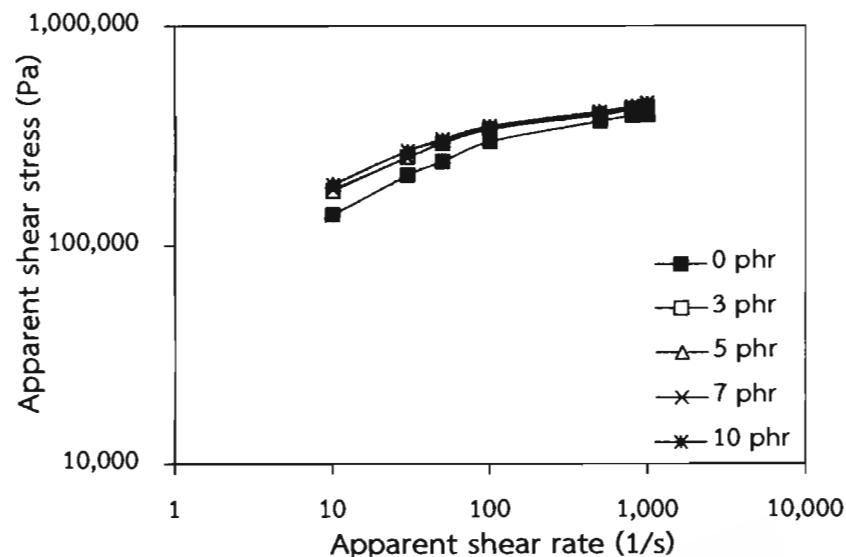
ออกซิไดซ์ (พรพรณ, 2540) นอกจากนี้ยังพบว่าค่าความต้านต่อแรงดึง และความสามารถในการยึดจันขาดภายในหางบ่มเร่งให้แนวโน้มการเปลี่ยนแปลงตามปริมาณพินอลิกเรซินเข่นเดียวกับก่อนบ่มเร่งกล่าวคือ ความต้านต่อแรงดึงมีแนวโน้มเพิ่มขึ้นตามปริมาณพินอลิกเรซินที่เพิ่มขึ้น ในขณะที่ความสามารถในการยึดจันขาดมีแนวโน้มลดลง



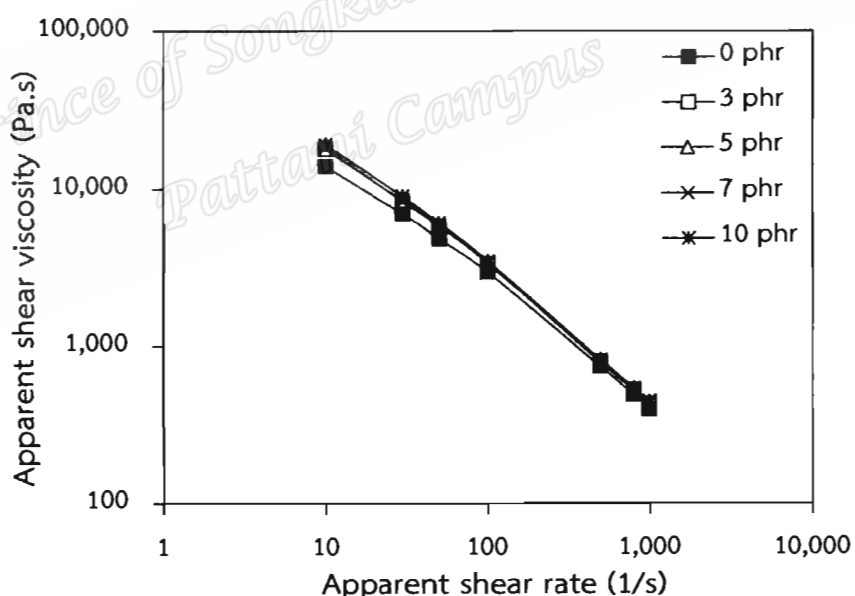
รูปที่ 4.43 เปอร์เซ็นต์การเปลี่ยนแปลงของสมบัติความต้านต่อแรงดึงและความสามารถในการยึดจันขาดภายในหางบ่มเร่งของเทอร์โมพลาสติกวัลคานิซจากการเบلنด์ NR/RR/PEC เมื่อแปรปริมาณพินอลิกเรซิน

#### 4.4.4 การศึกษาอิทธิพลของปริมาณสารตัดแปรต่อสมบัติการแหลกของเทอร์โมพลาสติกวัลคานิซจากการเบلنด์ระหว่าง NR/RR/PEC

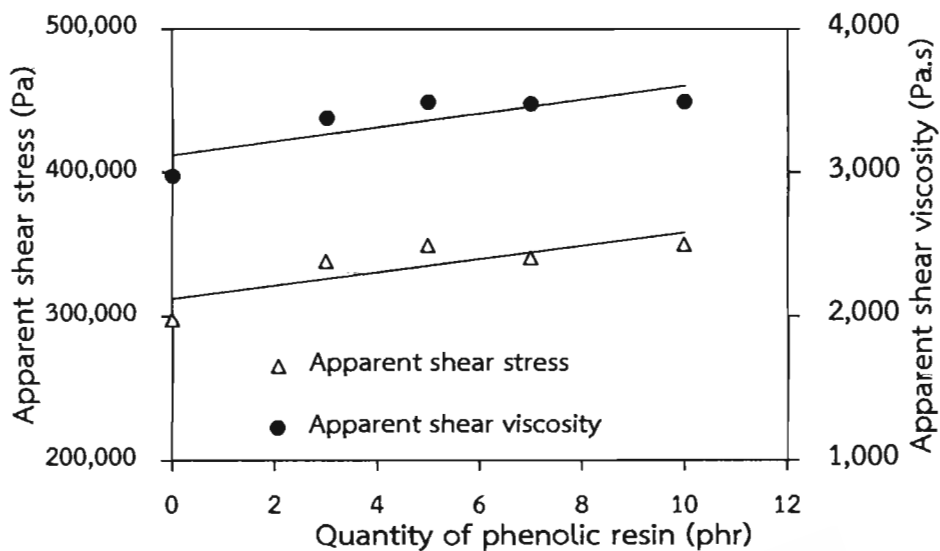
นำเทอร์โมพลาสติกวัลคานิซที่เตรียมได้มาทดสอบสมบัติการแหลกตามวิธีการทดลองในหัวข้อที่ 3.8.5 เปรียบเทียบสมบัติการแหลกของเทอร์โมพลาสติกวัลคานิซ เมื่อแปรพินอลิกเรซินที่ปริมาณ 0, 3, 5, 7, 10 phr ได้ความสัมพันธ์ระหว่างความเค้นเฉือนปราภูกับอัตราเฉือนปราภู และความหนืดเฉือนปราภูกับอัตราเฉือนปราภู ดังแสดงในรูปที่ 4.44 และ 4.45 และสามารถนำมาเขียนกราฟความสัมพันธ์ระหว่างค่าความเค้นเฉือนปราภูและความหนืดเฉือนปราภูที่อัตราเฉือนปราภู 100 1/s กับปริมาณพินอลิกเรซิน ดังแสดงในรูปที่ 4.46



รูปที่ 4.44 ความสัมพันธ์ระหว่างความเค้นเฉือนปรากวกับอัตราเฉือนปรากวของเทอร์โมพลาสติกวัลค้านี้จากการเบلنด์ NR/RR/PEC เมื่อแปรปริมาณพินอลิกเรชิน



รูปที่ 4.45 ความสัมพันธ์ระหว่างความหนืดเฉือนปรากวกับอัตราเฉือนปรากวของเทอร์โมพลาสติกวัลค้านี้จากการเบلنด์ NR/RR/PEC เมื่อแปรปริมาณพินอลิกเรชิน

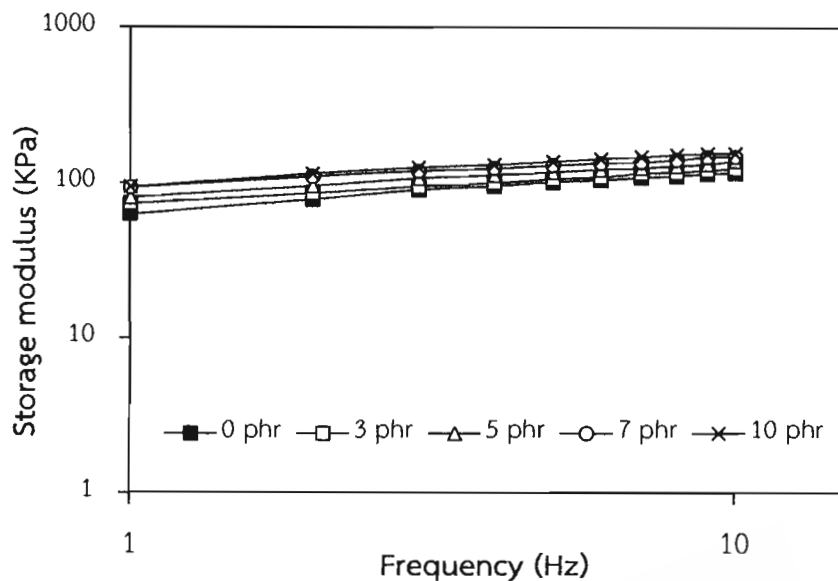


รูปที่ 4.46 ความเค้นเฉือนปราภู และความหนืดเฉือนปราภูที่อัตราเฉือน 100 (1/s) ของเทอร์โมพลาสติกวัลค่าในซึ่งจากการเบلنด์ NR/RR/PEC เมื่อปรับปริมาณฟินอลิกเรชิน

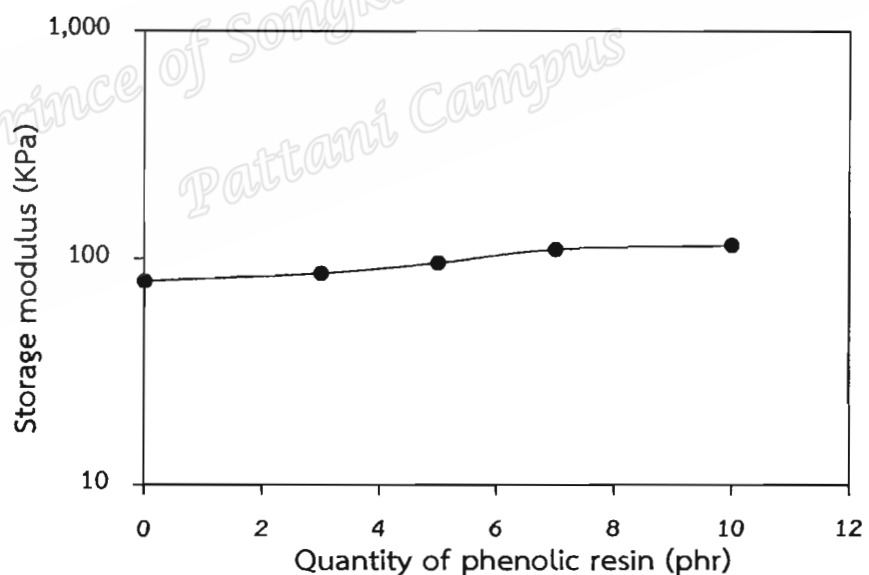
จากรูปที่ 4.44 และ 4.45 พบว่าเทอร์โมพลาสติกวัลค่าในซึ่งมีค่าความเค้นเฉือนปราภูเพิ่มขึ้นตามอัตราเฉือนปราภูที่เพิ่มขึ้น ในขณะที่ค่าความหนืดเฉือนปราภูมีค่าลดลง และเมื่อพิจารณาที่อัตราเฉือนปราภูเดียวกันในรูปที่ 4.46 พบว่าค่าความเค้นเฉือนปราภูและค่าความหนืดเฉือนปราภูของเทอร์โมพลาสติกวัลค่าในซึ่งมีแนวโน้มเพิ่มขึ้นอย่างต่อเนื่องตามปริมาณฟินอลิกเรชินที่เพิ่มขึ้น เนื่องจากฟินอลิกเรชินจะช่วยเพิ่มความเข้ากันได้ระหว่างเฟส โดยสามารถเกิดการเชื่อมประสานภายในเฟสอย่าง และเฟสอย่างกับเฟสพลาสติกได้ ตลอดจนฟินอลิกบางส่วนยังไปทำให้เกิดพันธะเชื่อมระหว่างไมโครเลกุลยางเพิ่มขึ้น ส่งผลให้มีแรงยึดเหนี่ยวระหว่างเฟสต่างๆ เพิ่มมากขึ้น จึงต้องใช้แรงหรือความเค้นมากขึ้นที่อัตราเฉือนเท่าเดิม เพื่อให้วัสดุเกิดการไหล

#### 4.4.5 การศึกษาอิทธิพลของปริมาณสารตัดแปรต่อสมบัติเชิงกลพลวัตของเทอร์โมพลาสติกวัลค่าในซึ่งจากการเบلنด์ระหว่าง NR/RR/PEC

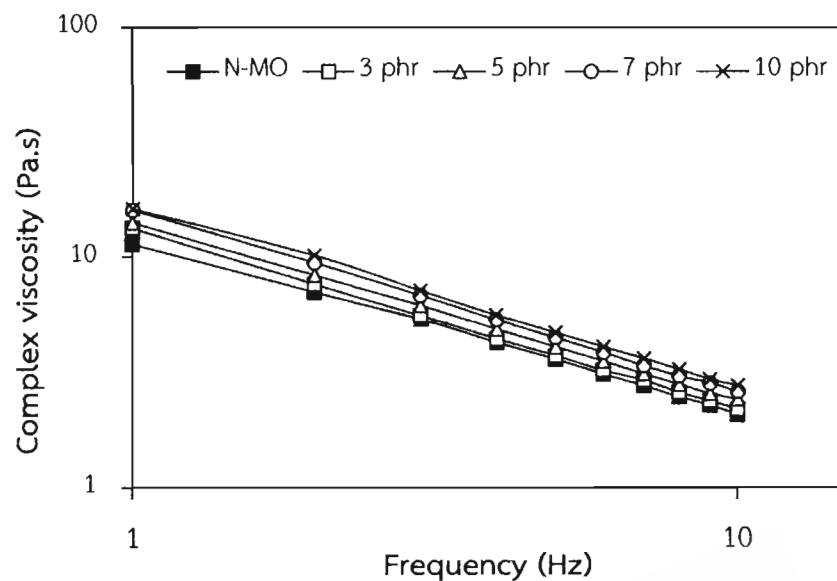
นำเทอร์โมพลาสติกวัลค่าในซึ่งจากการเบلنด์ระหว่าง NR/RR/PEC ที่เตรียมได้มาทดสอบสมบัติเชิงกลพลวัตด้วยเครื่อง MDPT ตามวิธีการทดลองในหัวข้อที่ 3.8.6 เปรียบเทียบสมบัติเชิงกลพลวัตของเทอร์โมพลาสติกวัลค่าในซึ่งเมื่อใช้ฟินอลิกเรชินที่ปริมาณแตกต่างกัน ได้กราฟความสัมพันธ์ระหว่างมอดูลัสสสส ความหนืดเฉิงช้อน และ  $\tan \delta$  กับความถี่ ดังแสดงในรูปที่ 4.47, 4.49 และ 4.50 ตามลำดับ



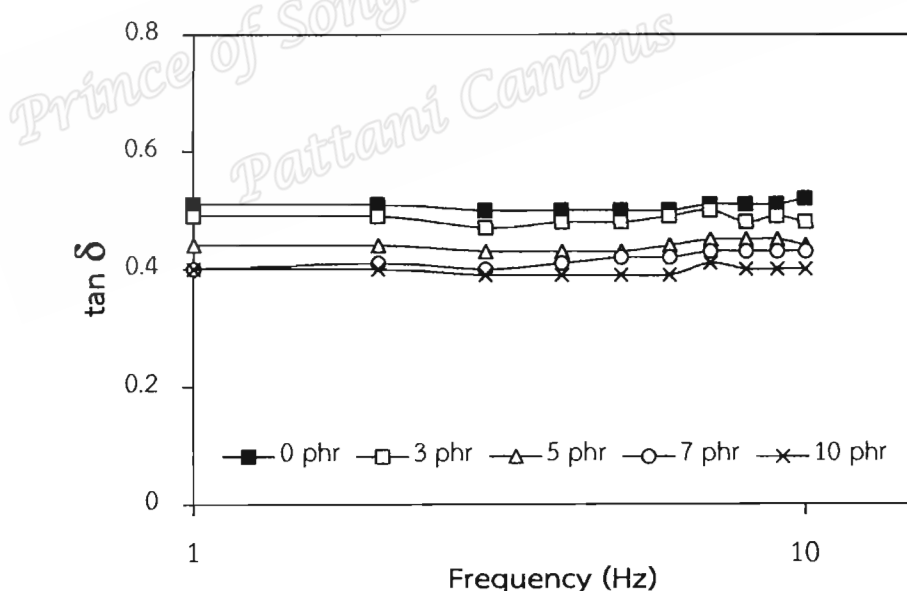
รูปที่ 4.47 ความสัมพันธ์ระหว่างมอดูลัสสีสะท้อนกับความถี่ของเทอร์โมพลาสติกวัลค้าน้ำจากการเบلنด์ NR/RR/PEC เมื่อปริมาณฟินอลิกเรซิน



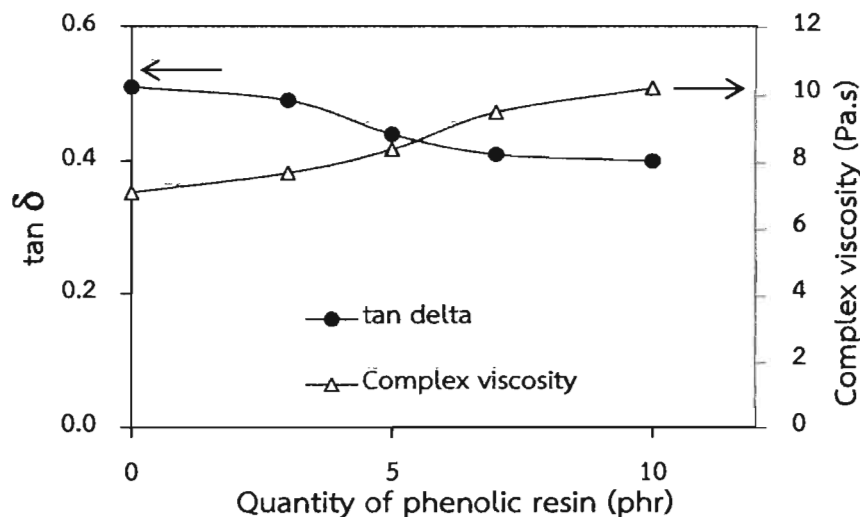
รูปที่ 4.48 มอดูลัสสีสะท้อนที่ความถี่ 2 Hz ของเทอร์โมพลาสติกวัลค้าน้ำจากการเบلنด์ NR/RR/PEC เมื่อปริมาณฟินอลิกเรซิน



รูปที่ 4.49 ความสัมพันธ์ระหว่างความหนืดเชิงซ้อนกับความถี่ของเทอร์โมพลาสติกวัลคaine ซึ่งจากการเบلنด์ NR/RR/PEC เมื่อปรับปริมาณพินอลิกเรชิน



รูปที่ 4.50 ความสัมพันธ์ระหว่าง  $\tan \delta$  กับความถี่ของเทอร์โมพลาสติกวัลคaine ซึ่งจากการเบلنด์ NR/RR/PEC เมื่อปรับปริมาณพินอลิกเรชิน

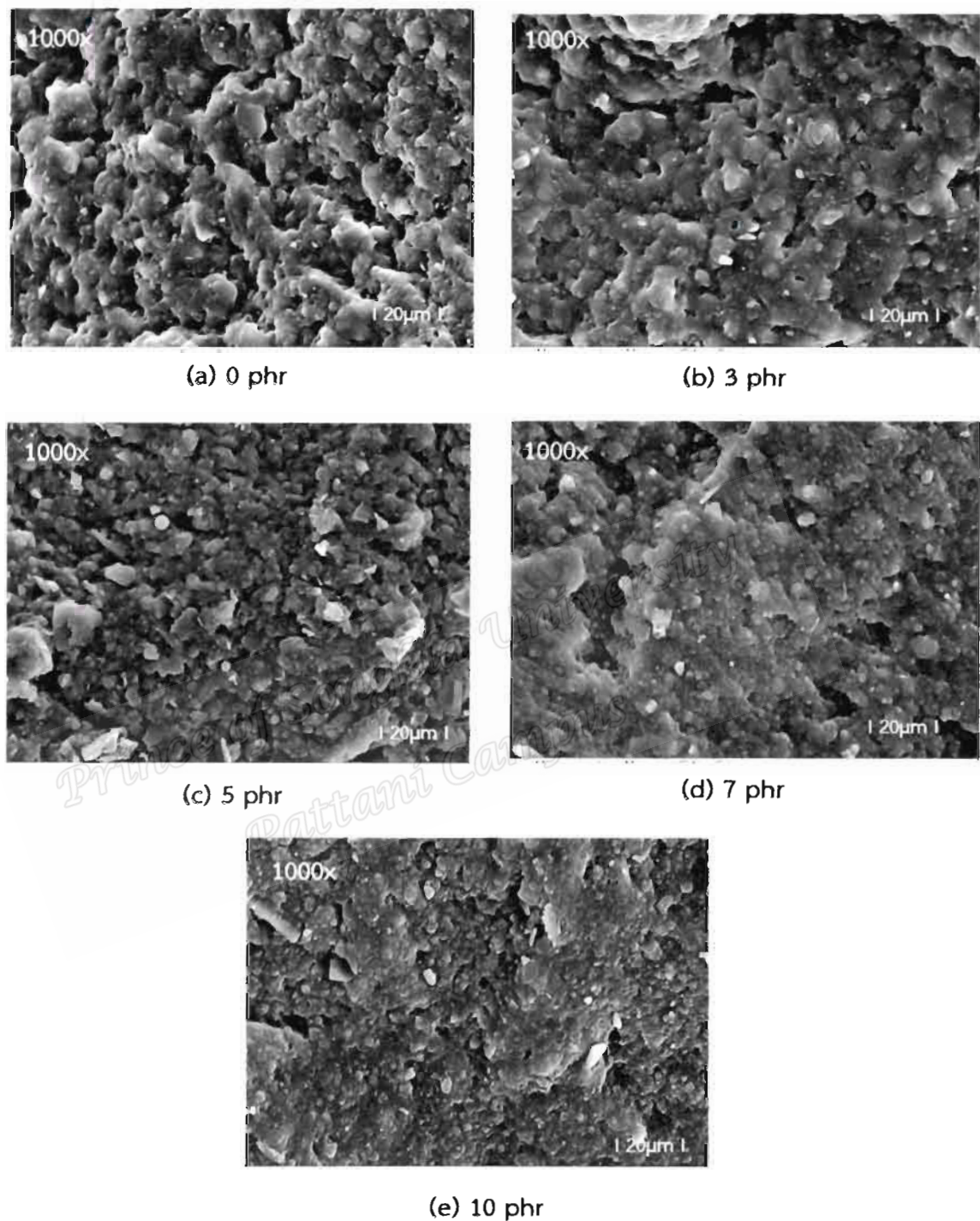


รูปที่ 4.51  $\tan \delta$  และ ค่าความหนืดเชิงซ้อน ที่ความถี่ 2 Hz ของเทอร์โมพลาสติกวัลคาไนซ์จาก การเบلنต์ NR/RR/PEC เมื่อปรับปริมาณพินอลิกเรซิน

ผลการทดสอบสมบัติเชิงพลวัตด้วยเครื่อง MDPT ได้ผลดังรูปที่ 4.47-4.51 ซึ่งพบว่าการเพิ่มปริมาณสารตัดแปรพินอลิกเรซินในเทอร์โมพลาสติกวัลคาไนซ์ส่งผลให้เทอร์โมพลาสติกวัลคาไนซ์แสดงสมบัติเชิงพลวัต โดยมีค่ามอดุลัสสหสม ค่าความหนืดเชิงซ้อน เพิ่มขึ้นอย่างต่อเนื่องตามปริมาณพินอลิกเรซิน ขณะที่ค่า  $\tan \delta$  มีแนวโน้มลดลง ผลการทดสอบสอดคล้องกับการทดสอบสมบัติการไหลด้วยคาร์ปิลารี ในหัวข้อ 4.4.6 ซึ่งอธิบายได้ว่าเทอร์โมพลาสติกวัลคาไนซ์มีความแข็งตึงในโน้กละเพิ่มมากขึ้นจากการเพิ่มพินอลิกเพิ่มเติมมาจากเดิมที่มีเพียงพันธะเชื่อมขวางจากกำมะถัน และการที่พินอลิกเรซินเข้าไปดัดแปลงผิวประจุระหว่างเฟสยางรีเคลมกับยางธรรมชาติ และระหว่างเฟสยางกับเฟสพลาสติก ส่งผลให้เกิดการยึดเหนี่ยวระหว่างผิวประจุดีขึ้น ช่วยปรับปรุงความเข้ากันได้ของเฟสในเทอร์โมพลาสติกวัลคาไนซ์ ดังนั้นที่ความถี่ของการทดสอบให้เกิดการผิดรูปเท่ากัน เทอร์โมพลาสติกวัลคาไนซ์ที่มีการใช้พินอลิกในสูตรจะต้านแรงบิดของโรเตอร์และแหล่งไฟยกขึ้น (Nakason et al., 2006a และ Pichaiyut et al., 2008) ซึ่งปรากฏผลการทดสอบที่เทอร์โมพลาสติกวัลคาไนซ์มีค่ามอดุลัสสหสม ค่าความหนืดเชิงซ้อน เพิ่มขึ้นอย่างต่อเนื่องตามปริมาณพินอลิกเรซิน และเช่นเดียวกันผลของการปรับปรุงเฟสยางและเฟสพลาสติกช่วยให้เทอร์โมพลาสติกวัลคาไนซ์แสดงสมบัติแบบอิเลสติกดีขึ้น ค่า  $\tan \delta$  มีแนวโน้มลดลง

#### 4.4.6 การศึกษาอิทธิพลของปริมาณสารตัดแปรต่อสัณฐานวิทยาของเทอร์โมพลาสติก วัลค่าในซีจักรการเบلنด์ระหว่าง NR/RR/PEC

นำเทอร์โมพลาสติกวัลค่าในซีจักรการเบلنด์ระหว่าง NR/RR/PEC ที่แปรปริมาณสารตัดแปร มาศึกษาสัณฐานวิทยาตามวิธีการทดลองในหัวข้อที่ 3.8.7 ได้ผลการทดลองแสดงดังรูปที่ 4.52 ซึ่งจากรูปที่ 4.52 พบว่าลักษณะสัณฐานวิทยาของเทอร์โมพลาสติกวัลค่าในซีปรากฏอนุภาคของ ยางวัลค่าในซีกระจายตัวอยู่ในเฟสของโพร์พลีนเอทิลีนโคโพลิเมอร์ และเมื่อเปรียบเทียบขนาดของ อนุภาคยางวัลค่าในซีพบว่าเทอร์โมพลาสติกวัลค่าในซีที่มีการใช้พินอลิกเรชินจะให้อนุภาคที่เล็กกว่า และมีความชุรุระของผิวนาน้อยกว่าเทอร์โมพลาสติกวัลค่าในซีที่ไม่ใช้พินอลิกเรชิน (พินอลิกเรชิน 0 phr) โดยขนาดอนุภาคและความชุรุระจะลดน้อยลงตามปริมาณพินอลิกเรชินที่เพิ่มขึ้น ซึ่ง สอดคล้องกับสมบัติเชิงกลและสมบัติเชิงกลพลวัตก่อนหน้านี้ เนื่องจากเมื่อเพิ่มปริมาณพินอลิกเรชิน จะทำให้แรงยึดเหนี่ยวระหว่างเฟสเพิ่มขึ้น และเพ斯ยางมีการวัลค่าในซีสูงขึ้น จึงเกิดความต่างของ ความหนืดระหว่างเพสยางกับเพสพลาสติกมากยิ่งขึ้น ทำให้สัณฐานวิทยาเกิดการเสื่อมลดขนาด อนุภาคยางได้ดีและมีการกระจายได้ดีกว่าเดิม

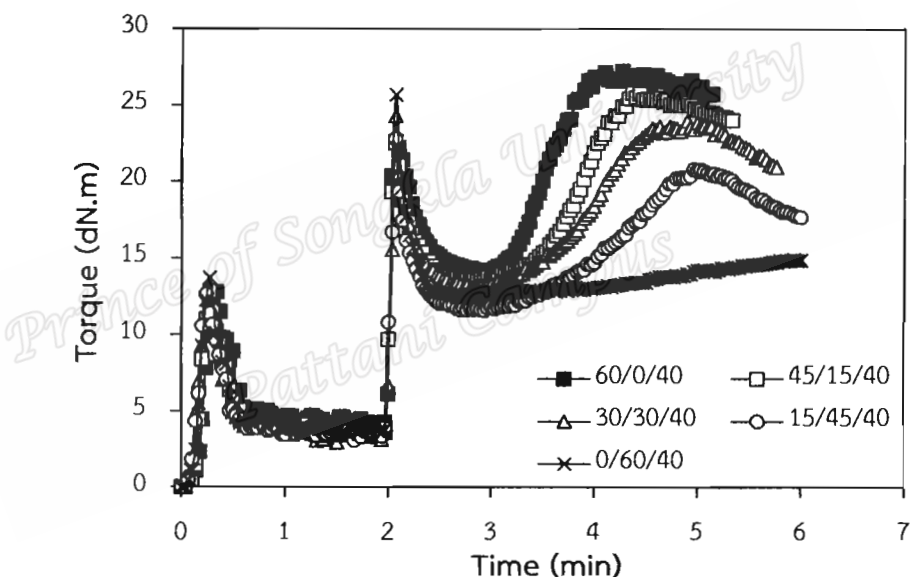


รูปที่ 4.52 ลักษณะสัมฐานวิทยาของเทอร์โมพลาสติกวัลคainซ์จากการเบلنด์ NR/RR/PEC เมื่อ  
แปรปริมาณฟินอลิกเรชิน

#### 4.5 การศึกษาอิทธิพลของอัตราส่วนการเบلنด์ต่อสมบัติเทอร์โมพลาสติกวัลค่าในช่วงจากการเบلنด์ระหว่างยางธรรมชาติ ยางรีเคลม และโพรพลีนเอทิลีนโคโพลิเมอร์

เตรียมเทอร์โมพลาสติกวัลค่าในช่วงจากการเบلنด์ระหว่างยางธรรมชาติ ยางรีเคลม และโพรพลีนเอทิลีนโคโพลิเมอร์ด้วยวิธีการผสมแบบ Melt mixing method ตามหัวข้อที่ 3.3.3.1 และใช้ปริมาณสารตัดแปรฟินอลิกเรชันที่ 10 phr โดยแบ่งอัตราส่วนการเบلنด์ระหว่าง NR/RR/PEC เท่ากับ 60/0/40, 45/15/40, 30/30/40, 15/45/40 และ 0/60/40 ส่วนโดยน้ำหนักตามวิธีการทดลองในหัวข้อที่ 3.3.5

##### 4.5.1 การศึกษาอิทธิพลของอัตราส่วนการเบلنด์ต่อพฤติกรรมการผสมในการเตรียมเทอร์โมพลาสติกวัลค่าในช่วงจากการเบلنด์ NR/RR/PEC



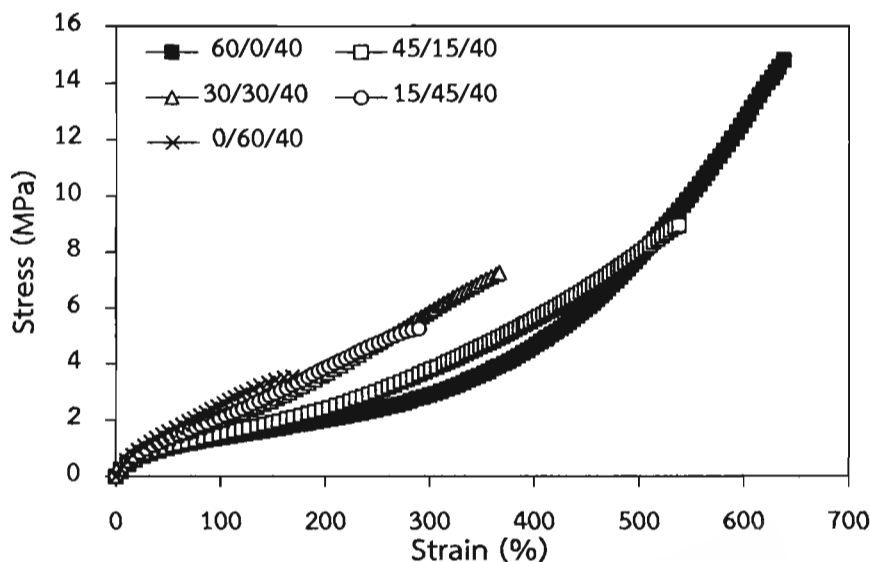
รูปที่ 4.53 ความสัมพันธ์ระหว่างค่าทอร์กกับเวลาการผสมของเทอร์โมพลาสติกวัลค่าในช่วง เมื่อแบ่งอัตราส่วนระหว่าง NR/RR/PEC

จากรูปที่ 4.53 พบร่องการผสมจะแตกต่างกันอย่างเห็นได้ชัดในช่วงที่เพสยางเกิดการวัลค่าในช่วงที่เวลาประมาณนาทีที่ 3 โดยค่าทอร์กจะค่อยๆ เพิ่มขึ้นเมื่อเพสยางเกิดการวัลค่าในช่วงที่เพสยางจุดสูงสุดจากนั้นค่าทอร์กจะค่อยๆ ลดลงเมื่อเพสยางวัลค่าในช่วงสมบูรณ์ ซึ่งพบว่าเวลาที่เพสยางเริ่มเกิดการวัลค่าในช่วงที่ทอร์กการผสมเพิ่มขึ้นจะเกิดในช่วงเวลาใกล้เคียงกัน ในขณะที่ระยะเวลาของการเกิดการวัลค่าในช่วงของเพสยางไม่เท่ากัน จะเห็นได้ว่าเมื่อปริมาณยางรีเคลมในสัดส่วนของเพสยางเพิ่มขึ้นส่งผลต่อระยะเวลาของการวัลค่าในช่วงมากขึ้นด้วย นอกจากนี้ความแตกต่าง

ของทอร์กการผสมจากจุดเริ่มต้นจนถึงจุดสูงสุดของการเกิดวัลภาชนะเช่นแบบไดนามิกซ์ลดลงตามปริมาณยางรีเคลมในสัดส่วนของเฟสยางที่เพิ่มขึ้น เนื่องจากเมื่อมีปริมาณยางรีเคลมในสัดส่วนเฟสยางเพิ่มมากขึ้นทำให้มีสัดส่วนของยางธรรมชาติในเฟสยางลดลง ส่งผลให้พันธะคู่ซึ่งอยู่ในทุกหน่วยซ้ำของไอโซพรีนลดลงตามสัดส่วนของยางธรรมชาติในเฟสยาง โดยพันธะคู่ในยางธรรมชาตินี้เป็นตำแหน่งที่ว่องไวต่อการเกิดปฏิกิริยาวัลภาชนะซึ่งดังนั้นการมีสัดส่วนของยางธรรมชาติในเฟสยางลดลงทำให้การเกิดปฏิกิริยาวัลภาชนะซึ่งลดลงด้วย ประกอบกับยางรีเคลมเป็นยางที่ผ่านกระบวนการรีเคลมเพื่อให้สามารถนำกลับมาวัลภาชนะซึ่งไม่ได้อีกครั้ง แต่จากการวิเคราะห์หาส่วนที่ละลายได้ในยางรีเคลมมีเพียง 24.64% ในขณะที่มีส่วนที่ไม่ละลายถึง 75.36% แสดงให้เห็นว่าในยางรีเคลมนี้ปริมาณพันธะเชื่อมระหว่างทางเคมีและพันธะเชื่อมระหว่างทางกายภาพจากการเกิดอันตรกิริยาระหว่างยางกับสารตัวเติม (Bound rubber) เหลืออยู่เป็นจำนวนมาก ดังนั้นเทอร์โมพลาสติกวัลภาชนะซึ่งมีสัดส่วนของยางรีเคลมมากจึงมีแนวโน้มเกิดการวัลภาชนะซึ่งได้น้อยกว่าเทอร์โมพลาสติกวัลภาชนะซึ่งมีสัดส่วนของยางธรรมชาติอยู่สูง

#### **4.5.2 การศึกษาอิทธิพลของอัตราส่วนการเบلنด์ต่อสมบัติเชิงกลของเทอร์โมพลาสติกวัลภาชนะจากการเบلنด์ระหว่าง NR/RR/PEC**

นำเทอร์โมพลาสติกวัลภาชนะซึ่งที่เตรียมจากการเบلنด์ NR/RR/PEC โดยแบร็อตราช่วงการเบلنด์เท่ากับ 60/0/40, 45/15/40, 30/30/40, 15/45/40 และ 0/60/40 ส่วนโดยน้ำหนักมาศึกษาสมบัติเชิงกล ได้กราฟความสัมพันธ์ระหว่างความเค้นกับความเครียดของเทอร์โมพลาสติกวัลภาชนะซึ่งดังแสดงในรูปที่ 4.54



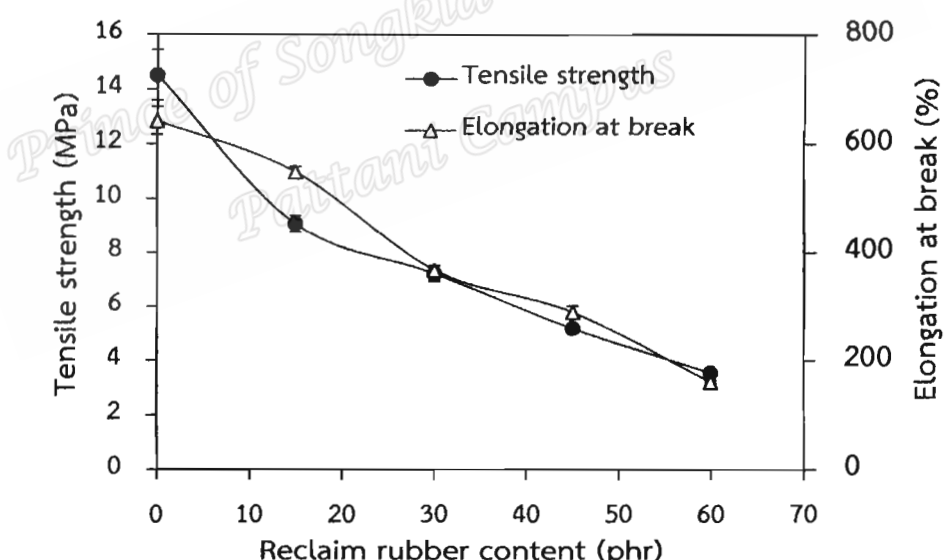
รูปที่ 4.54 ความสัมพันธ์ระหว่างความเค้นกับความเครียดของเทอร์โมพลาสติกวัลคานิซ์จากการเบلن์ NR/RR/PEC เมื่อแปรอัตราส่วนการเบلن์

จากรูปที่ 4.54 พบว่าเทอร์โมพลาสติกวัลคานิซ์ที่มีสัดส่วนของยางรีเคลมและยางธรรมชาติแตกต่างกันความแข็งตึงจะมีแนวโน้มเพิ่มขึ้นตามปริมาณยางรีเคลมในสัดส่วนของเฟสยางที่เพิ่มขึ้น ในทางกลับกันความหนืดหยดของเทอร์โมพลาสติกวัลคานิซ์ลดลง เนื่องจากเมื่อปริมาณยางรีเคลมในสัดส่วนของเฟสยางเพิ่มขึ้นทำให้มีปริมาณพันธะเชื่อมขวางจากยางรีเคลมหรือส่วนที่ไม่ละลาย (Gel fraction) เพิ่มมากขึ้น สายโซ่โมเลกุลของยางเคลื่อนไหวได้ยากขึ้น (De et al., 2007 และ De et al., 2013) ส่งผลให้เทอร์โมพลาสติกวัลคานิซ์มีมอดุลัสเพิ่มสูงขึ้นและในขณะเดียวกันระยะยืดมีแนวโน้มลดลง ทั้งนี้แสดงให้เห็นว่าการเพิ่มสัดส่วนยางรีเคลมในเฟสยางมากขึ้นส่งผลให้เทอร์โมพลาสติกวัลคานิซ์มีแนวโน้มสมบัติเชิงกลต้ออยลงและจากจุดขาดของกราฟความสัมพันธ์ระหว่างความเค้นและความเครียดสามารถนำมารวบหาค่าความต้านทานต่อแรงตึงและความสามารถในการยืดจนขาดของเทอร์โมพลาสติกวัลคานิซ์ แสดงผลดังตารางที่ 4.12 นอกจากนี้ยังแสดงค่าความสามารถในการคืนรูป และความแข็งตัวย

ตารางที่ 4.12 สมบัติเชิงกลของเทอร์โมพลาสติกวัลค้านซจากการเบلنด์ NR/RR/PEC เมื่อแปรอัตราส่วนการเบلنด์

Blend ratio (NR/RR/PEC)	Tensile strength (MPa)	Elongation at break (%)	Tension set (%)	Hardness (Shore A)
60/0/40	14.52±0.92	643±10.91	4.78±0.89	51
45/15/40	9.07±0.31	549±37.63	5.65±0.18	54
30/30/40	7.23±0.29	368±13.74	5.52±0.35	57
15/45/40	5.20±0.07	290±2.62	6.65±0.31	59
0/60/40	3.56±0.03	161±1.89	8.83±0.83	62

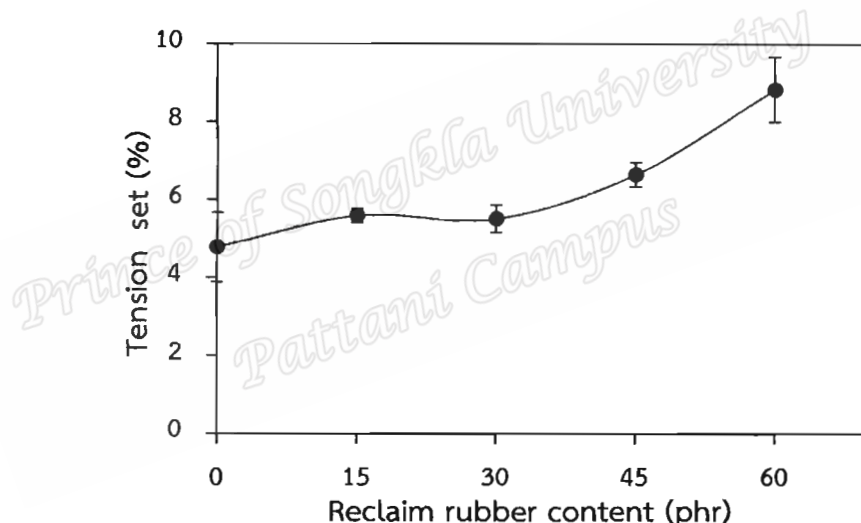
จากตารางที่ 4.12 สามารถแสดงกราฟความสัมพันธ์ระหว่างความต้านทานต่อแรงดึง ความสามารถในการยึดจันขาด ความสามารถในการคืนรูป และความแข็งของเทอร์โมพลาสติกวัลค้านซจากการเบلنด์ NR/RR/PEC เมื่อแปรอัตราส่วนการเบلنด์ดังรูปที่ 4.55-4.57 ตามลำดับ



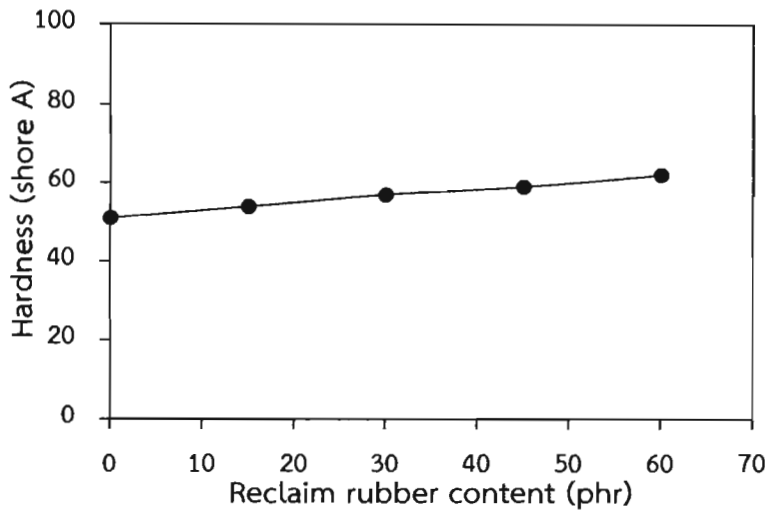
รูปที่ 4.55 ความต้านทานต่อแรงดึงและความสามารถในการยึดจันขาดของเทอร์โมพลาสติกวัลค้านซจากการเบلنด์ NR/RR/PEC เมื่อแปรอัตราส่วนการเบلنด์

จากที่รูปที่ 4.55 พบร่วมกันความต้านทานต่อแรงดึงและความสามารถในการยึดจันขาด มีแนวโน้มลดลงตามปริมาณยางรีเคลมในสัดส่วนของเฟสยางที่เพิ่มขึ้น โดยเทอร์โมพลาสติกวัลค้านซที่อัตราส่วน 60/0/40 มีค่าความต้านทานต่อแรงดึงและความสามารถในการยึดจันขาดสูงที่สุด รองลงมาคืออัตราส่วนที่ 45/15/40, 30/30/40, 15/45/40 และ 0/60/40 ตามลำดับ เนื่องจาก

เทอร์โมพลาสติกวัลค้านิชที่มีปริมาณยางธรรมชาติในสัดส่วนของเพสยางมากให้ความต้านทานต่อแรงดึง และความสามารถในการยึดจันชาดที่ดี เพราะยางธรรมชาติมีน้ำหนักโมเลกุลสูง สามารถเกิดการตกผลึกได้เมื่อยืด และมีความสามารถในการส่งผ่านแรงเค้นได้ดี ประกอบกับมีความต่อเนื่องของเพสยางที่ดีในทางกลับกันยางรีเคลมมีน้ำหนักโมเลกุลต่ำจากผลของการเตรียมยางรีเคลม ที่ใช้แรงเฉือนและความร้อนสูงเพื่อทำให้เกิดการแตกออกของพันธะการเชื่อมขวาง ส่งผลให้ยางรีเคล้มีสายโซ่มोเลกุลสั้น (Hassan et al., 2010) นอกจากนี้การมีปริมาณยางรีเคลมในสัดส่วนของเพสยางมากขึ้นส่งผลต่อความเป็นเนื้อเดียวกันในระหว่างเพสยางรีเคลมและยางธรรมชาติลดน้อยลง ส่งผลให้เกิดจุดอ่อนแองขึ้นทำให้การส่งผ่านแรงเค้นเกิดได้ไม่ดี (De et al., 2007 และ Sombatsompob and Kumnuantip, 2003) มีผลทำให้ความต้านทานต่อแรงดึงและความสามารถในการยึดจันชาดของเทอร์โมพลาสติกวัลค้านิชลดลง



รูปที่ 4.56 การผิดรูปถาวรแบบดึงของเทอร์โมพลาสติกวัลค้านิชจากการเบلنด์ NR/RR/PEC เมื่อประอัตราส่วนการเบلنด์

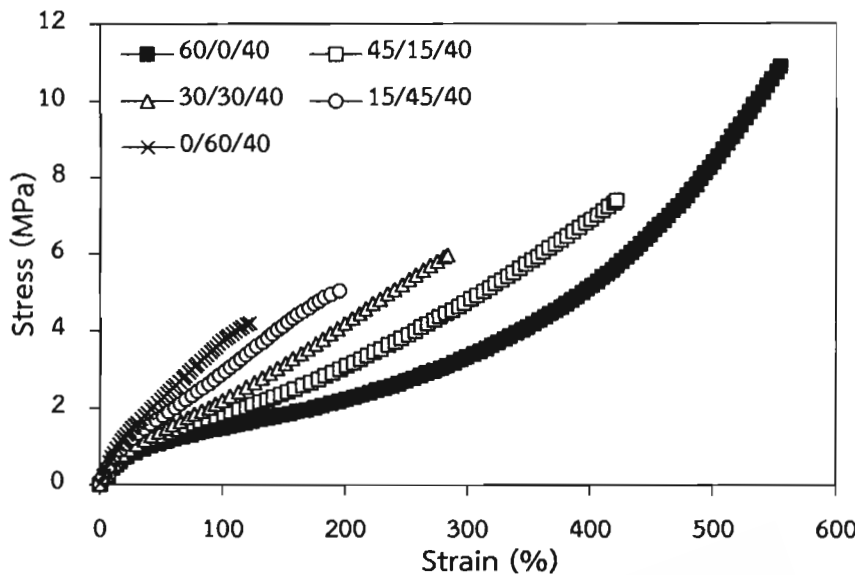


รูปที่ 4.57 ความแข็งของเทอร์โมพลาสติกวัลคaineซจากการเบلنด์ NR/RR/PEC เมื่อปรอต拉斯่วนการเบلنด์

จากรูปที่ 4.56 และ 4.57 พบร้าเทอร์โมพลาสติกวัลคainซมีความสามารถในการคืนรูปลดลง (Tension set เพิ่มขึ้น) และมีความแข็งเพิ่มขึ้นอย่างต่อเนื่องตามปริมาณยางรีเคลมในสัดส่วนของเพสยางที่เพิ่มขึ้น เนื่องจากเมื่อมีปริมาณยางรีเคลมเพิ่มขึ้นทำให้สัดส่วนของยางธรรมชาติในเพสยางลดลง ส่งผลให้การวัลคainซของเพสยางเกิดได้น้อยลง ทำให้มีปริมาณพันธะเชื่อมขวางลดลงตามสัดส่วนของยางรีเคลมในเพสยางที่เพิ่มขึ้น ซึ่งการมีปริมาณปริมาณพันธะเชื่อมขวางน้อยจะทำให้ยางให้ลได้ง่าย อีกทั้งยางรีเคลมมีน้ำหนักไม่เลกุตต่า มีสารตัวเติม จึงส่งผลต่อการกลับคืนรูปของเทอร์โมพลาสติกวัลคainซได้น้อยลง ส่วนความแข็งมีค่าเพิ่มขึ้น

#### 4.5.3 การศึกษาอิทธิพลของอัตราส่วนการเบلنด์ต่อสมบัติเชิงกลภายหลังบ่มเร่งของเทอร์โมพลาสติกวัลคainซจากการเบلنด์ระหว่าง NR/RR/PEC

นำเทอร์โมพลาสติกวัลคainซที่เตรียมจากการเบلنด์ NR/RR/PEC โดยปรอต拉斯่วนการเบلنด์ที่ 60/0/40, 45/15/40, 30/30/40, 15/45/40 และ 0/60/40 ส่วนโดยน้ำหนักมาทดสอบความต้านทานต่อการบ่มเร่งที่อุณหภูมิ 100°C เป็นเวลา 22 ชั่วโมง เมื่อครบเวลานำตัวอย่างออกพักทิ้งไว้ที่อุณหภูมิห้องอย่างน้อย 16 ชั่วโมงก่อนนำไปทดสอบสมบัติเชิงกลได้ความสัมพันธ์ระหว่างความเค้นกับความเครียดของเทอร์โมพลาสติกวัลคainซตั้งแสดงในรูปที่ 4.58



รูปที่ 4.58 ความสัมพันธ์ระหว่างความเค้นกับความเครียดภายหลังบ่มเร่งของเทอร์โมพลาสติกวัลคานิซจากการเบلنด์ NR/RR/PEC เมื่อแปรอัตราส่วนการเบلنด์

จากรูปที่ 4.58 แสดงผลติกรรมการผิดรูปภายใต้แรงเค้นภายหลังบ่มเร่งด้วยความร้อนของเทอร์โมพลาสติกวัลคานิซเมื่อแปรอัตราส่วนการเบلنด์พบว่าพฤติกรรมการผิดรูปภายใต้แรงเค้นของเทอร์โมพลาสติกวัลคานิซก่อนและหลังบ่มเร่งไม่แตกต่างกัน กล่าวคือความแข็งตึงของเทอร์โมพลาสติกวัลคานิซจะเพิ่มขึ้นตามปริมาณของยางรีเคลมในเพสยางที่เพิ่มขึ้น ในขณะที่ความเหนียวทานมีค่าลดลงซึ่งเกิดจากการเพิ่มสัดส่วนของยางรีเคลมในองค์ประกอบเบلنด์เป็นการเพิ่มปริมาณส่วนที่ไม่ละลายเพิ่มขึ้น ดังที่กล่าวไปข้างต้น และจากจุดขาดของกราฟความสัมพันธ์ระหว่างความเค้นและความเครียด สามารถนำมาคำนวณหาค่าความต้านทานต่อแรงดึง และความสามารถในการยึดจันขาดของเทอร์โมพลาสติกวัลคานิซแสดงผลดังตารางที่ 4.13 และ 4.14 รวมถึงเปอร์เซ็นต์การเปลี่ยนแปลงของสมบัติแสดงในตารางนี้ด้วย

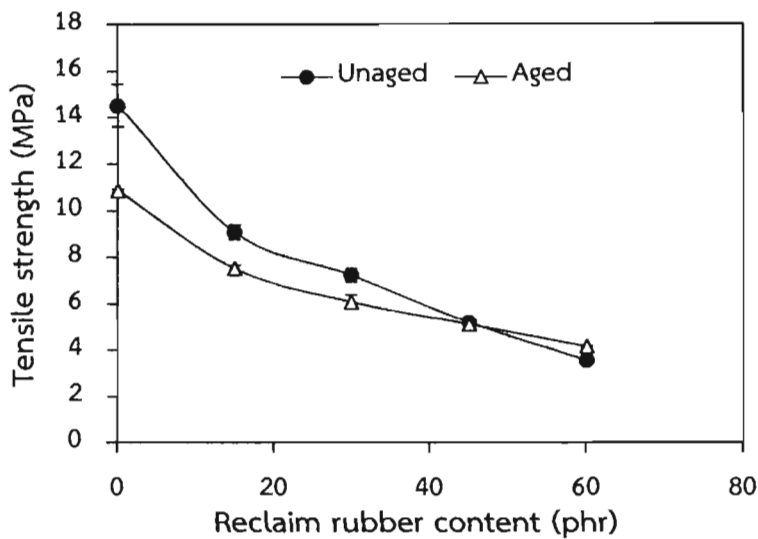
ตารางที่ 4.13 ความต้านทานต่อแรงดึงภายในชั้นพลาสติกวัลคainซ์จากการเบلنด์ NR/RR/PEC เมื่อแบร็อตตราส่วนการเบلنด์

Blend ratio (NR/RR/PEC)	Tensile strength (MPa)		Change in property of tensile strength (%)
	Unaged	Aged	
60/0/40	14.52±0.92	10.87±0.06	-23.13
45/15/40	9.07±0.31	7.52±0.14	-17.09
30/30/40	7.23±0.29	6.09±0.30	-15.77
15/45/40	5.20±0.07	5.12±0.06	-1.54
0/60/40	3.56±0.03	4.16±0.03	16.85

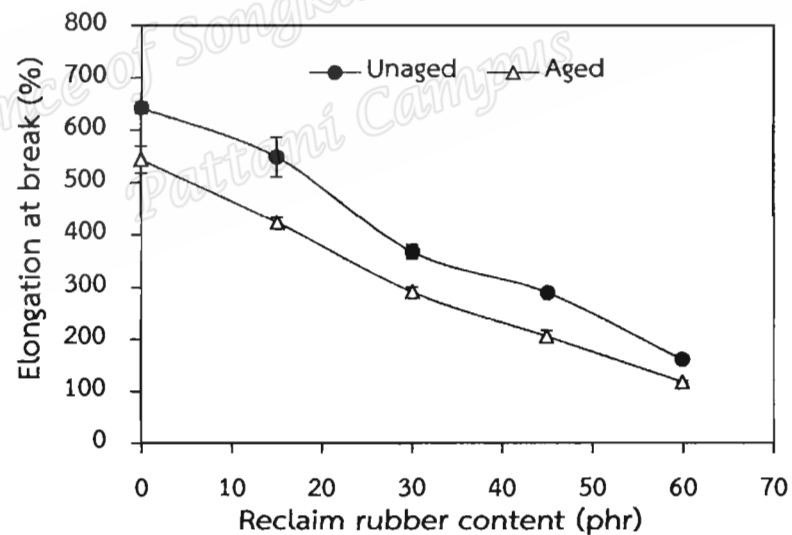
ตารางที่ 4.14 ความสามารถในการยึดจันขาดภายในชั้นพลาสติกวัลคainซ์จากการเบلنด์ NR/RR/PEC เมื่อแบร็อตตราส่วนการเบلنด์

Blend ratio (NR/RR/PEC)	Elongation at break (%)		Change in property of elongation at break (%)
	Unaged	Aged	
60/0/40	643±10.91	544±25.85	-15.66
45/15/40	549±37.63	424±9.61	-22.77
30/30/40	368±13.74	292±8.59	-20.65
15/45/40	290±2.62	206±11.47	-28.97
0/60/40	161±1.89	118±2.75	-26.71

จากตารางที่ 4.13 และ 4.14 สามารถเขียนกราฟความสัมพันธ์ระหว่างความต้านทานต่อแรงดึงและความสามารถในการยึดจันขาดก่อนและหลังบ่มเร่งของเทอร์โมพลาสติกวัลคainซ์ เมื่อแบร็อตตราส่วนการเบلنด์ตั้งแสดงในรูปที่ 4.59 และ 4.60 รวมถึงแสดงกราฟเปอร์เซ็นต์การเปลี่ยนแปลงของสมบัติภายในชั้นพลาสติกวัลคainซ์ในรูปที่ 4.61



รูปที่ 4.59 ความต้านทานต่อแรงดึงก่อนและหลังบ่มร่างของเทอร์โมพลาสติกวัลคานิซจากการเบلنด์ NR/RR/PEC เมื่อแบร็อตตราส่วนการเบلنด์

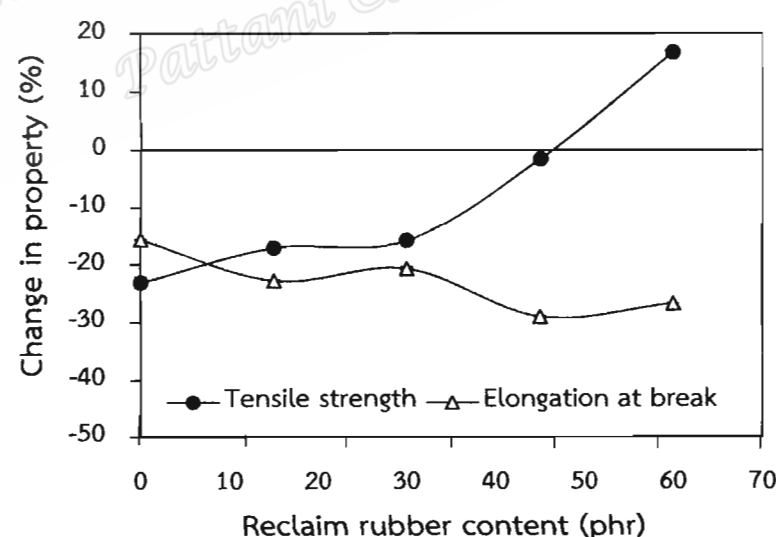


รูปที่ 4.60 ความสามารถในการยืดจนขาดก่อนและหลังบ่มร่างของเทอร์โมพลาสติกวัลคานิซจากการเบلنด์ NR/RR/PEC เมื่อแบร็อตตราส่วนการเบلنด์

จากรูปที่ 4.59 และ 4.60 พบร่วมกันว่า ความต้านทานต่อแรงดึงและความสามารถในการยืดจนขาดภายในห้องปฏิบัติการบ่มร่างของเทอร์โมพลาสติกวัลคานิซให้สมบัติต่ำกว่าก่อนบ่มร่าง และสมบัติดังกล่าวมีแนวโน้มลดลงตามปริมาณของยางรีเคลมในสัดส่วนของเฟสยางที่เพิ่มมากขึ้นเช่นเดียวกันกับ

พฤติกรรมก่อนการบ่มเร่ง ยกเว้นที่อัตราส่วนการเบلنด์ 0/60/40 พบร่วมกับยางรีเคลม มีความต้านทานต่อแรงดึงสูงกว่าก่อนบ่มเร่ง เนื่องจากยางรีเคลมยังมีส่วนที่สามารถเกิดพันธะเชื่อมขวางได้อยู่ (Active crosslinking sites) เมื่อได้รับความร้อนจากการบ่มเร่งทำให้สามารถเกิดพันธะเชื่อมขวางได้บางส่วน (De et al., 2007 และ Mandal et al., 2014)

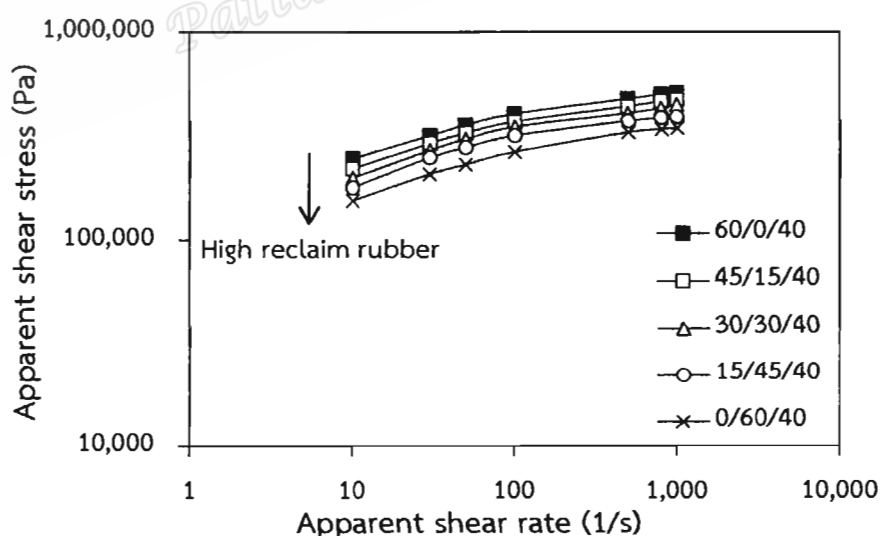
รูปที่ 4.61 แสดงข้อมูลเปอร์เซ็นต์การเปลี่ยนแปลงสมบัติความต้านทานต่อแรงดึงและความสามารถในการยึดจันขาดของเทอร์โมพลาสติกวัลคานีซ พบร่วมกับยางรีเคลมในสัดส่วนของเฟสยางที่เพิ่มขึ้น และลักษณะการเปลี่ยนแปลงสมบัติให้ค่าไปทางบวก ทั้งนี้เกิดจากยางรีเคลมมีความสามารถทนต่อการถูกออกซิเดช์ได้ดีกว่ายางธรรมชาติ กล่าวคือในกระบวนการทำยางรีเคลมต้องผ่านกระบวนการที่มีความร้อนสูงจึงสามารถเกิดการออกซิเดช์ในระหว่างกระบวนการรีเคลมได้ตลอดเวลา ทำให้ยางรีเคลมเกิดการออกซิเดช์จนมากเกินพอ ส่งผลให้ยางรีเคลมมีความต้านทานต่อการบ่มเร่งที่ดี กองปรกับเมื่อมีปริมาณยางธรรมชาติเพิ่มขึ้น พันธะคู่ที่ว่องไวทำให้ยางธรรมชาติทำปฏิกิริยาได้ง่ายด้วยออกซิเจนส่งผลให้ยางธรรมชาติเกิดการเสื่อมได้มาก (พรพรรณ, 2540) ขณะที่เปอร์เซ็นต์การเปลี่ยนแปลงของค่าความสามารถในการยึดจันขาดจะมีแนวโน้มเพิ่มขึ้นในทางลบเล็กน้อยเมื่อปริมาณยางรีเคลมในสัดส่วนของเฟสยางมากขึ้น



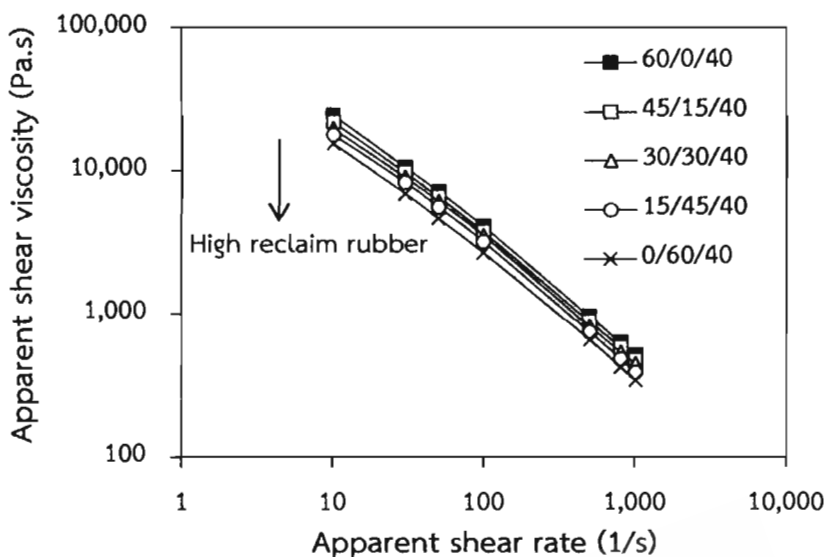
รูปที่ 4.61 เปอร์เซ็นต์การเปลี่ยนแปลงของสมบัติความต้านต่อแรงดึงและความสามารถในการยึดจันขาดหลังบ่มเร่งของเทอร์โมพลาสติกวัลคานีซจากการเบلنด์NR/RR/PEC เมื่อ配อัตราส่วนการเบلنด์

#### 4.5.4 การศึกษาอิทธิพลของอัตราส่วนการเบلنด์ต่อสมบัติการไหลของเทอร์โมพลาสติกวัลค่าในซีรีส์จากการเบلنด์ระหว่าง NR/RR/PEC

นำเทอร์โมพลาสติกวัลค่าในซีรีส์ที่เตรียมได้มาทดสอบสมบัติการไหลตามวิธีการทดลองในหัวข้อที่ 3.8.5 เปรียบเทียบสมบัติการไหลของเทอร์โมพลาสติกวัลค่าในซีรีส์เมื่อแปรอัตราส่วนการเบلنด์ ได้ผลการทดลองค่าความสัมพันธ์ระหว่างความเค้นเฉือนปรากว และอัตราเฉือนปรากวรวมถึงความหนืดเฉือนปรากวและอัตราเฉือนปรากวดังในรูปที่ 4.62 และ 4.63 พบว่าที่อัตราเฉือนปรากวเดียวกัน ความเค้นเฉือนปรากว และความหนืดเฉือนปรากนูมีค่าลดลงตามปริมาณยางรีเคลม ในสัดส่วนของเพสยางที่เพิ่มขึ้น กล่าวคือที่อัตราส่วน 60/0/40 ให้ความเค้นเฉือนปรากวและความหนืดเฉือนปรากวสูงที่สุด รองลงมาคือ 45/15/40, 30/30/40, 15/45/40 และ 0/60/40 ตามลำดับ แสดงให้เห็นว่าการเพิ่มปริมาณของยางรีเคลมทำให้สัดส่วนของยางธรรมชาติในองค์ประกอบเบلنด์ลดลง ส่งผลให้เทอร์โมพลาสติกวัลค่าในซีรีส์เกิดการหลอมและไหลได้ง่ายขึ้น ทั้งนี้เนื่องจากยางรีเคลมเป็นยางที่เคยผ่านการวัลค่าในซีรีส์มาแล้วและนำมาตัดพันธะเชื่อมช่วงแบบสุมจึงมีน้ำหนักไม่เลกุลต่ำในขณะที่ยางธรรมชาตินั้นมีน้ำหนักไม่เลกุลสูง และมีการเกี่ยวพันกันของสายโซ่ไม่เลกุลมากกว่ายางรีเคลม รวมถึงการที่ยางธรรมชาติสามารถเกิดพันธะเชื่อมช่วงได้มากกว่ายางรีเคลม จึงส่งผลให้เทอร์โมพลาสติกวัลค่าในซีรีส์ที่มีสัดส่วนของยางธรรมชาติในองค์ประกอบเบلنด์มากต้องใช้แรงเฉือนสูงมากกว่า จึงจะเกิดการไหลได้ที่อัตราเฉือนเดียวกัน



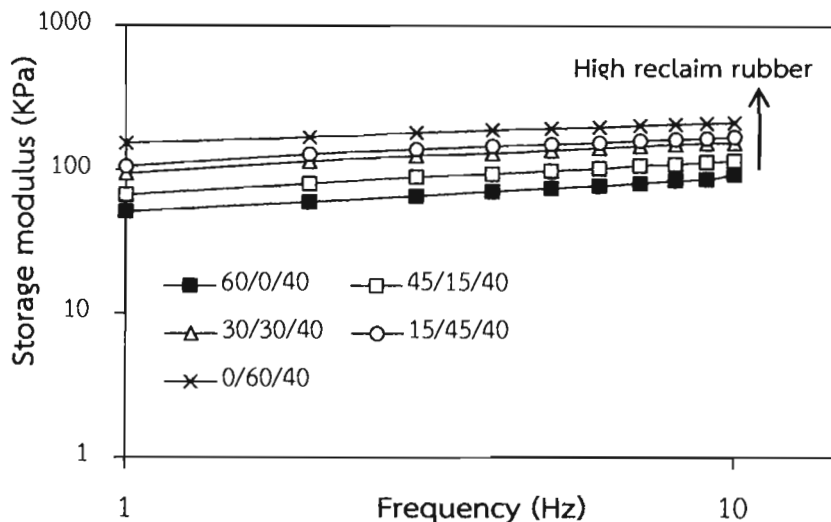
รูปที่ 4.62 ความสัมพันธ์ระหว่างความเค้นเฉือนปรากวกับอัตราเฉือนปรากวของเทอร์โมพลาสติกวัลค่าในซีรีส์จากการเบلنด์ NR/RR/PEC เมื่อแปรอัตราส่วนการเบلنด์



รูปที่ 4.63 ความสัมพันธ์ระหว่างความหนืดเฉือนปราภกับอัตราเฉือนปราภของเทอร์โมพลาสติกวัลค่าในซึ่จากการเบلنด์ NR/RR/PEC เมื่อแปรอัตราส่วนการเบلنด์

#### 4.5.5 การศึกษาอิทธิพลของอัตราส่วนการเบلنด์ต่อสมบัติเชิงกลพลวัตของเทอร์โมพลาสติกวัลค่าในซึ่จากการเบلنด์ระหว่าง NR/RR/PEC

นำเทอร์โมพลาสติกวัลค่าในซึ่จากการเบلنด์ระหว่าง NR/RR/PECโดยแปรอัตราส่วนการเบلنด์ นำมาทดสอบสมบัติเชิงกลพลวัตด้วยเครื่อง MDPT ตามวิธีการทดลองในหัวข้อที่ 3.8.6 แสดงกราฟความสัมพันธ์ระหว่างมอดูลัสสั่ง ความหนืดเชิงช้อน มอดูลัสสูญเสีย และ  $\tan \delta$  กับความถี่ ดังแสดงในรูปที่ 4.64, 4.65, 4.67 และ 4.68 ตามลำดับ

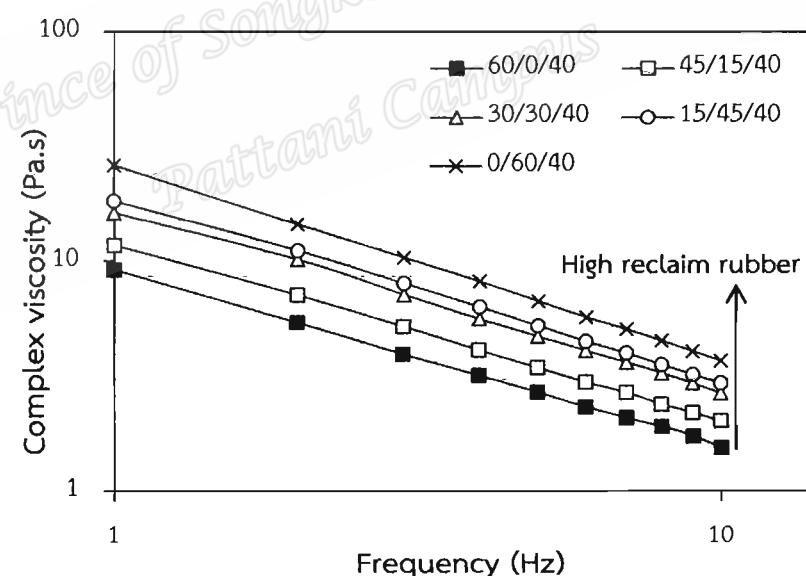


รูปที่ 4.64 ความสัมพันธ์ระหว่างมอดุลัสสหสมกับความถี่ของเทอร์โมพลาสติกวัลค้านซจากการเบلنด์ NR/RR/PEC เมื่อประอัตราส่วนการเบلنด์

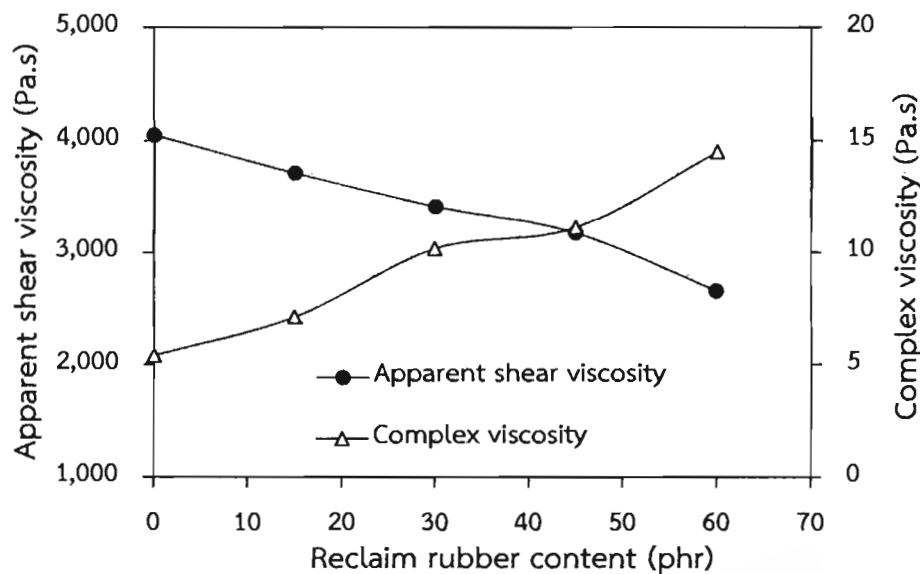
จากรูปที่ 4.64 พบร่วมมอดุลัสสหสมมีค่าเพิ่มขึ้นตามปริมาณยางรีเคลมในสัดส่วนของเฟสยางที่เพิ่มขึ้น เป็นที่น่าสนใจว่าผลการทดลองนี้ส่วนทางกับการทดสอบสมบัติการให้เลื่อนในรูปที่ 4.61 ที่พบร่วมค่าความเค้นเฉือนปรากวมีค่าลดลงเมื่อเทอร์โมพลาสติกวัลค้านซมีสัดส่วนของยางรีเคลมมากขึ้น ซึ่งการพบผลการทดลองที่แตกต่างกันนี้เกิดขึ้นในเทอร์โมพลาสติกวัลค้านซที่มีอัตราส่วนการเบلنด์แตกต่างกัน (หัวขอวิจัยก่อนหน้านี้ กำหนดอัตราส่วนการเบلنด์คงที่) อาจเป็นผลมาจากการรูปแบบการทดสอบของหง 2 เทคนิคที่แตกต่างกัน โดยการทดสอบด้วยเครื่องคาร์ปิลารีรีโอมิเตอร์ทำให้ไม่เกิดข้อหงสุดเกิดการเลื่อนไถกระหว่างโมเลกุลสูง เทอร์โมพลาสติกวัลค้านซจึงแสดงสมบัติที่เป็นผลมาจากน้ำหนักโมเลกุลของแต่ละองค์ประกอบที่แตกต่างกัน เทอร์โมพลาสติกวัลค้านซที่มีสัดส่วนยางรีเคลมในองค์ประกอบที่เป็นยางมาก น้ำหนักโมเลกุลของยางรีเคลมต่ำทำให้การเลื่อนไถของสายโซ่โมเลกุลเกิดได้ง่ายขึ้น สอดคล้องกับงานวิจัยที่มีการใช้ยางรีเคลมเป็นสารช่วยในการปรับปรุงการแปรรูปของยาง (Shi et al., 2014) จึงพบร่วมค่าความเค้นเฉือนปรากว และความหนืดเฉือนปรากวมีค่าลดลงตามปริมาณยางรีเคลมที่มากขึ้นในสัดส่วนของเฟสยาง ในทางกลับกันการทดสอบด้วยเครื่อง MDPT ใช้อัตราเฉือนต่ำ (ความถี่ต่ำ ในการทดลองอยู่ระหว่าง 1-10 Hz) ซึ่งเป็นความถี่ที่วัสดุเกิดการผิดรูปน้อย การผิดรูปส่วนใหญ่ยังเป็นการผิดรูปแบบอิเล็กทริกจึงเป็นไปได้ว่าการตอบสนองของเทอร์โมพลาสติกวัลค้านซเมื่อได้รับความเค้น (แรงบิด) ยังไม่ปรากวัดเจนจากการเลื่อนไถของโมเลกุล แต่เป็นผลมาจากการตอบสนองของสารตัวเติมที่มีอยู่ในยางรีเคลมแทน โดยเทอร์โมพลาสติกวัลค้านซที่มีการใช้ยางรีเคลมในสัดส่วนการเบلنด์ขององค์ประกอบยางมาก จะมีสารตัวเติมเข้ม่าจำนวนมากด้วย ที่การทดสอบแบบใช้การผิดรูปต่ำๆ สารตัวเติมเข้ม่าจะแสดงผลการ

เสริมแรงต่อการเคลื่อนที่ของโมเลกุลแทน (Sombatsonpop and Kumnuantip, 2003) ส่งผลให้พบว่าค่ามอดูลัสสั่งสมของเทอร์โมพลาสติกวัลคานีซ มีค่าเพิ่มขึ้นตามปริมาณยางรีเคลม

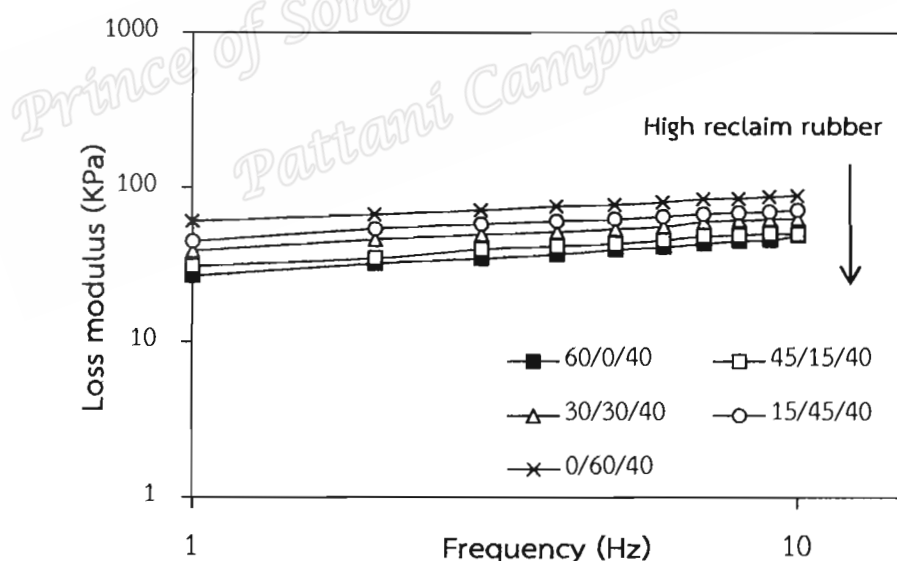
จากรูปที่ 4.65 พบว่าความหนืดเชิงช้อนมีค่าเพิ่มขึ้นตามปริมาณยางรีเคลมในสัดส่วนเพส ยางที่เพิ่มขึ้น ซึ่งผลการทดลองที่ได้ไม่สอดคล้องกับความหนืดเฉือนปราภูในกราฟทดสอบสมบัติการไหลของเทอร์โมพลาสติกวัลคานีซดังแสดงในรูปที่ 4.63 เช่นเดียวกัน และเมื่อเขียนกราฟเปรียบเทียบระหว่างความหนืดเฉือนปราภูที่อัตราเฉือนปราภูคงที่ค่าหนึ่ง และความหนืดเชิงช้อนที่ความถี่คงที่ค่าหนึ่ง เป็นพังก์ชันกับอัตราส่วนการเบلنด์ ดังแสดงในรูปที่ 4.66 พบว่าให้ผลการทดลองที่ตรงกันข้ามกันอย่างเห็นได้ชัด การลดลงของความหนืดเฉือนปราภูเมื่อปริมาณยางรีเคลมในสัดส่วนการเบلنด์เพิ่มมากขึ้น เกิดจากน้ำหนักโมเลกุลที่ต่ำของยางรีเคลม รวมถึงปริมาณพันธะเชื่อมขวางของเพสยางมีน้อยดังที่กล่าวไปข้างต้น ในขณะที่ความหนืดเชิงช้อนที่เพิ่มขึ้นตามปริมาณยางรีเคลมนั้น อาจจะแสดงผลของสารตัวเติมเข้ม่าดำเนี้งเป็นองค์ประกอบในยางรีเคลม โดยเมื่อมียางรีเคลมในปริมาณที่มากขึ้นทำให้มีปริมาณของเข้ม่าดำเนี้งเพิ่มมากขึ้น จึงทำให้เข้ม่าดำเนี้งไปขัดขวางการไหลของสายโซ่พอลิเมอร์ (Sombatsompop and Kumnuantip, 2003)



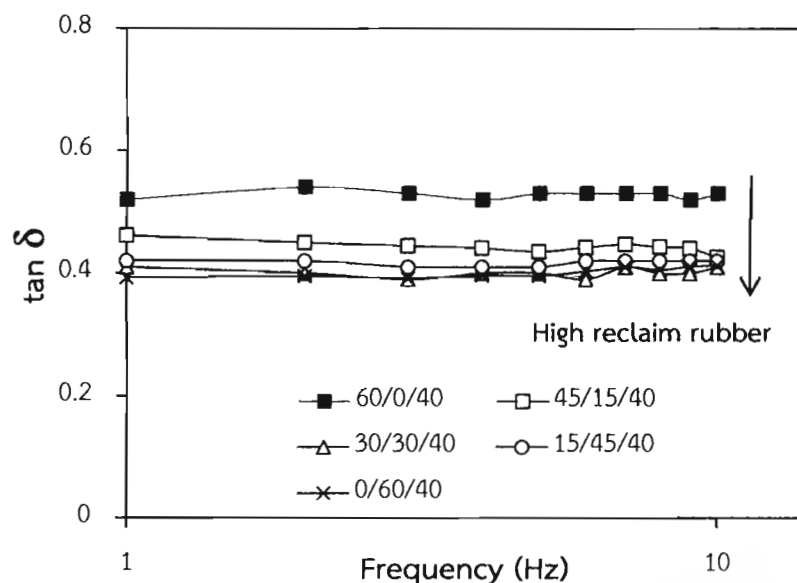
รูปที่ 4.65 ความสัมพันธ์ระหว่างความหนืดเชิงช้อนกับความถี่ของเทอร์โมพลาสติกวัลคานีซจากการเบلنด์ NR/RR/PEC เมื่อปรับอัตราส่วนการเบلنด์



รูปที่ 4.66 ความเค้นเฉือนปรากวที่อัตราเฉือน 100 (1/s) และความหนืดเชิงซ้อนที่ความถี่ 2 Hz ของเทอร์โมพลาสติกวัลคainซ์จากการเบلنด์ NR/RR/PEC เมื่อแปรอัตราส่วนการเบلنด์



รูปที่ 4.67 ความสัมพันธ์ระหว่างมอดุลส์สูญเสียกับความถี่ของเทอร์โมพลาสติกวัลคainซ์จากการเบلنด์ NR/RR/PEC เมื่อแปรอัตราส่วนการเบلنด์

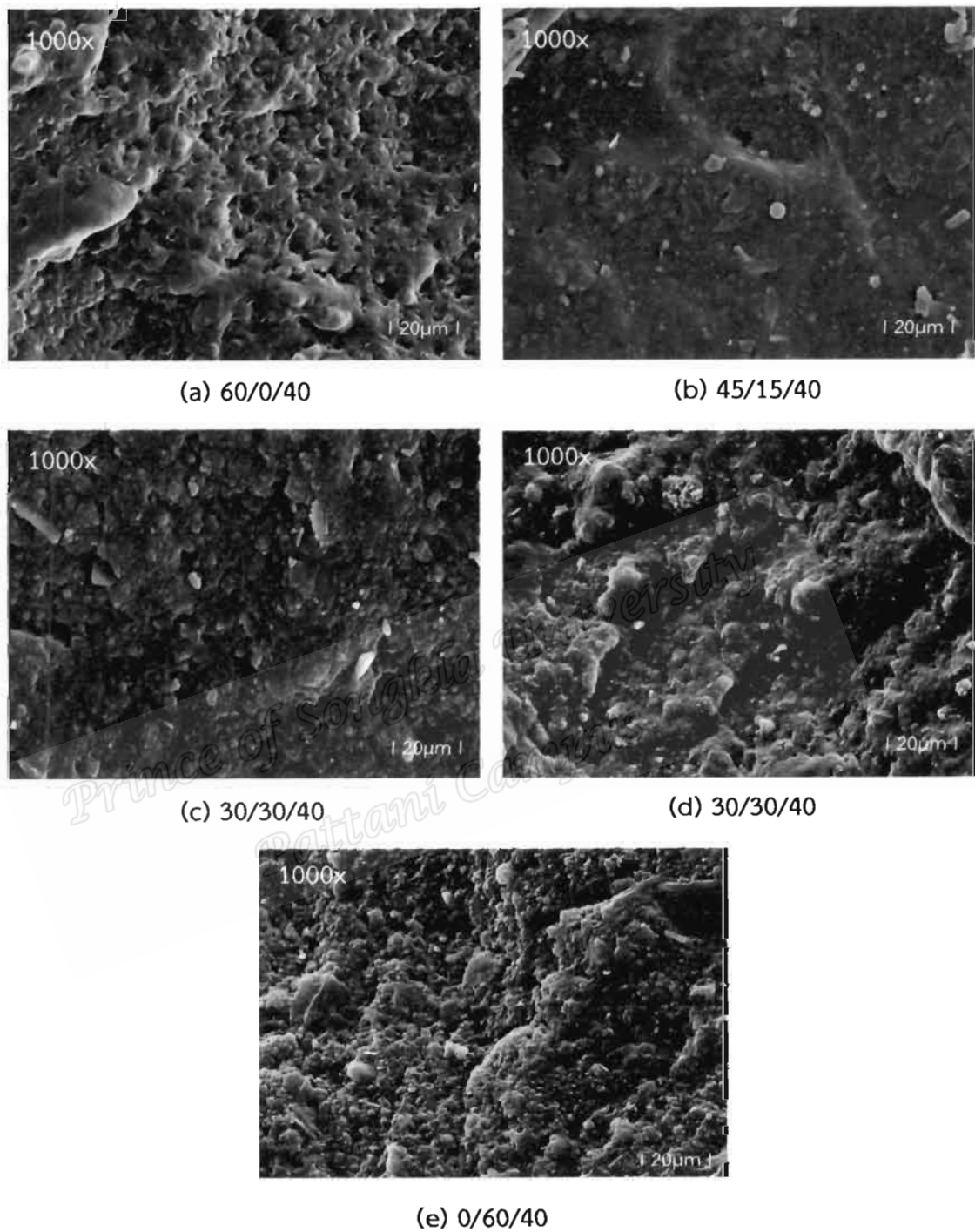


รูปที่ 4.68 ความสัมพันธ์ระหว่าง  $\tan \delta$  กับความถี่ของเทอร์โมพลาสติกวัลคainซ์จากการเบلنด์ NR/RR/PEC เมื่อแปรอัตราส่วนการเบلنด์

จากรูปที่ 4.67 พบร้าแสดงความสัมพันธ์ระหว่างค่ามอดุลสสูญเสียกับความถี่ ซึ่งค่ามอดุลสสูญเสียแสดงสมบัติการเป็นของเหลวหนืด (Viscous liquid) คือเมื่อได้รับแรงกระทำจะเกิดการผิดรูปโดยไม่กลับคืนรูปเดิม เกิดการสูญเสียพลังงานไปอยู่ในรูปความร้อนสะสมของวัสดุสูง พบว่าเทอร์โมพลาสติกวัลคainซ์มีค่ามอดุลสสูญเสียเพิ่มขึ้นตามปริมาณของยางรีเคลมในสัดส่วนของเพสยางที่เพิ่มขึ้น เนื่องจากในยางรีเคลมนี้มีสารตัวเติมเข้มข้นทำให้สามารถลดการสูญเสียพลังงานได้ดีกว่า แต่เมื่อพิจารณาค่าแทนเจนต์สูญเสีย ( $\tan \delta$ ) แสดงในรูปที่ 4.68 จะเห็นว่าความถี่เดียวกันค่า  $\tan \delta$  ของเทอร์โมพลาสติกวัลคainซ์กลับมีแนวโน้มลดลงตามปริมาณของยางรีเคลมในสัดส่วนของเพสยางที่เพิ่มขึ้น แสดงถึงวัสดุมีพฤติกรรมการตอบสนองต่อความยืดหยุ่น (Elastic response) สูงกว่าการตอบสนองต่อการไหลหนืด (Viscous response) คือมีความหน่วง (Damping) ในพอลิเมอร์ต่ำ ซึ่งผลการทดลองนี้ส่วนทางกับค่ามอดุลสสูญเสียที่เพิ่มขึ้น ซึ่งน่าจะเป็นผลจากการต่ำกว่าระหัวงการเสริมแรงของเข้มข้นทำกับน้ำหนักไม่เกิดของยางรีเคลม

#### 4.5.6 การศึกษาอิทธิพลของอัตราส่วนการเบلنด์ต่อสัมฐานวิทยาของเทอร์โมพลาสติกวัลค่าในซึ่จากการเบلنด์ระหว่าง NR/RR/PEC

นำเทอร์โมพลาสติกวัลค่าในซึ่จากการเบلنด์ระหว่าง NR/RR/PEC ที่แปรอัตราส่วนการเบلنด์มาศึกษาสัมฐานวิทยา ได้ผลการทดลองแสดงดังรูปที่ 4.69 พบว่าเมื่อใช้อัตราส่วนการเบلنด์ที่ต่างกันจะให้ลักษณะสัมฐานวิทยาของเทอร์โมพลาสติกวัลค่าในซึ่ที่แตกต่างกัน พบว่าเทอร์โมพลาสติกวัลค่าในซึ่ที่เตรียมโดยใช้ที่อัตราส่วนเบلنด์ 60/0/40 ลักษณะสัมฐานวิทยามีความสม่ำเสมอมากที่สุดและเมื่อปริมาณของยางรีเคลมในสัดส่วนของเฟสยางเพิ่มขึ้นจะทำให้อนุภาคยางมีขนาดเล็กลง แต่มีความชรุขระเพิ่มขึ้น เนื่องจากเมื่อยางรีเคลมในสัดส่วนของเฟสยางเพิ่มขึ้นจะเกิดการรวมตัวกันเป็นกลุ่มก้อน (Agglomerate) มากขึ้น ทำให้เกิดเป็นกลุ่มก้อนขนาดใหญ่ขึ้นตามปริมาณยางรีเคลม ส่งผลให้เกิดความชรุขระและความไม่เข้ากันระหว่างเฟสเพิ่มขึ้น ทำให้เกิดเป็นจุดอ่อนและระหว่างสายโซ่โมเลกุลทำให้มีสมบัติเชิงกลด้อยลง

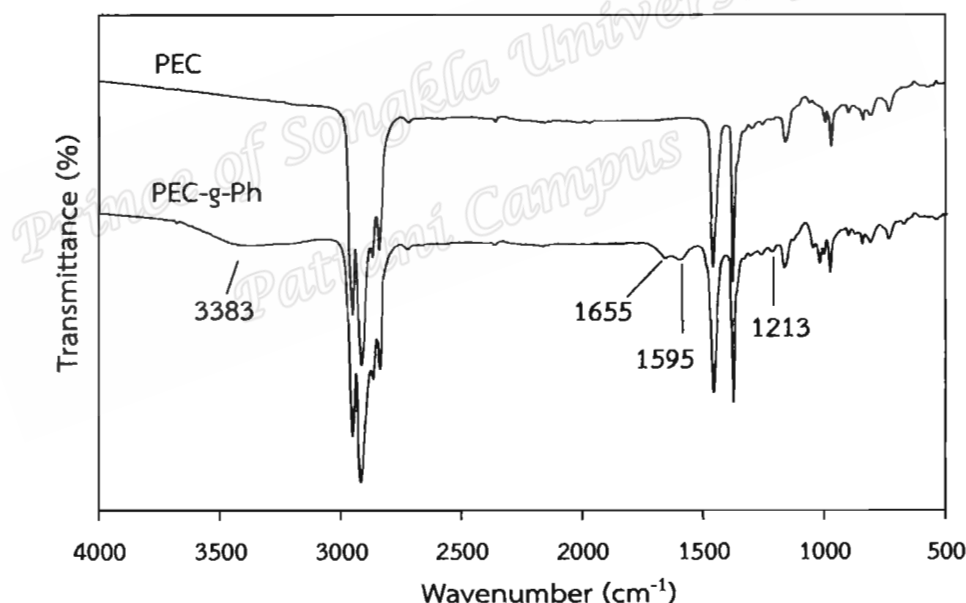


รูปที่ 4.69 ลักษณะสัมผaanวิทยาของเทอร์โมพลาสติกวัลคainซึ่งจากการเบلنด์ NR/RR/PEC เมื่อ  
แปรอัตราส่วนการเบلنด์

4.6 การศึกษาอิทธิพลของการใช้สารเพิ่มความเข้ากันได้ชนิดกราฟต์โคโพลิเมอร์ของโพรพิลีน เอทิลีนโคโพลิเมอร์กับฟินอลิกเรซิน (Propylene-ethylene copolymer grafted phenolic resin, PEC-g-Ph) ร่วมกับวิธีการปรับปรุงความเข้ากันได้โดยใช้สารตัดแปรต่อสมบัติ เทอร์โมพลาสติกวัลค่าในช่วงจากการเบلنต์ระหว่างยางธรรมชาติ ยางรีเคลม และโพรพิลีน เอทิลีนโคโพลิเมอร์

#### 4.6.1 การวิเคราะห์โครงสร้างทางเคมีของกราฟต์โคโพลิเมอร์ของโพรพิลีนเอทิลีนโคโพลิเมอร์กับฟินอลิกเรซิน (PEC-g-Ph) เพื่อใช้เป็นสารเพิ่มความเข้ากันได้ (Compatibilizer)

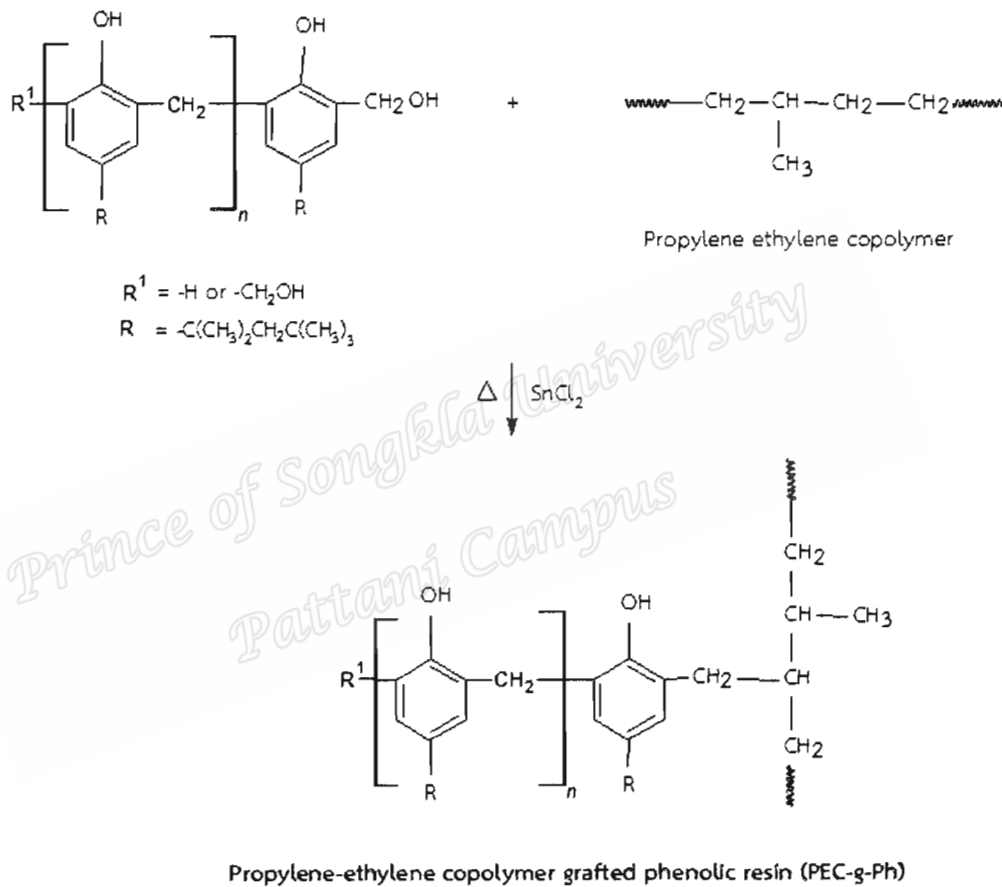
ตัดแปรโมเลกุลของโพรพิลีนเอทิลีนโคโพลิเมอร์ด้วยฟินอลิกเรซินชนิด HRJ-10518 ตามวิธีการในหัวข้อที่ 3.3.6 โดยทำปฏิกิริยาในสภาพะหลอม จากนั้นนำไปวิเคราะห์การเกะติดของฟินอลิกเรซินบนโมเลกุลของโพรพิลีนเอทิลีนโคโพลิเมอร์ด้วยเครื่อง FTIR แสดงดังรูปที่ 4.70



รูปที่ 4.70 สเปกตรัม FTIR ของกราฟต์โคโพลิเมอร์ของโพรพิลีนเอทิลีนโคโพลิเมอร์กับฟินอลิกเรซิน เปรียบเทียบกับสเปกตรัมของโพรพิลีนเอทิลีนโคโพลิเมอร์

จากรูปที่ 4.70 แสดงสเปกตรัม FTIR ของกราฟต์โคโพลิเมอร์ของโพรพิลีนเอทิลีนโค พолิเมอร์ กับฟินอลิกเรซิน (PEC-g-Ph) เปรียบเทียบกับสเปกตรัมของโพรพิลีนเอทิลีนโคโพลิเมอร์ (PEC) จะเห็นว่าสเปกตรัมของสารเพิ่มความเข้ากันได้ PEC-g-Ph จะปรากฏแบบการดูดกลืนที่ ตำแหน่งเลขคลื่น  $3383\text{ cm}^{-1}$  ซึ่งเป็นพีคที่เกิดจากการสั่นแบบบีดของพันธะไฮโดรเจนในหมู่ฟินอล (Hydrogen bonding of phenol) และพบพีคที่ตำแหน่งเลขคลื่น  $1597\text{ cm}^{-1}$  และ  $1656\text{ cm}^{-1}$

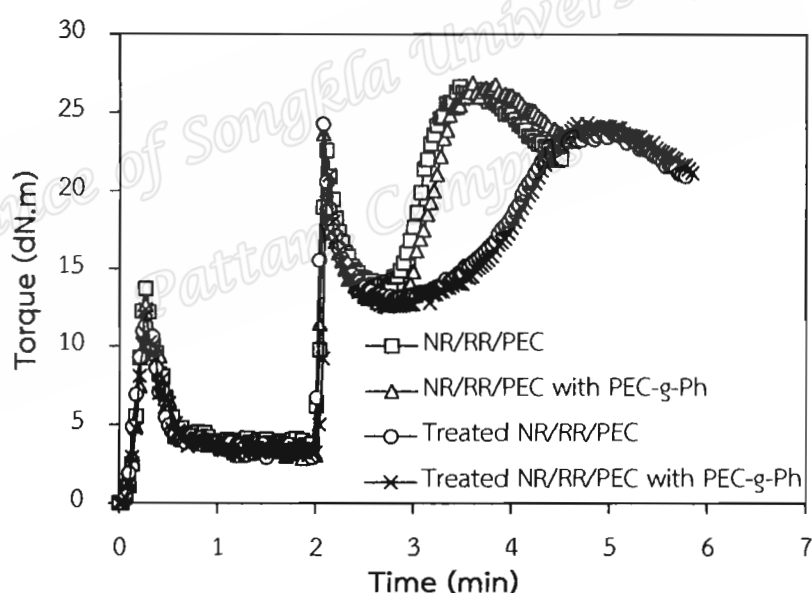
แสดงถึงการสั่นแบบยีดของหมู่  $-C=C$  ในวงแหวนอะโรมาติก ( $-C=C$  stretching of aromatic rings of phenol) รวมถึงจะปรากฏแถบการดูดกลืนที่ตำแหน่งเลขคลื่น  $1213\text{ cm}^{-1}$  จากการสั่นแบบยีดของพันธะ  $-C-O$  ( $-C-O$  stretching of aromatic rings of phenol) (Nakason *et al.*, 2006b และ Wongthong *et al.*, 2015) โดยพีคที่ปรากฏที่ตำแหน่งเลขคลื่นต่างๆ ที่กล่าวมาแสดงถึงการมีฟิโนลิกเรซินที่กราฟต์บนโลเลกุลของโพร์พลีนเอทธิลีนโคพอลิเมอร์ การเกิดปฏิกิริยาที่เป็นไปได้ระหว่างฟิโนลิกเรซินกับโพร์พลีนเอทธิลีนโคพอลิเมอร์แสดงดังรูปที่ 4.71



รูปที่ 4.71 ปฏิกิริยาที่เป็นไปได้ระหว่างฟิโนลิกเรซินกับโพร์พลีนเอทธิลีนโคพอลิเมอร์ (ดัดแปลงจาก Nakason *et al.*, 2006b)

#### 4.6.2 การศึกษาอิทธิพลของการใช้สารเพิ่มความเข้ากันได้ชนิด PEC-g-Ph ร่วมกับการใช้สารดัดแปรพินอลิกเรซินต่อพฤติกรรมการผสมในการเตรียมเทอร์โมพลาสติกวัลค่าในชีจากการเบلنด์ NR/RR/PEC

เตรียมเทอร์โมพลาสติกวัลค่าในชีจากการเบلنด์ระหว่างยางธรรมชาติ ยางรีเคลม และโพรพลีนเอทิลีนโคลอเมอร์ด้วยวิธีการผสมแบบ Melt mixing method ทำการศึกษาผลของการใช้สารเพิ่มความเข้ากันได้ชนิด PEC-g-Ph ร่วมกับวิธีการปรับปรุงความเข้ากันได้โดยใช้สารดัดแปรชนิดพินอลิกเรซิน (เดิมโดยตรง) ตามวิธีการทดลองในหัวข้อที่ 3.3.6 แสดงกราฟความสัมพันธ์ระหว่างทอร์กการผสมกับเวลาการผสม ดังแสดงในรูปที่ 4.72 โดยกำหนดให้ NR/RR/PEC แทนสูตรควบคุม (Control) ที่ไม่ใช้สารดัดแปรและสารเพิ่มความเข้ากันได้ Treated NR/RR/PEC แทนสูตรที่ใช้สารดัดแปร NR/RR/PEC with PEC-g-Ph แทนสูตรที่มีการใช้สารเพิ่มความเข้ากันได้ และ Treated NR/RR/PEC with PEC-g-Ph แทนสูตรที่มีการใช้สารดัดแปรและการใช้สารเพิ่มความเข้ากันได้ร่วมกัน



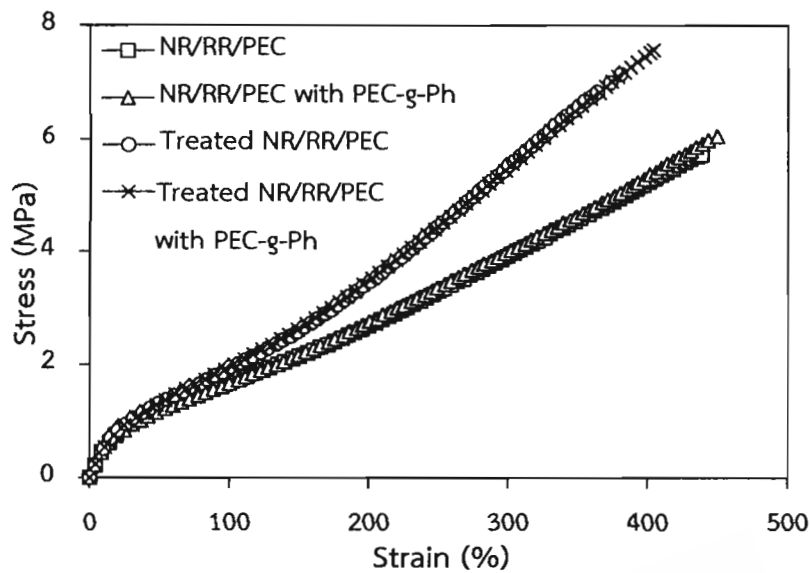
รูปที่ 4.72 ความสัมพันธ์ระหว่างค่าทอร์กกับเวลาการผสมของเทอร์โมพลาสติกวัลค่าในชีเมื่อใช้สารเพิ่มความเข้ากันได้ชนิด PEC-g-Ph ร่วมกับการใช้สารดัดแปรพินอลิกเรซิน

จากรูปที่ 4.72 พบร่วมค่าทอร์กการผสมในสูตร NR/RR/PEC และ NR/RR/PEC with PEC-g-Ph ซึ่งไม่ใส่สารดัดแปรพินอลิกเรซินให้ลักษณะทอร์กการผสมที่เหมือนกันในขณะที่ในสูตร Treated NR/RR/PEC และ Treated NR/RR/PEC with PEC-g-Ph ซึ่งเป็นสูตรที่ใช้เป็นสารดัดแปรพินอลิกเรซินจะให้ลักษณะของทอร์กการผสมเหมือนกัน โดยเมื่อเปรียบเทียบทอร์กการผสมในกรณี

ของการใช้และไม่ใช้สารดัดแปรพินอลิกเรชิน (Untreated and treated) พบว่าทอร์กการผสมจะให้ลักษณะเช่นเดียวกับการศึกษาอิทธิพลวิธีการผสมสารดัดแปร และการศึกษาอิทธิพลของปริมาณสารดัดแปรในหัวข้อที่ 4.3 และ 4.4 ตามลำดับ กล่าวคือเมื่อใช้สารดัดแปรทำให้ทอร์กการผสมในช่วงของการเกิดการวัลภาชนะซึ่งแบบใหม่จะมีระยะเวลาในการเกิดการวัลภาชนะที่นานกว่าสูตรที่ไม่ใช้สารดัดแปร เนื่องจากการใช้พินอลิกเรชินเป็นสารดัดแปรร่วมกับวิธีการเตรียมแบบ Melt mixing method จะผสมพินอลิกเรชินกับยางเรซิโนลในขันตอนแรกก่อนนำไปเตรียมเป็นยางพawanด์และเทอร์โมพลาสติกวัลภาชนะซึ่งได้ชั้ลงซึ่งได้อธิบายไปแล้วในรูปที่ 4.15 ในขณะที่เมื่อเปรียบเทียบลักษณะของทอร์กการผสมเมื่อใช้และไม่ใช้สารเพิ่มความเข้ากันได้ชนิด PEC-g-Ph กับพบว่ามีลักษณะของทอร์กการผสมที่ไม่แตกต่างกัน

#### 4.6.3 การศึกษาอิทธิพลของการใช้สารเพิ่มความเข้ากันได้ชนิด PEC-g-Ph ร่วมกับการใช้สารดัดแปรพินอลิกเรชินต่อสมบัติเชิงกลของเทอร์โมพลาสติกวัลภาชนะจากการเบلنด์ระหว่าง NR/RR/PEC

นำเทอร์โมพลาสติกวัลภาชนะที่เตรียมจากการเบلنด์ NR/RR/PEC ที่ศึกษาผลของการใช้สารเพิ่มความเข้ากันได้ชนิด PEC-g-Ph มาศึกษาสมบัติเชิงกล ได้กราฟความสัมพันธ์ระหว่างความเค้นกับความเครียดของเทอร์โมพลาสติกวัลภาชนะดังแสดงในรูปที่ 4.73 พบว่าเมื่อเปรียบเทียบระหว่างเทอร์โมพลาสติกวัลภาชนะที่ใช้และไม่ใช้สารดัดแปรพินอลิกเรชิน พบว่าเทอร์โมพลาสติกวัลภาชนะสูตรที่ใช้สารดัดแปรพินอลิกเรชิน (Treated NR/RR/PEC และ Treated NR/RR/PEC with PEC-g-Ph) มีความแข็งตึงสูงกว่าสูตรที่ไม่ใช้สารดัดแปรพินอลิกเรชิน (NR/RR/PEC และ NR/RR/PEC with PEC-g-Ph) ในขณะที่เมื่อเปรียบเทียบระหว่างเทอร์โมพลาสติกวัลภาชนะสูตรที่ใช้และไม่ใช้สารเพิ่มความเข้ากันได้ชนิด PEC-g-Ph พบว่าเส้นกราฟให้ลักษณะที่ซ้อนทับกันไม่สามารถเห็นผลการทดลองที่ชัดเจน นอกจากนี้จุดขาดของกราฟความสัมพันธ์ระหว่างความเค้นและความเครียดสามารถนำมาคำนวณหาค่าความต้านทานต่อแรงดึง และความสามารถในการยืดจนขาดของเทอร์โมพลาสติกวัลภาชนะแสดงผลดังตารางที่ 4.15 รวมถึงแสดงค่าความสามารถในการคืนรูปและความแข็ง

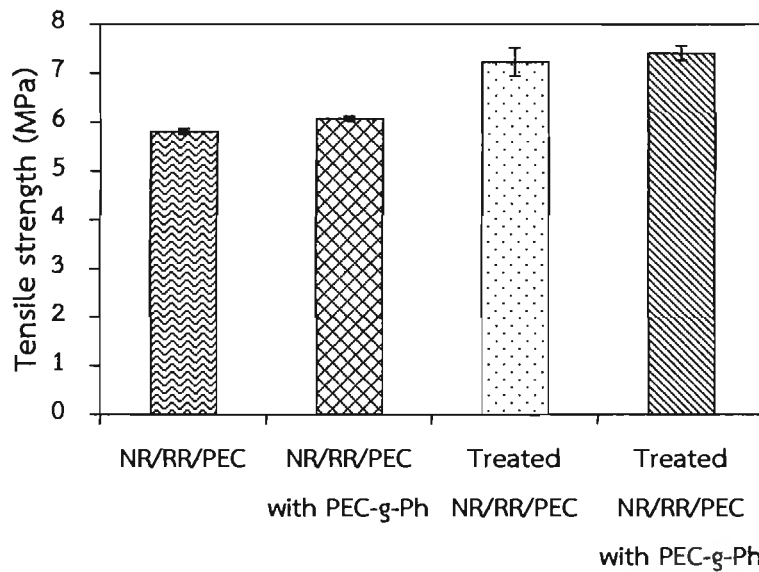


รูปที่ 4.73 ความสัมพันธ์ระหว่างความเค้นกับความเครียดของเทอร์โมพลาสติกวัลคานิซจากการเบلنด์ NR/RR/PEC เมื่อใช้สารเพิ่มความเข้ากันได้ชนิด PEC-g-Ph ร่วมกับการใช้สารดัดแปรพินอลิกเรชิน

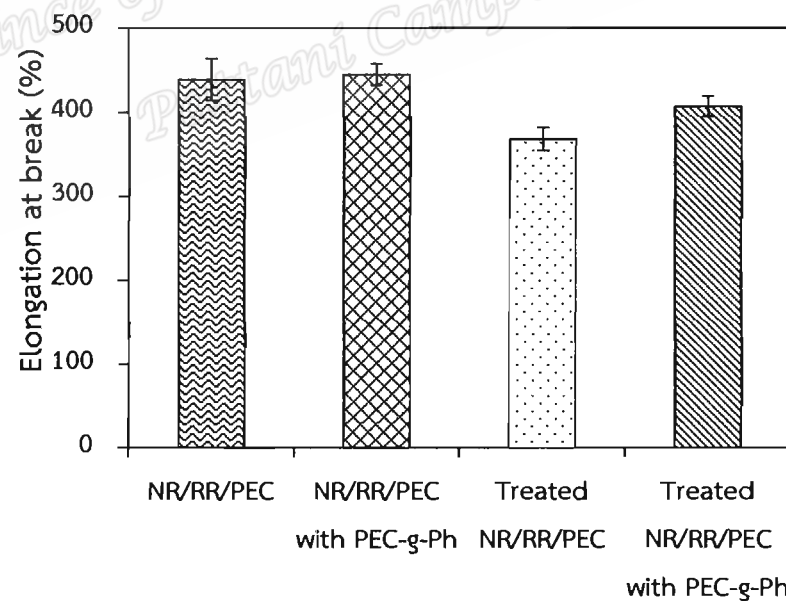
ตารางที่ 4.15 สมบัติเชิงกลของของเทอร์โมพลาสติกวัลคานิซจากการเบلنด์ NR/RR/PEC เมื่อใช้สารเพิ่มความเข้ากันได้ชนิด PEC-g-Ph ร่วมกับการใช้สารดัดแปรพินอลิกเรชิน

Blend	Tensile strength (MPa)	Elongation at break (%)	Tension set (%)	Hardness (shore A)
NR/RR/PEC	5.81±0.06	439±24.64	6.28±0.21	52
NR/RR/PEC with PEC-g-Ph	6.07±0.05	445±12.64	6.25±0.20	54
Treated NR/RR/PEC	7.23±0.29	368±13.74	5.52±0.35	57
Treated NR/RR/PEC with PEC-g-Ph	7.41±0.15	407±12.36	5.55±0.05	58

จากตารางที่ 4.15 สามารถเขียนกราฟความสัมพันธ์ระหว่างความต้านทานต่อแรงดึง ความสามารถในการยึดจันขาด ความสามารถในการคืนรูป และความแข็ง เมื่อใช้สารเพิ่มความเข้ากันได้ชนิด PEC-g-Ph ร่วมกับการใช้สารดัดแปรพินอลิกเรชินดังรูปที่ 4.74, 4.75, 4.77 และ 4.78 ตามลำดับ

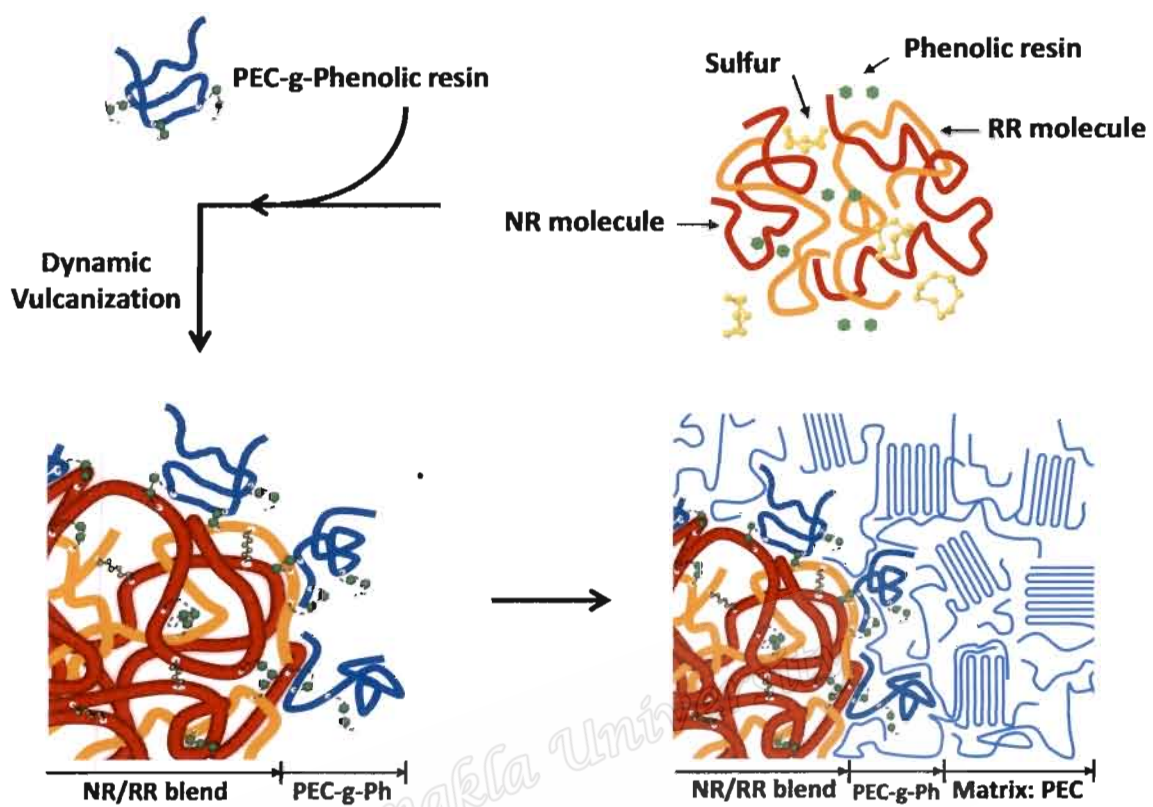


รูปที่ 4.74 ความต้านทานต่อแรงดึงและความสามารถในการยึดจันขาดของเทอร์โมพลาสติกวัลค้านี้จากการเบلنด์ NR/RR/PEC เมื่อใช้สารเพิ่มความเข้ากันได้ชนิด PEC-g-Ph ร่วมกับการใช้สารดัดแปรพิโนลิกเรซิน

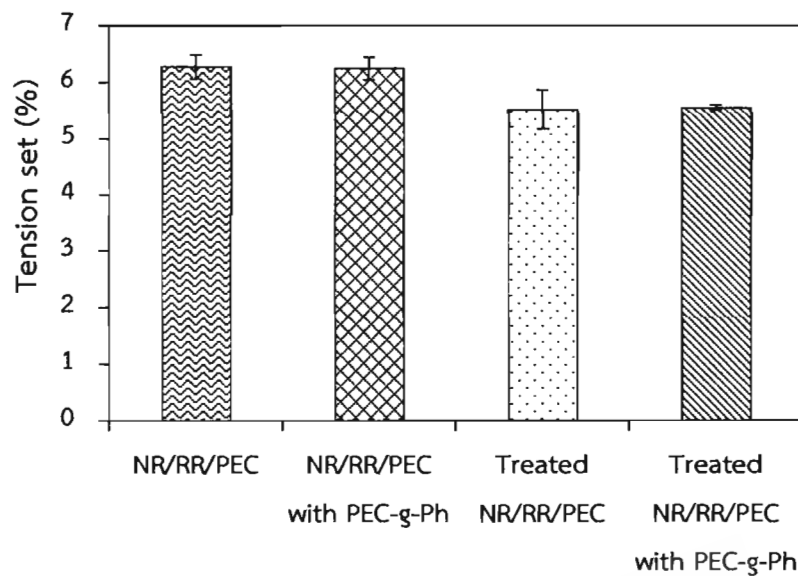


รูปที่ 4.75 ความต้านทานต่อแรงดึงและความสามารถในการยึดจันขาดของเทอร์โมพลาสติกวัลค้านี้จากการเบلنด์ NR/RR/PEC เมื่อใช้สารเพิ่มความเข้ากันได้ชนิด PEC-g-Ph ร่วมกับการใช้สารดัดแปรพิโนลิกเรซิน

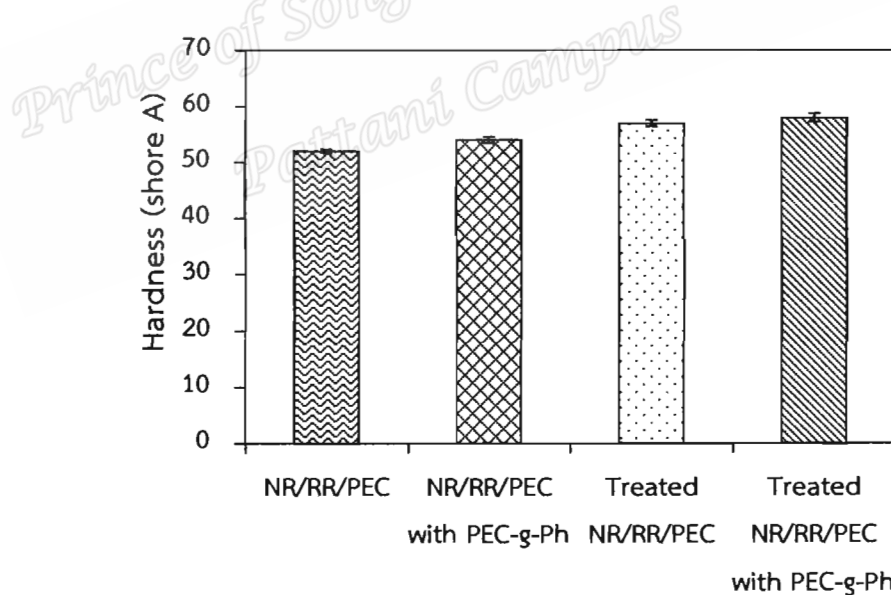
จากรูปที่ 4.74 และ 4.75 แสดงการเปรียบเทียบระหว่างการใช้และไม่ใช้สารดัดแปรพบว่าการใช้สารดัดแปรพินอลิกเรซินให้ค่าความต้านทานต่อแรงดึงเพิ่มขึ้น ในขณะที่ความสามารถในการยึดจันขาดลดลง เนื่องจากการใช้พินอลิกเรซินเป็นสารดัดแปรจะช่วยปรับปรุงความเข้ากันได้ระหว่างเฟสยางรีเคลมและยางธรรมชาติได้ ซึ่งเกิดจากการที่หมู่เมทิลลออลในพินอลิกเรซินเกิดปฏิกิริยากับพันธะคุณในสายโซ่โมเลกุลของยาง (Nakason *et al.*, 2006b) ทำให้ช่วยเพิ่มแรงยึดเหนี่ยวระหว่างเฟส ในขณะที่เมื่อเปรียบเทียบระหว่างการใช้และไม่ใช้สารเพิ่มความเข้ากันได้ชนิด PEC-g-Ph พบว่าเมื่อใช้สารเพิ่มความเข้ากันได้ชนิด PEC-g-Ph ทำให้ค่าความต้านทานต่อแรงดึงและความสามารถในการยึดจันขาดเพิ่มขึ้นเล็กน้อย และพบว่าการใช้สารดัดแปรพินอลิกเรซินร่วมกับสารเพิ่มความเข้ากันได้ชนิด PEC-g-Ph (Treated NR/RR/PECwith PEC-g-Ph) ให้ค่าความต้านทานต่อแรงดึงสูงที่สุด เนื่องจากผลของการใช้พินอลิกเรซินเป็นสารดัดแปรมีความสามารถช่วยปรับปรุงความเข้ากันได้ระหว่างเฟสยางรีเคลมและยางธรรมชาติ และเมื่อใช้ร่วมกับสารเพิ่มความเข้ากันได้ชนิด PEC-g-Ph ช่วยเพิ่มความเข้ากันได้ระหว่างเฟสยางกับเฟสพลาสติก เนื่องจาก PEC-g-Ph เป็นสารเพิ่มความเข้ากันได้ที่มีโครงสร้างส่วนหนึ่งเป็นโมเลกุลของโพร์พลีนเอทธิลีนโคพอลิเมอร์ทำให้สามารถเบลนด์เข้าโพร์พลีนเอทธิลีนโคพอลิเมอร์ได้ แสดงลักษณะการเกิดปฏิกิริยาที่เป็นไปได้เมื่อใช้สารดัดแปรพินอลิกเรซินร่วมสารเพิ่มความเข้ากันได้ PEC-g-Ph ดังรูปที่ 4.76 โดยที่สารเพิ่มความเข้ากันได้จะเข้าไปเป็นตัวประสานที่ผิวประจุ (Interface) ของหั้งสองเฟสซึ่งส่งผลต่อการเกิดอันตรกิริยาระหว่างเฟสของยางและเฟสพลาสติกทำให้มีแรงยึดเหนี่ยวระหว่างเฟสที่ดี และมีโอกาสทำให้เฟสยางเกิดการกระจายอย่างสม่ำเสมอมากขึ้น จึงส่งผลให้เทอร์โมพลาสติกวัลคานิซมีสมบัติเชิงกลดีขึ้น



รูปที่ 4.76 การเกิดปฏิกิริยาที่เป็นไปได้เมื่อใช้สารดัดแปรพิโนลิกเรซินร่วมสารเพิ่มความเข้ากันได้ PEC-g-Ph



รูปที่ 4.77 การผิดรูปการแบบดึงของเทอร์โมพลาสติกวัลคาในซ์จากการเบلنด์ NR/RR/PEC เมื่อใช้สารเพิ่มความเข้ากันได้ชนิด PEC-g-Ph ร่วมกับการใช้สารดัดแปรพิโนลิกเรชิน

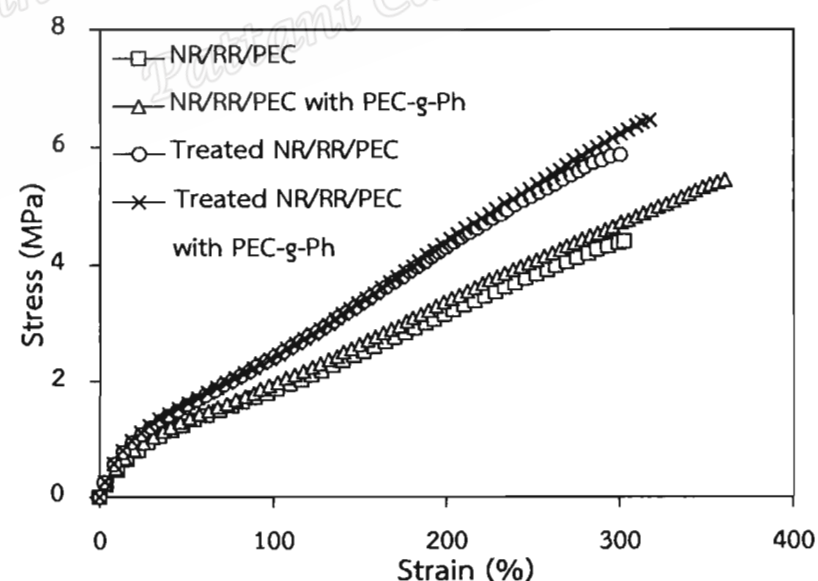


รูปที่ 4.78 ความแข็งของเทอร์โมพลาสติกวัลคาในซ์จากการเบلنด์ NR/RR/PEC เมื่อใช้สารเพิ่มความเข้ากันได้ชนิด PEC-g-Ph ร่วมกับการใช้สารดัดแปรพิโนลิกเรชิน

จากรูปที่ 4.77 พบว่าเทอร์โมพลาสติกวัลคานิซมีความสามารถในการคืนรูปเพิ่มขึ้น (Tension set ลดลง) เมื่อใช้สารดัดแปรพินอลิกเรซิน ซึ่งเกิดจากการที่พินอลิกเรซินเข้าไปช่วยเพิ่มความเข้ากันได้ระหว่างเฟสยางดังที่กล่าวไว้ข้างต้น และเมื่อเปรียบเทียบการใช้และไม่ใช้สารเพิ่มความเข้ากันได้ชนิด PEC- $\gamma$ -Ph พบว่าเทอร์โมพลาสติกวัลคานิซมีค่าความสามารถในการคืนรูปไม่แตกต่างกัน ผลการวัดความแข็งแส้งในรูปที่ 4.78 พบว่าให้ผลเช่นเดียวกันกับค่าความสามารถในการคืนรูป กล่าวคือความแข็งมีค่าเพิ่มขึ้นเมื่อใช้สารดัดแปรพินอลิกเรซิน และเทอร์โมพลาสติกวัลคานิซจะมีความแข็งไม่แตกต่างกันเมื่อใช้สารเพิ่มความเข้ากันได้ชนิด PEC- $\gamma$ -Ph

#### 4.6.4 การศึกษาอิทธิพลของการใช้สารเพิ่มความเข้ากันได้ชนิด PEC- $\gamma$ -Ph ร่วมกับการใช้สารดัดแปรพินอลิกเรซินต่อสมบัติเชิงกลภายหลังบ่มเร่งของเทอร์โมพลาสติกวัลคานิซจากการเบلنด์ระหว่าง NR/RR/PEC

นำเทอร์โมพลาสติกวัลคานิซที่เตรียมจากการเบلنด์ NR/RR/PEC ที่ศึกษาผลของการใช้สารเพิ่มความเข้ากันได้ชนิด PEC- $\gamma$ -Ph มาทดสอบความต้านทานต่อการบ่มเร่งที่อุณหภูมิ 100°C เป็นเวลา 22 ชั่วโมง จากนั้นนำตัวอย่างออกพักทิ้งไว้ที่อุณหภูมิห้องอย่างน้อย 16 ชั่วโมงก่อนนำไปทดสอบสมบัติเชิงกลได้กราฟความสัมพันธ์ระหว่างความเค้นกับความเครียดของเทอร์โมพลาสติกวัลคานิซดังแสดงในรูปที่ 4.79



รูปที่ 4.79 ความสัมพันธ์ระหว่างความเค้นกับความเครียดภายหลังบ่มเร่งของเทอร์โมพลาสติกวัลคานิซจากการเบلنด์ NR/RR/PEC เมื่อใช้สารเพิ่มความเข้ากันได้ชนิด PEC- $\gamma$ -Ph ร่วมกับการใช้สารดัดแปรพินอลิกเรซิน

จากรูปที่ 4.79 พบร&gt; เทอร์โมพลาสติกวัลคานิชหลังจากนำไปบ่มเร่งที่อุณหภูมิ 100°C เป็นเวลา 22 ชั่วโมงแสดงพฤติกรรมการผิดรูปภายใต้แรงคันไม้ได้แตกต่างจากเทอร์โมพลาสติกวัลคานิชก่อนบ่มเร่ง กล่าวคือเมื่อพิจารณาดูลักษณะยีดเดียวกันพบว่าเทอร์โมพลาสติกวัลคานิชที่ใช้สารดัดแปรฟินอลิกเรซินจะให้มอดลักษณะสูงกว่าเทอร์โมพลาสติกวัลคานิชที่ไม่ใช้สารดัดแปรฟินอลิกเรซิน และเมื่อเปรียบเทียบระหว่างการใช้และไม่ใช้สารเพิ่มความเข้ากันได้ชนิด PEC-g-Ph เทอร์โมพลาสติกวัลคานิชมีค่ามอดลักษณะไม่แตกต่างกัน แต่พบว่าการใช้สารเพิ่มความเข้ากันได้ชนิด PEC-g-Ph ทำให้เทอร์โมพลาสติกวัลคานิชมีความสามารถในการยึดจันขาดและความต้านทานต่อแรงดึงมากกว่าเทอร์โมพลาสติกวัลคานิชที่ไม่ใช้สารเพิ่มความเข้ากันได้เล็กน้อย และจากจุดขาดของกราฟความสัมพันธ์ระหว่างความคันและความเครียดสามารถนำมาระนาคานวนหาค่าความต้านทานต่อแรงดึงและความสามารถในการยึดจันขาดของเทอร์โมพลาสติกวัลคานิช แสดงดังตารางที่ 4.16 และ 4.17 รวมถึงแสดงเบอร์เซ็นต์การเปลี่ยนแปลงของสมบัติภายหลังบ่มเร่งด้วย

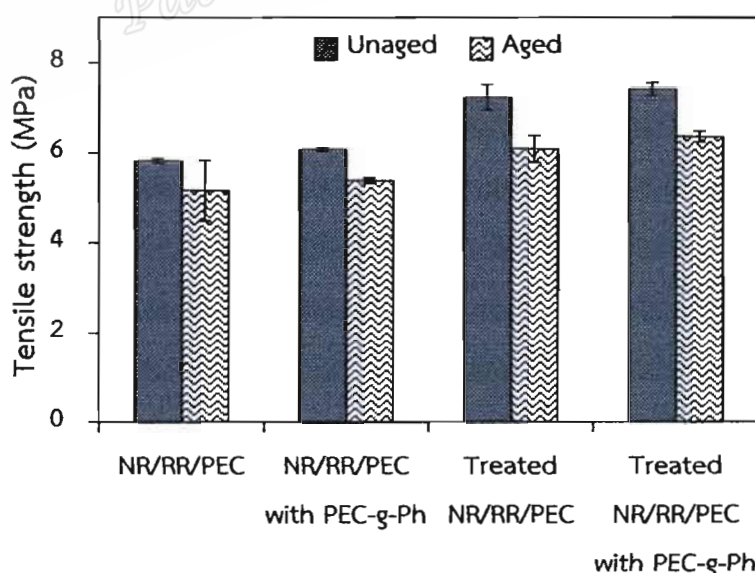
ตารางที่ 4.16 ความต้านทานต่อแรงดึงภายหลังบ่มเร่งของเทอร์โมพลาสติกวัลคานิชจากการเบلنด์ NR/RR/PEC เมื่อใช้สารเพิ่มความเข้ากันได้ชนิด PEC-g-Ph ร่วมกับการใช้สารดัดแปรฟินอลิกเรซิน

Blend	Tensile strength (MPa)		Change in property of tensile strength (%)
	Unaged	Aged	
NR/RR/PEC	5.81±0.06	5.16±0.67	-11.19
NR/RR/PEC with PEC-g-Ph	6.07±0.05	5.38±0.06	-11.37
Treated NR/RR/PEC	7.23±0.29	6.09±0.30	-15.77
Treated NR/RR/PEC with PEC-g-Ph	7.41±0.15	6.36±0.12	-14.17

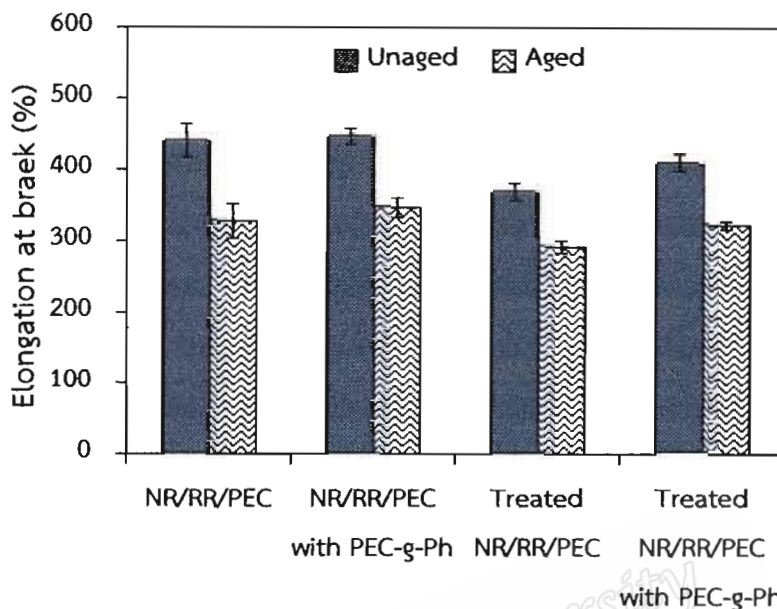
ตารางที่ 4.17 ความสามารถในการยึดจันขาดภายในช่วงเวลาที่ต้องการเบلنด์ NR/RR/PEC เมื่อใช้สารเพิ่มความเข้ากันได้ชนิด PEC-g-Ph ร่วมกับการใช้สารดัดแปรพิโนลิกเรซิน

Blend	Elongation at break (%)		Change in property of elongation at break (%)
	Unaged	Aged	
NR/RR/PEC	439±24.64	328±24.08	-25.28
NR/RR/PEC with PEC-g-Ph	445±12.64	347±13.47	-22.02
Treated NR/RR/PEC	368±13.74	292±8.59	-20.65
Treated NR/RR/PEC with PEC-g-Ph	407±12.36	322±5.71	-20.88

จากตารางที่ 4.16 และ 4.17 สามารถเขียนกราฟความสัมพันธ์ระหว่างความต้านทานต่อแรงดึง และความสามารถในการยึดจันขาดก่อนและหลังบ่มเร่งของเทอร์โมพลาสติกวัลค่าในช่วงเวลาที่ต้องการเพิ่มความเข้ากันได้ชนิด PEC-g-Ph ดังแสดงในรูปที่ 4.80 และ 4.81 รวมถึงแสดงกราฟเปอร์เซ็นต์การเปลี่ยนแปลงของสมบัติหลังบ่มเร่งในรูปที่ 4.82



รูปที่ 4.80 ความต้านทานต่อแรงดึงก่อนและหลังบ่มเร่งของเทอร์โมพลาสติกวัลค่าในช่วงเวลาที่ต้องการเบلنด์ NR/RR/PEC เมื่อใช้สารเพิ่มความเข้ากันได้ชนิด PEC-g-Ph ร่วมกับการใช้สารดัดแปรพิโนลิกเรซิน

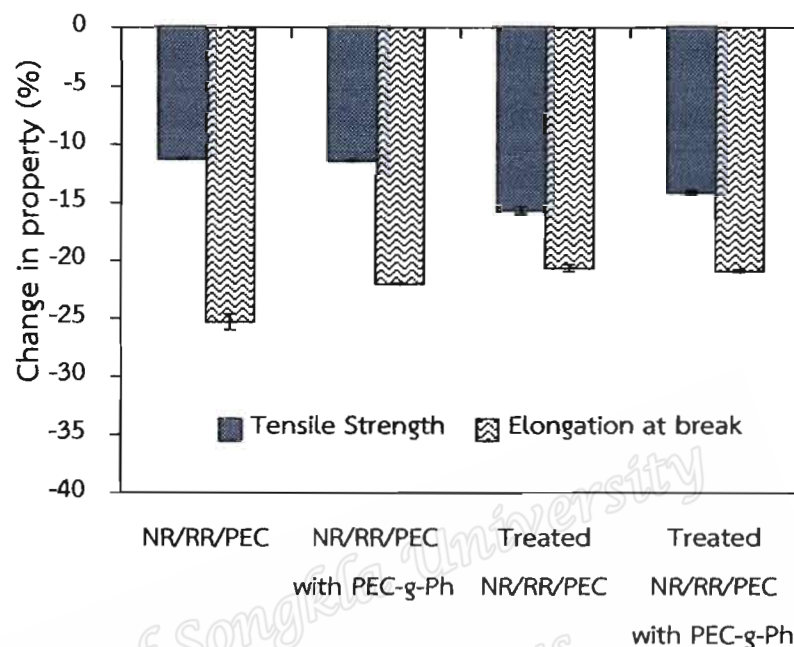


รูปที่ 4.81 ความสามารถในการยืดจนขาดก่อนและหลังบ่มเร่งของเทอร์โมพลาสติกวัลค้านิชจาก การเบلنด์ NR/RR/PEC เมื่อใช้สารเพิ่มความเข้ากันได้ชนิด PEC-g-Ph ร่วมกับการใช้สารดัดแปร พินอลิกเรชิน

จากรูปที่ 4.80 และ 4.81 พบว่าความต้านทานต่อแรงดึง และความสามารถในการยืดจนขาดภายในฟิล์มเทอร์โมพลาสติกวัลคานิชมีค่าน้อยกว่าก่อนบ่มเร่ง เนื่องจากผลของการเสื่อมสภาพในไฟสีเหลืองธรรมชาติภายในฟิล์มเทอร์โมพลาสติกวัลคานิชที่ไม่ใช้สารดัดแปรพินอลิกเรชินจะให้ผลการทดสอบคงทนต่อแรงดึงสูงกว่า ในขณะที่ความสามารถในการยืดจนขาดมีค่าต่ำอย่างมาก เมื่อเทียบกับฟิล์มที่ใช้สารดัดแปรพินอลิกเรชินที่ใช้สารดัดแปรพินอลิกเรชินจะให้ค่าความต้านทานต่อแรงดึงสูงกว่า ในขณะที่ความสามารถในการยืดจนขาดของเทอร์โมพลาสติกวัลคานิชที่ไม่ใช้สารดัดแปรพินอลิกเรชินจะให้ค่าความต้านทานต่อแรงดึงและความสามารถในการยืดจนขาดของเทอร์โมพลาสติกวัลคานิชเพิ่มขึ้น เล็กน้อย

เมื่อพิจารณาเปอร์เซ็นต์การเปลี่ยนแปลงสมบัติซึ่งแสดงในรูปที่ 4.82 พบว่าเปอร์เซ็นต์การเปลี่ยนแปลงสมบัติของค่าความต้านทานต่อแรงดึงและความสามารถในการยืดจนขาดมีค่าติดลบ และเทอร์โมพลาสติกวัลคานิชที่ใช้สารดัดแปรพินอลิกเรชินให้เปอร์เซ็นต์การเปลี่ยนแปลงสมบัติ ความต้านทานต่อแรงดึงมากกว่าเทอร์โมพลาสติกวัลคานิชที่ไม่ใช้สารดัดแปรเล็กน้อย ในขณะที่เปอร์เซ็นต์การเปลี่ยนแปลงสมบัติความสามารถในการยืดจนขาดต่ำกว่า นอกจากนี้พบว่าเทอร์โม

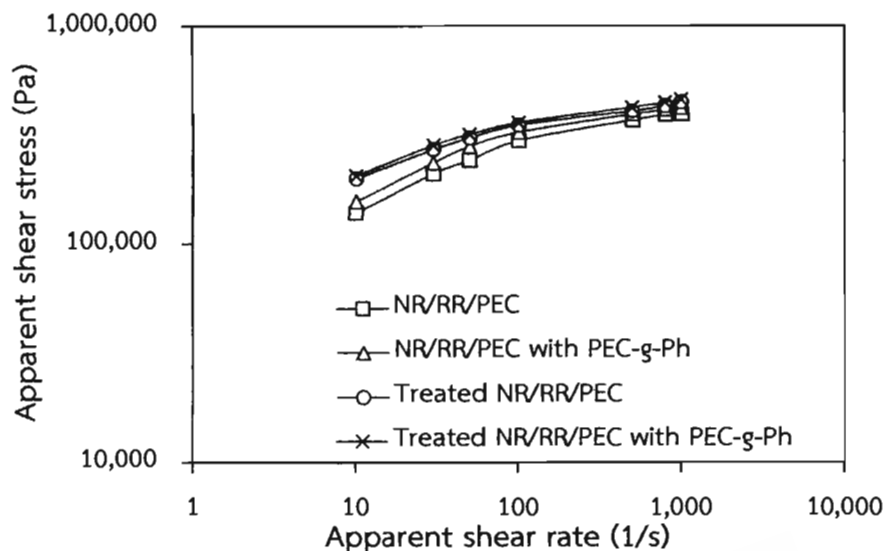
พลาสติกที่ใช้แล้วไม่ใช้สารเพิ่มความเข้ากันได้ชนิด PEC-g-Ph จะให้เปอร์เซ็นต์การเปลี่ยนแปลงสมบัติไม่แตกต่างกัน



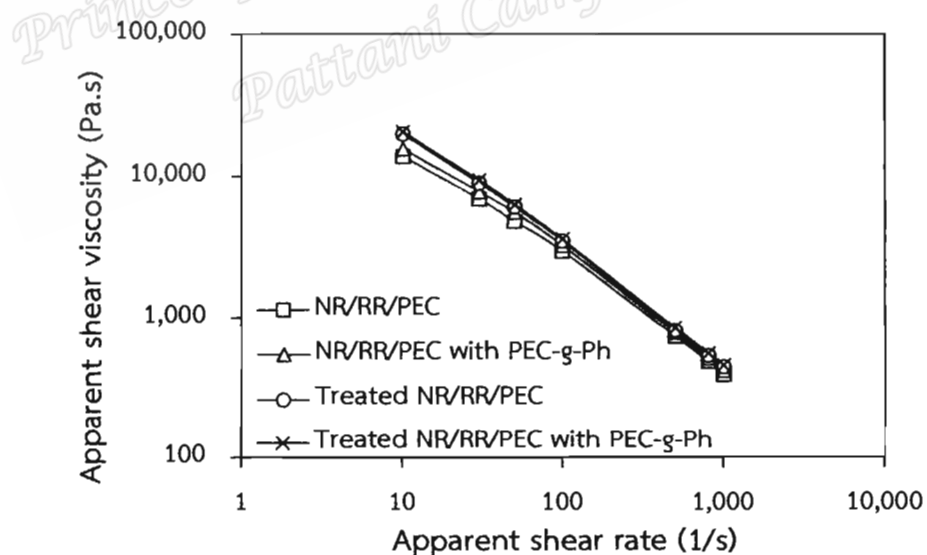
รูปที่ 4.82 เปอร์เซ็นต์การเปลี่ยนแปลงของสมบัติความต้านต่อแรงดึงและความสามารถในการยึดจันขาดภายในหลังบ่มเร่งของเทอร์โมพลาสติกวัลค่าในซึ่จากการเบلنด์ NR/RR/PEC เมื่อใช้สารเพิ่มความเข้ากันได้ชนิด PEC-g-Ph รวมกับการใช้สารตัดแปรพินอลิกเรชิน

#### 4.6.5 การศึกษาอิทธิพลของการใช้สารเพิ่มความเข้ากันได้ชนิด PEC-g-Ph ร่วมกับการใช้สารตัดแปรพินอลิกเรชินต่อสมบัติการไหลของเทอร์โมพลาสติกวัลค่าในซึ่จากการเบلنด์ระหว่าง NR/RR/PEC

นำเทอร์โมพลาสติกวัลค่าในซึ่ที่เตรียมได้มาทดสอบสมบัติการไหลตามวิธีการทดลอง ในหัวข้อที่ 3.8.5 เปรียบเทียบสมบัติการไหลของเทอร์โมพลาสติกวัลค่าในซึ่เพื่อศึกษาผลของการใช้สารเพิ่มความเข้ากันได้ชนิด PEC-g-Ph แสดงความสัมพันธ์ระหว่างความเค้นเฉือนปราภูกับอัตราเฉือนปราภู และความหนืดเฉือนปราภูกับอัตราเฉือนปราภูดังแสดงในรูปที่ 4.83 และ 4.84



รูปที่ 4.83 ความสัมพันธ์ระหว่างความเค้นเฉือนปราภูกับอัตราเฉือนปราภูของเทอร์โมพลาสติกวัลคานิซจากการเบلنด์ NR/RR/PEC เมื่อใช้สารเพิ่มความเข้ากันได้ชนิด PEC-g-Ph ร่วมกับการใช้สารดัดแปรพินอลิกเรชิน

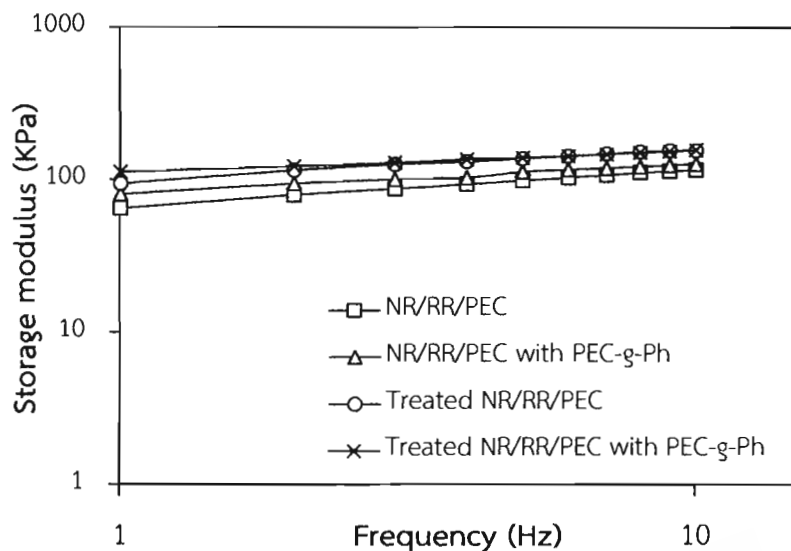


รูปที่ 4.84 ความสัมพันธ์ระหว่างความหนืดเฉือนปราภูกับอัตราเฉือนปราภูของเทอร์โมพลาสติกวัลคานิซจากการเบلنด์ NR/RR/PEC เมื่อใช้สารเพิ่มความเข้ากันได้ชนิด PEC-g-Ph ร่วมกับการใช้สารดัดแปรพินอลิกเรชิน

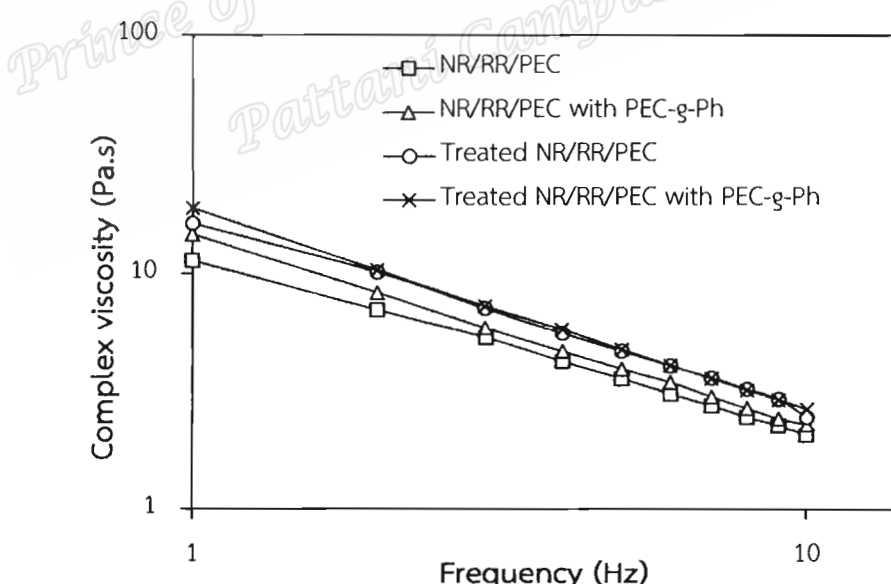
จากรูปที่ 4.83 และ 4.84 เมื่อพิจารณาที่อัตราเฉือนปราภูเดียวกันพบว่าเทอร์โมพลาสติกวัลค้านซ์ที่ใช้สารดัดแปรพินอลิกเรชิน ไม่ว่าจะมีหรือไม่มีการใช้สารเพิ่มความเข้ากันชนิด PEC-g-Ph (Treated NR/RR/PEC with PEC-g-Ph และ Treated NR/RR/PEC) ให้ค่าความเค้นเฉือนปราภูและความหนืดเฉือนปราภูใกล้เคียงกัน และมีค่ามากกว่าของเทอร์โมพลาสติกวัลค้านซ์ที่ไม่ใช้สารดัดแปรทั้ง 2 สูตร (NR/RR/PEC with PEC-g-Ph และ NR/RR/PEC) แสดงให้เห็นว่าการใช้สารดัดแปรพินอลิกเรชินทำให้เทอร์โมพลาสติกวัลค้านซ์เกิดการหลอมและเหลได้ยากขึ้น เนื่องจากผลของการเพิ่มความเข้ากันได้ระหว่างเฟสยางธรรมชาติกับยางรีเคลมด้วยพินอลิกเรชินที่ถูกผสมเข้ากับยางรีเคลมและยางธรรมชาติในขั้นตอนการเตรียมยางคอมพาวน์ นอกจากนี้การเพิ่มความเข้ากันได้ระหว่างเฟสต่างๆที่เกิดขึ้นอาจส่งผลให้ช่วยลดแรงตึงผิวและทำให้มีแรงยึดเหนี่ยวระหว่างเฟสเพิ่มมากขึ้น ทำให้การส่งผ่านแรงเค้นระหว่างเฟสยางและเฟสพลาสติกมีประสิทธิภาพมากขึ้น รวมถึงยังช่วยให้การลีน์ได้ระยะห่างผิวลดลง

#### 4.6.6 การศึกษาอิทธิพลของการใช้สารเพิ่มความเข้ากันได้ชนิด PEC-g-Ph ร่วมกับการใช้สารดัดแปรพินอลิกเรชินต่อสมบัติเชิงกลพลวัตของเทอร์โมพลาสติกวัลค้านซ์จากการเบلندرระหว่าง NR/RR/PEC

นำเทอร์โมพลาสติกวัลค้านซ์จากการเบلندرระหว่าง NR/RR/PEC โดยศึกษาผลของการใช้สารเพิ่มความเข้ากันได้ชนิด PEC-g-Ph นำมาทดสอบสมบัติเชิงกลพลวัตด้วยเครื่อง MDPT ตามวิธีการทดลองในหัวข้อที่ 3.8.6 ได้กราฟความสัมพันธ์ระหว่างมอดูลัสสหสม ความหนืดเชิงช้อน และ  $\tan \delta$  กับความถี่ ดังแสดงในรูปที่ 4.85-4.87 ตามลำดับ

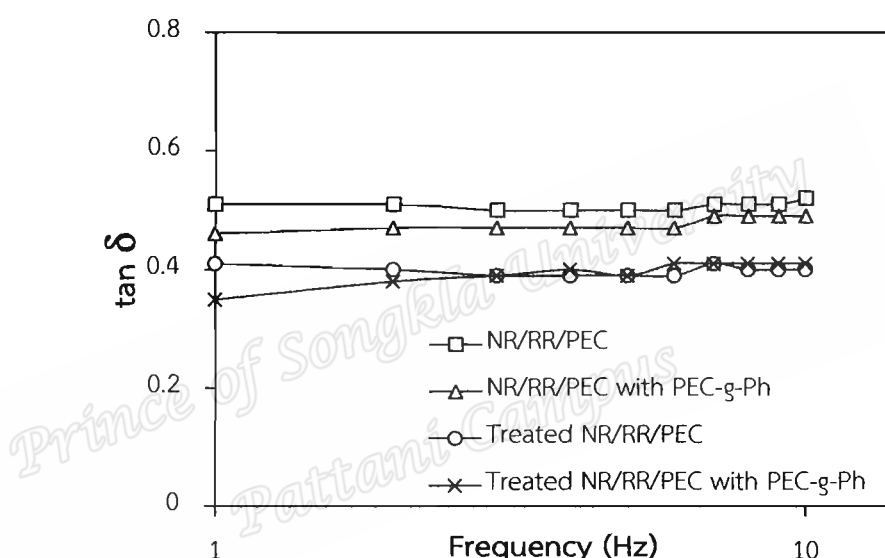


รูปที่ 4.85 ความสัมพันธ์ระหว่างมอดูลัสสีจะกับความถี่ของเทอร์โมพลาสติกวัลคาไนซ์จากการเบلنด์ NR/RR/PEC เมื่อใช้สารเพิ่มความเข้ากันได้ชนิด PEC-g-Ph ร่วมกับการใช้สารดัดแปลงฟินอลิกเรซิน



รูปที่ 4.86 ความสัมพันธ์ระหว่างความหนืดเชิงช้อนกับความถี่ของเทอร์โมพลาสติกวัลคาไนซ์จากการเบلنด์ NR/RR/PEC เมื่อใช้สารเพิ่มความเข้ากันได้ชนิด PEC-g-Ph ร่วมกับการใช้สารดัดแปลงฟินอลิกเรซิน

จากรูปที่ 4.85 และ 4.86 พบว่าเทอร์โมพลาสติกวัลคainซ์ที่มีการใช้สารดัดแปรพินอลิกเรชินให้มอดุลัสสะสมและความหนืดเชิงช้อนสูงกว่ากรณีไม่ใช้สารดัดแปรในการปรับปรุงความเข้ากันได้ ในขณะที่เมื่อเปรียบเทียบระหว่างการใช้และไม่ใช้สารเพิ่มความเข้ากันได้ชนิด PEC-g-Ph พบว่าเทอร์โมพลาสติกวัลคainซ์ที่มีการใช้สารเพิ่มความเข้ากันได้ชนิด PEC-g-Ph ให้มอดุลัสสะสมและความหนืดเชิงช้อนสูงกว่า แสดงให้เห็นว่าการใช้สารดัดแปรพินอลิกเรชินร่วมกับการใช้สารเพิ่มความเข้ากันได้ชนิด PEC-g-Ph ช่วยเสริมให้โมเลกุลของเทอร์โมพลาสติกวัลคainซ์มีความแข็งตึงมากขึ้นจึงต้านการบิดของโรเตอร์สูงและใกล้ได้มาก

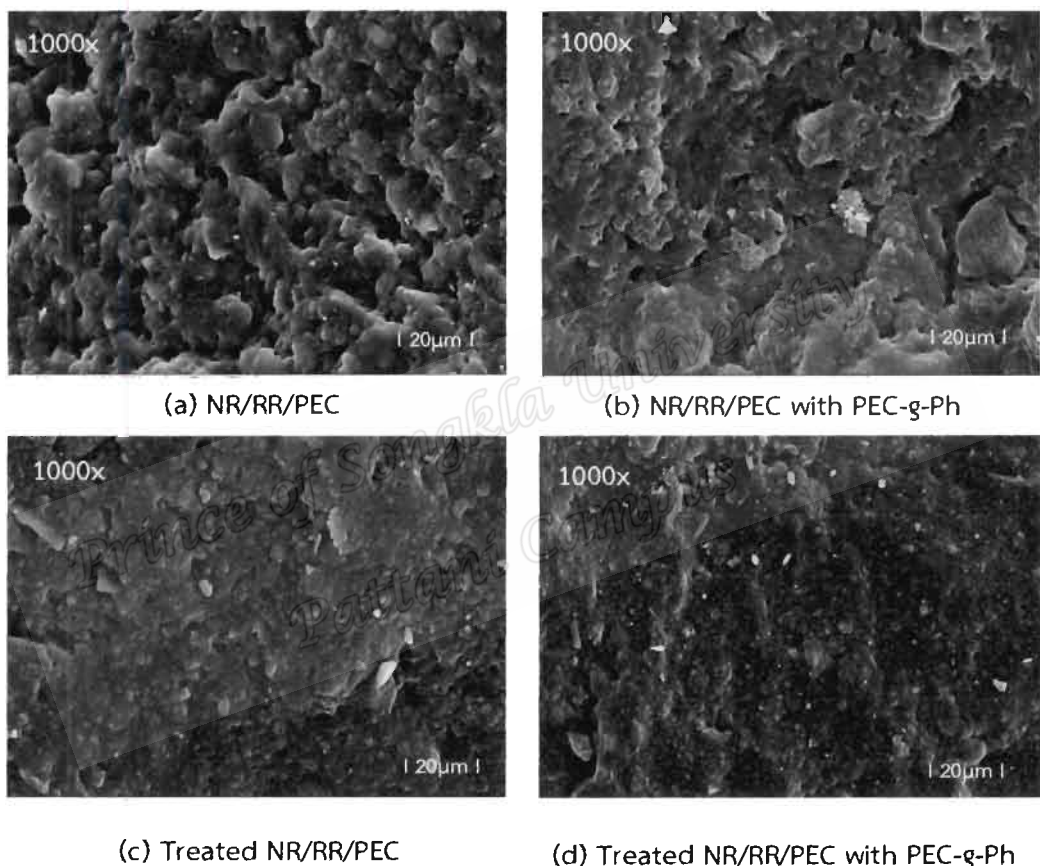


รูปที่ 4.87 ความสัมพันธ์ระหว่าง  $\tan \delta$  กับความถี่ของเทอร์โมพลาสติกวัลคainซ์จากการเบลนด์ NR/RR/PEC เมื่อใช้สารเพิ่มความเข้ากันได้ชนิด PEC-g-Ph ร่วมกับการใช้สารดัดแปรพินอลิกเรชิน

จากรูปที่ 4.87 เมื่อพิจารณาที่ความถี่เดียวกันพบว่าเทอร์โมพลาสติกวัลคainซ์สูตร NR/RR/PEC ให้ค่า  $\tan \delta$  สูงที่สุด รองลงมาคือ NR/RR/PEC with PEC-g-Ph ในขณะที่ Treated NR/RR/PEC with PEC-g-Ph และ Treated NR/RR/PEC มีค่าไม่แตกต่างกัน แสดงให้เห็นว่าการใช้สารดัดแปรพินอลิกเรชินและการใช้สารเพิ่มความเข้ากันได้ชนิด PEC-g-Ph ทำให้พื้นที่บริเวณผิวประจุระหว่างเฟสทั้งสาม มีการยึดเหนี่ยวกันและเข้ากันได้มากขึ้นซึ่งสามารถส่งผ่านพลังงานบริเวณรอยต่อเฟสได้ดี ทำให้เกิดการสูญเสียพลังงานที่อยู่ในรูปของความร้อนน้อยที่สุดและมีการตอบสนองแบบอิเล็กสูงที่สุด ซึ่งสอดคล้องกับความสามารถในการคืนรูปซึ่งแสดงในรูปที่ 4.77

#### 4.6.7 การศึกษาอิทธิพลของการใช้สารเพิ่มความเข้ากันได้ชนิด PEC-g-Ph ร่วมกับการใช้สารดัดแปรพินอลิกเรชินต่อสัณฐานวิทยาของเทอร์โมพลาสติกวัลคานีซจากการเบลนด์ระหว่าง NR/RR/PEC

นำเทอร์โมพลาสติกวัลคานีซจากการเบลนด์ระหว่าง NR/RR/PEC ที่ศึกษาผลของการใช้สารเพิ่มความเข้ากันได้ชนิด PEC-g-Ph มาศึกษาลักษณะสัณฐานวิทยา ได้ผลการทดลองแสดงดังรูปที่ 4.88



รูปที่ 4.88 ลักษณะสัณฐานวิทยาของเทอร์โมพลาสติกวัลคานีซจากการเบลนด์ NR/RR/PEC เมื่อใช้สารเพิ่มความเข้ากันได้ชนิด PEC-g-Ph ร่วมกับการใช้สารดัดแปรพินอลิกเรชิน

จากรูปที่ 4.88 พบร่วมกับเทอร์โมพลาสติกวัลคานีซที่มีการใช้สารดัดแปรพินอลิกเรชิน (รูปที่ 4.88(C) และ 4.88(D)) จะมีลักษณะพื้นผิวที่สม่ำเสมอและเป็นเนื้อเดียวกันมากกว่าสูตรที่ไม่ใช้สารดัดแปรพินอลิกเรชิน (รูปที่ 4.88(A) และ 4.88(B)) และเมื่อเปรียบเทียบการใช้และไม่ใช้สารเพิ่มความเข้ากันได้ PEC-g-Ph พบร่วมกับเทอร์โมพลาสติกวัลคานีซที่มีการใช้สารดัดแปรพินอลิกเรชิน (รูปที่ 4.88(B) และ 4.88(D))

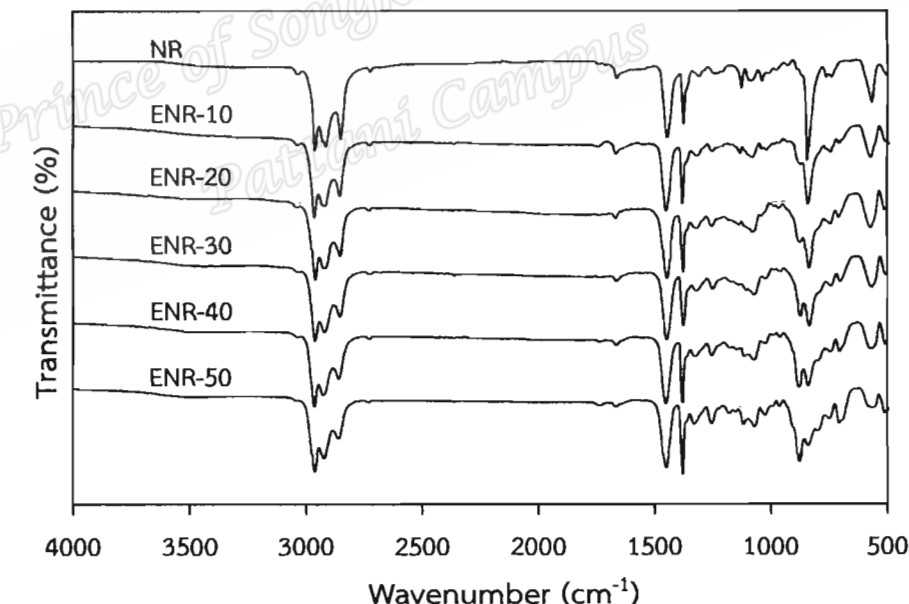
พบว่าเฟสยางในเทอร์โมพลาสติกวัลคานิซจะเกิดการกระจายตัวที่ดีกว่าเมื่อเทียบกับไม่ใช้ (รูปที่ 4.88(a) และ 4.88(c)) รวมถึงจะให้ลักษณะของพื้นผิวที่สม่ำเสมอมากกว่า ซึ่งลักษณะสัมฐานวิทยาที่ได้สอดคล้องกับสมบัติเชิงกล สมบัติการไหล และสมบัติเชิงกลพลวัต โดยใช้สารดัดแปรพินอลิกเรชินร่วมกับสารเพิ่มความเข้ากัน PEC-g-Ph (Treated NR/RR/PEC with PEC-g-Ph) ให้สมบัติโดยรวมดีที่สุด

#### 4.7 การศึกษาอิทธิพลของชนิดยางธรรมชาติต่อสมบัติเทอร์โมพลาสติกวัลคานิซจากการเบلنด์ระหว่างยางธรรมชาติ ยางรีเคลม และโพร์พลีนเอทธิลีนโคพอลิเมอร์

##### 4.7.1 ยางธรรมชาติอิพอกไซด์

###### 4.7.1.1 การวิเคราะห์โครงสร้างทางเคมีของยางธรรมชาติอิพอกไซด์

ทำการวิเคราะห์โครงสร้างของยางธรรมชาติอิพอกไซด์ที่เตรียมขึ้นตามวิธีการทดลองในหัวข้อที่ 3.3.7 ด้วยเทคนิคอินฟราเรดสเปกตรสโคปี ได้สเปคตรัมของยางธรรมชาติอิพอกไซด์ ดังแสดงในรูปที่ 4.89



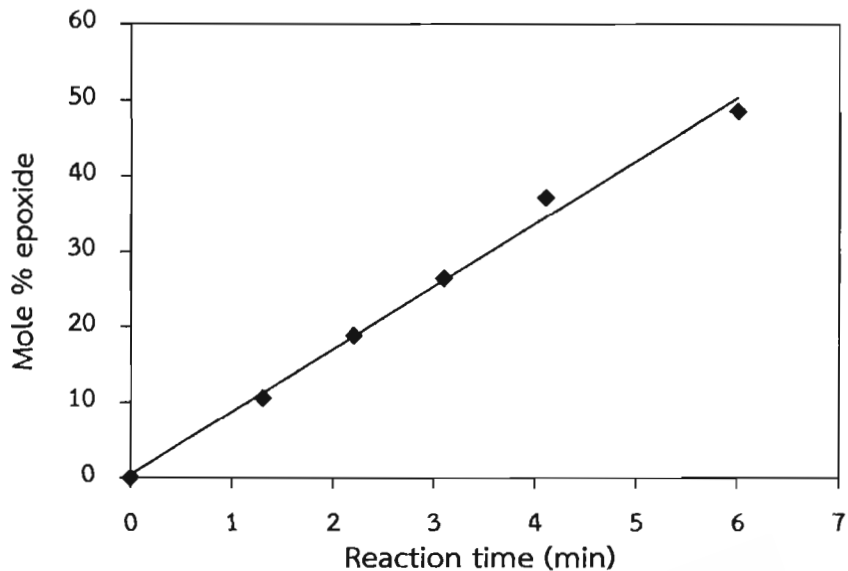
รูปที่ 4.89 สเปคตรัม FTIR ของยางธรรมชาติอิพอกไซด์ที่มีปริมาณหมู่อิพอกไซด์ในระดับต่างๆ เปรียบเทียบกับสเปคตรัมของยางธรรมชาติ

จากรูปที่ 4.89 แสดงสเปกตรัม FTIR ของยางธรรมชาติอิพอกไซด์เปรียบเทียบกับยางธรรมชาติ(NR) จะเห็นว่าสเปคตัมของยางธรรมชาติอิพอกไซด์จะปรากฏแถบการดูดกลืนที่ตำแหน่งเลขคลื่น  $870\text{ cm}^{-1}$  และ  $1240\text{ cm}^{-1}$  เพิ่มขึ้นมาซึ่งแสดงถึงการเกิดวงแหวนออกซิเรน (Oxirane ring) หรือหมู่อิพอกไซด์ที่เกาดีดบนโมเลกุลของยางธรรมชาติ และพบว่าความเข้มของพีคที่ตำแหน่งเลขคลื่น  $835\text{ cm}^{-1}$  ซึ่งแสดงถึงการสั่นแบบยีดของพันธะคู่ (*cis C=C*) และ C-H out of plane bending ของพันธะ –C-H ที่ต่อ กับ C=C ซึ่งเป็นหมู่พังก์ชันของยางธรรมชาติ จะลดลงตามปริมาณของหมู่อิพอกไซด์ที่เพิ่มขึ้น และจากสเปคตัม FTIR สามารถนำไปคำนวณหาอัตราส่วนการดูดกลืนแสง อินฟราเรด (Absorbance ratio, Ar) ของหมู่อิพอกไซด์ที่ตำแหน่งเลขคลื่น  $870\text{ cm}^{-1}$  เปรียบเทียบกับตำแหน่งเลขคลื่นที่  $835\text{ cm}^{-1}$  โดยใช้สมการที่ 2.1 จากนั้นนำอัตราส่วนการดูดกลืนแสงอินฟราเรดที่ได้ไปเปรียบเทียบกับค่ากราฟมาตรฐานของ Davey and Loadman (1984) ซึ่งแสดงในรูปที่ 2.3 ได้ผลดังตารางที่ 4.18

ตารางที่ 4.18 ปริมาณหมู่อิพอกไซด์เมื่อใช้ระยะเวลาการทำปฏิกิริยาที่แตกต่างกัน ที่อุณหภูมิในการทำปฏิกิริยา  $50^\circ\text{C}$

Reaction time (hr)	Epoxide content (mole%)
1.30	10.56
2.30	18.82
3.30	26.45
4.30	37.18
6.30	48.55

จากตารางที่ 4.18 สามารถนำเขียนกราฟความสัมพันธ์ระหว่างปริมาณหมู่อิพอกไซด์กับระยะเวลาการทำปฏิกิริยาอิพอกซิเดชันได้ดังแสดงในรูปที่ 4.90



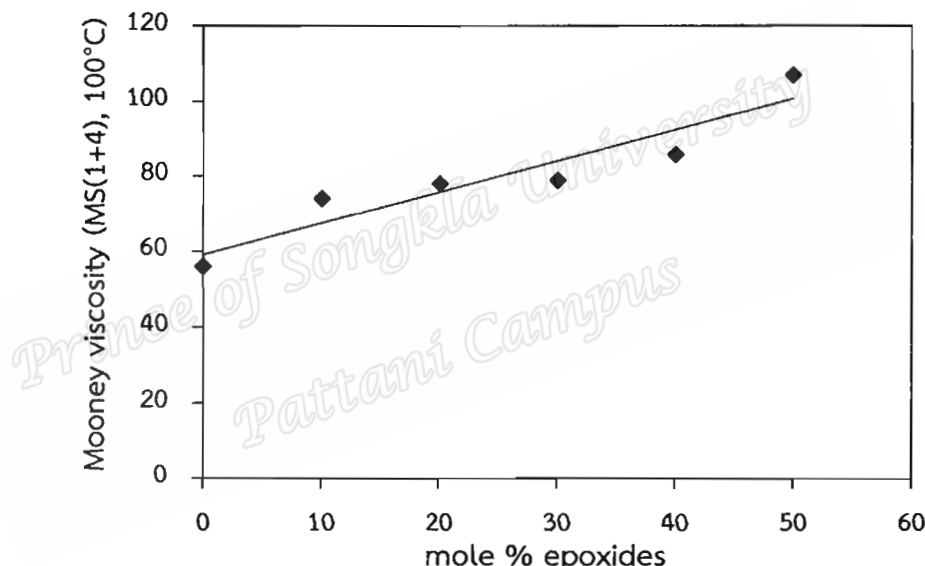
รูปที่ 4.90 ความสัมพันธ์ระหว่างปริมาณหมู่อิพอกไซด์กับระยะเวลาการทำปฏิกิริยา

จากรูปที่ 4.90 พบร่วมกันเมื่อเพิ่มเวลาในการทำปฏิกิริยาอิพอกไซด์จะทำให้เกิดปริมาณหมู่อิพอกไซด์ในโมเลกุลของยางธรรมชาติเพิ่มมากขึ้น เนื่องจากกรดเปอร์ฟอร์มิกจะทำปฏิกิริยากับโครงสร้างไม้อิมตัวของยางธรรมชาติ ได้โมเลกุลที่มีวงแหวนอิพอกไซด์บนโครงสร้างและกรดฟอร์มิกที่เป็นผลพลอยได้จากปฏิกิริยา และสามารถเกิดปฏิกิริยากับไฮโดรเจนเปอร์ออกไซด์ได้อีกทำให้ปฏิกิริยาสามารถเกิดได้อย่างต่อเนื่องจนกว่าไฮโดรเจนเปอร์ออกไซด์จะหมด ดังนั้นจึงทำให้มีปริมาณหมู่อิพอกไซด์เพิ่มขึ้นตามระยะเวลาในการทำปฏิกิริยาที่เพิ่มขึ้น

**4.7.1.2 ความหนืดมูนนี (Mooney viscosity) ของยางธรรมชาติอิพอกไซด์**  
นำยางธรรมชาติและยางอิพอกไซด์ที่เตรียมได้ซึ่งมีปริมาณหมู่อิพอกไซด์แตกต่างกัน มาทดสอบหาค่าความหนืดมูนนี ตามวิธีการทดลองในหัวข้อที่ 3.4.1 ได้ผลการทดลองตามตารางที่ 4.19 และสามารถนำไปเขียนกราฟความสัมพันธ์ระหว่างความหนืดมูนนีกับปริมาณหมู่อิพอกไซด์ในยางธรรมชาติอิพอกไซด์ได้ดังแสดงในรูปที่ 4.91

ตารางที่ 4.19 ความหนืดมูนนีของยางธรรมชาติและยางธรรมชาติอิพอกไซด์

Types of rubber	Mooney viscosity (MS(1+4), 100°C)
NR	56
ENR-10	74
ENR-20	78
ENR-30	79
ENR-40	86
ENR-50	107

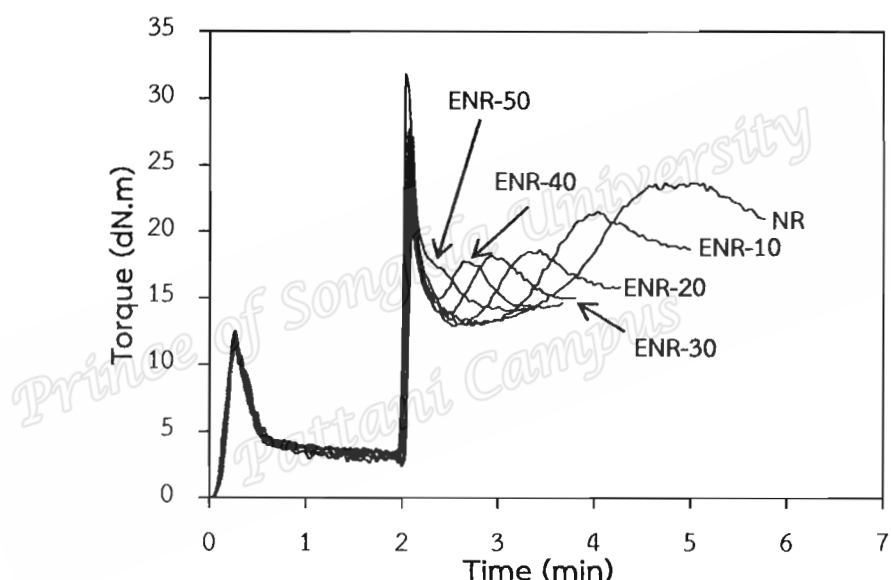


รูปที่ 4.91 ความสัมพันธ์ระหว่างความหนืดมูนนีของยางธรรมชาติเปรียบเทียบกับยางธรรมชาติอิพอกไซด์ที่มีปริมาณหมู่อิพอกไซด์ที่ระดับต่างๆ

จากตารางที่ 4.19 และรูปที่ 4.91 พบว่าค่าความหนืดมูนนีของยางธรรมชาติอิพอกไซด์มีค่าสูงกวายางธรรมชาติ และจะมีค่าความหนืดมูนนีเพิ่มขึ้นตามปริมาณหมู่อิพอกไซด์ที่เพิ่มขึ้นเนื่องจากการดัดแปลงโมเลกุลยางธรรมชาติตัวอย่างโดยการใช้เคมีเดชันทำให้พันธะในโมเลกุลยางเปลี่ยนเป็นหมู่อิพอกไซด์ที่มีสภาพข้าว ซึ่งการเพิ่มหมู่อิพอกไซด์เป็นการเพิ่มสภาพข้าวในโมเลกุลยาง ส่งผลให้เกิดแรงยึดเหนี่ยวระหว่างโมเลกุลสูงขึ้น (ภูริพงศ์, 2548) อีกทั้งหมู่อิพอกไซด์เป็นหมู่ขนาดใหญ่ที่สามารถขัดขวางความเป็นระเบียบของสายโซ่ยางธรรมชาติได้ ส่งผลให้ยางธรรมชาติอิพอกไซด์ให้ได้รับความคงทนและมีค่าความหนืดมูนนีที่สูงกวายางธรรมชาติทั่วไป

#### 4.7.2 การศึกษาอิทธิพลของชนิดยางธรรมชาติต่อพฤติกรรมการผสมในการเตรียมเทอร์โมพลาสติกวัลค่าในซีจาก การเบلنด์ NR/RR/PEC

เตรียมเทอร์โมพลาสติกวัลค่าในซีจากการเบلنด์ระหว่างยางธรรมชาติ ยางรีเคลม และโพร์พลีนเอทิลีนโคพอลิเมอร์ด้วยวิธีการผสมแบบ Melt mixing method และใช้ปริมาณสารตัดแปรฟินอลิกเรชินปริมาณ 10 phr โดยแบ่งชนิดยางธรรมชาติ ได้แก่ ยางแผ่นร่มควัน (NR) และยางธรรมชาติอิพอกไซด์ที่มีปริมาณหมุ้อิพอกไซด์ 10 (ENR-10), 20 (ENR-20), 30 (ENR-30), 40 (ENR-40) และ 50 (ENR-50) เปอร์เซ็นต์โดยไมล ได้กราฟความสัมพันธ์ระหว่างทอร์กการผสมกับเวลาการผสมดังแสดงในรูปที่ 4.92



รูปที่ 4.92 ความสัมพันธ์ระหว่างค่าทอร์กกับเวลาการผสมของเทอร์โมพลาสติกวัลค่าในซีเมื่อแบ่งชนิดยางธรรมชาติ

จากรูปที่ 4.91 พบร้าที่เวลาประมาณนาทีที่ 2 เป็นช่วงที่ใส่ยางคอมพาวน์เข้าไปบดผสม กับโพร์พลีนเอทิลีนโคพอลิเมอร์ พบร้าเมื่อพิจารณาในช่วงการเกิดการวัลค่าในซีแบบไดนามิกจะมีระยะเวลาที่ใช้ในการวัลค่าในซีและค่าทอร์กสูงสุดที่การวัลค่าในซีสมบูรณ์ลงลดตามปริมาณหม้อิพอกไซด์ที่เพิ่มขึ้น ดังข้อมูลสรุปในตารางที่ 4.20 เนื่องจากการมีหม้อิพอกไซด์บนสายโซ่ไมเลกูลของยางเพิ่มมากขึ้น ส่งผลให้ปริมาณของพันธะคู่ในไมเลกูลยางธรรมชาติลดลง (Poh et al., 2000 และ Noriman et al., 2010) ทำให้การเกิดพันธะเชื่อมขวางด้วยกำมะถันมีน้อยลง ส่งผลให้ความหนาแน่นพันธะเชื่อมขวางลดลงตามปริมาณหม้อิพอกไซด์ที่เพิ่มขึ้น อย่างไรก็ตามการที่ระยะเวลา

การวัลค่าในช่องเทอร์โมพลาสติกวัลค่าในช่องที่ระยะเวลาสั้นลงตามปริมาณของหมุ้อพอกใช้ด้านยางธรรมชาติอิพอกใช้ดีที่มากขึ้น น่าจะมาจากการผลของอันตรกิริยาหรือปฏิกิริยาที่อาจเกิดขึ้นระหว่างพินอติกเรซินกับหมู่ oxirane ring ในยางธรรมชาติอิพอกใช้ดี

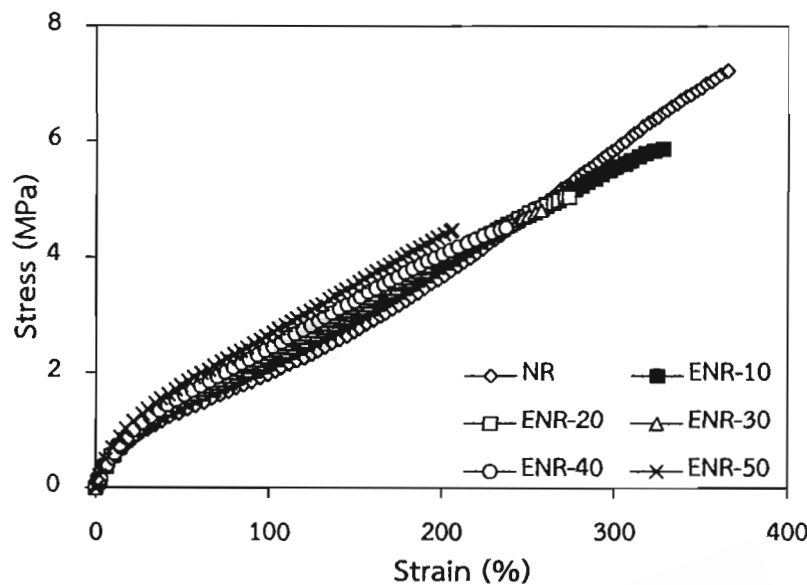
**ตารางที่ 4.20 ค่าทอร์กสูงสุดและระยะเวลาการเกิดการวัลค่าในเชิงแบบไดนามิกซ์**

Type of rubber	Max torque (dN.m)	Time of
		vulcanization (min)
NR	23.67	1.4
ENR-10	21.49	1.48
ENR-20	18.58	0.86
ENR-30	18.14	0.26
ENR-40	17.72	0.14
ENR-50*		

หมายเหตุ \*ENR-50 ทอร์กจะมีค่าลดลงเรื่อยๆ ไม่ปรากฏพีคที่ชัดเจน

#### 4.7.3 การศึกษาอิทธิพลของชนิดยางธรรมชาติต่อสมบัติเชิงกลของเทอร์โมพลาสติกวัลค่าในช่องจากการเบلنต์ระหว่าง NR/RR/PEC

นำเทอร์โมพลาสติกวัลค่าในช่องที่เตรียมจากการเบلنต์ NR/RR/PEC โดยแพรชนิดยางธรรมชาติ มาศึกษาสมบัติเชิงกล ได้กราฟความสัมพันธ์ระหว่างความเค้นกับความเครียดของเทอร์โมพลาสติกวัลค่าในช่องดังแสดงในรูปที่ 4.93



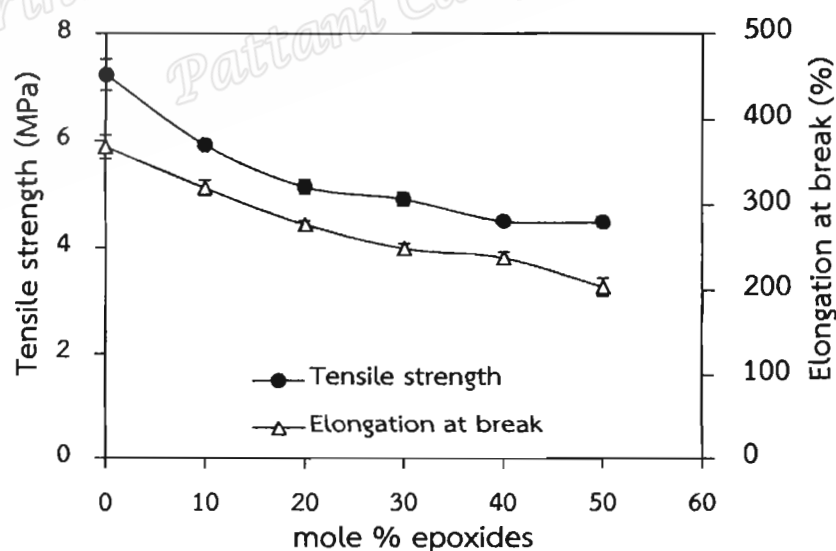
รูปที่ 4.93 ความสัมพันธ์ระหว่างความเค้นกับความเครียดของเทอร์โมพลาสติกวัลค้าน์จากการเบلنด์ NR/RR/PEC เมื่อประนีดยางธรรมชาติ

จากรูปที่ 4.93 เมื่อพิจารณาดูลักษณะเมื่อยืด 100% พบว่าเทอร์โมพลาสติกวัลค้าน์ที่ใช้ยางธรรมชาติอิพอกไซด์จะมีความแข็งตึงมากกว่ายางธรรมชาติ โดยความแข็งตึงในโมเลกุลของเทอร์โมพลาสติกวัลค้าน์มีค่าเพิ่มขึ้นตามปริมาณหมุ้อิพอกไซด์ที่เพิ่มขึ้น ในขณะที่ความหนืดยาวทันของเทอร์โมพลาสติกวัลค้าน์กลับมีค่าลดลง เนื่องจากปริมาณของหมุ้อิพอกไซด์ที่เพิ่มขึ้นทำให้ยางธรรมชาติอิพอกไซด์มีความเป็นข้าและมีความแข็งตึงของสายโซ่โมเลกุลเพิ่มขึ้นจากผลของการอันตรกิริยาระหว่างโมเลกุลของยางธรรมชาติอิพอกไซด์ (Nakason et al., 2005) ในขณะเดียวกันการมีปริมาณหมุ้อิพอกไซด์เพิ่มมากขึ้นจะเป็นการเพิ่มความเกะกะให้โมเลกุลของยางธรรมชาติอิพอกไซด์ จึงทำให้มีความยืดหยุ่นลดลงส่งผลให้ระยะยืดลดลงประกอบกับค่าทอร์กการผสมที่แสดงให้เห็นว่าเทอร์โมพลาสติกวัลค้าน์ที่ใช้ยางธรรมชาติอิพอกไซด์จะมีระดับค่าทอร์กที่ต่ำแทนงดีนามิกวัลค้าน์เข้าลดลง และจากจุดขาดของกราฟความสัมพันธ์ระหว่างความเค้นและความเครียด สามารถนำมาคำนวณหาค่าความต้านทานต่อแรงดึง และความสามารถในการยืดจนขาดของเทอร์โมพลาสติกวัลค้าน์ ได้ผลแสดงดังตารางที่ 4.21 รวมทั้งแสดงค่าความสามารถในการคืนรูป และความแข็งด้วย

ตารางที่ 4.21 สมบัติเชิงกลของของเทอร์โมพลาสติกวัลคaine จากการเบلنด์ NR/RR/PEC เมื่อแปรชันดิยากรรรมชาติ

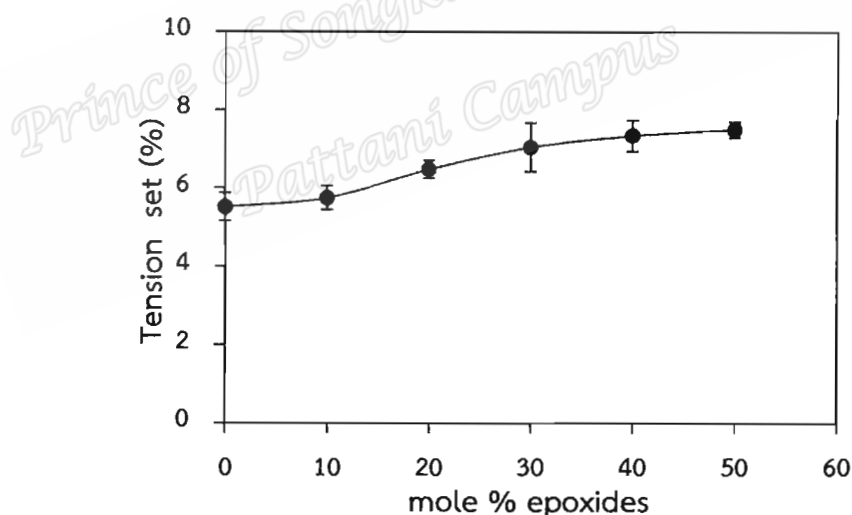
Type of rubber	Tensile strength (MPa)	Elongation at break (%)	Tension set (%)	Hardness (Shore A)
NR	7.23±0.29	368±13.74	5.52±0.35	57
ENR-10	5.92±0.06	320±8.98	5.75±0.30	59
ENR-20	5.14±0.13	277±4.44	6.47±0.23	61
ENR-30	4.91±0.12	249±5.65	7.03±0.62	61
ENR-40	4.50±0.05	238±6.89	7.33±0.40	62
ENR-50	4.48±0.10	204±10.79	7.48±0.20	65

จากตารางที่ 4.21 สามารถเขียนกราฟความสัมพันธ์ระหว่างความต้านทานต่อแรงดึง ความสามารถในการยืดจันขาด ความสามารถในการคืนรูป และความแข็ง เมื่อแปรชันดิยากรรรมชาติ ดังแสดงในรูปที่ 4.94, 4.95 และ 4.96 ตามลำดับ

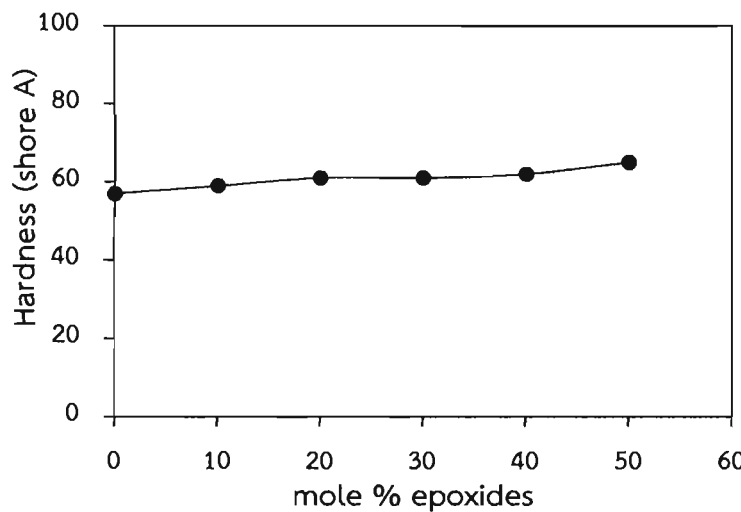


รูปที่ 4.94 ความต้านทานต่อแรงดึงและความสามารถในการยืดจันขาดของเทอร์โมพลาสติกวัลคaine จากการเบلنด์ NR/RR/PEC เมื่อแปรชันดิยากรรรมชาติ

จากที่รูปที่ 4.94 พบร่วมกันว่าความต้านทานต่อแรงดึงและความสามารถในการยึดจันขาดของเทอร์โมพลาสติกวัลภาชนะซึ่งใช้ยางธรรมชาติจะมีค่ามากกว่าสมบัติตั้งกล่าวของยางธรรมชาติอิพอกไซด์อย่างเห็นได้ชัด ในขณะที่เมื่อเปรียบเทียบระหว่างยางธรรมชาติอิพอกไซด์พบว่าความต้านทานต่อแรงดึงและความสามารถในการยึดจันขาดของเทอร์โมพลาสติกวัลภาชนะซึ่งมีค่าลดลงตามปริมาณของหมู่อิพอกไซด์ที่เพิ่มขึ้นในโมเลกุล เนื่องจากเมื่อมีปริมาณหมู่อิพอกไซด์เพิ่มมากขึ้นทำให้มีปริมาณพันธะคู่บนสายโซ่โมเลกุลที่จะไปเกิดปฏิกิริยา กับสารวัลภาชนะซึ่งได้น้อยลง ส่งผลให้มีปริมาณพันธะเชื่อมข้างน้อยลดลงซึ่งสอดคล้องกับความสูงของทธอร์กการผสานซึ่งแสดงในรูปที่ 4.90 ในขณะที่การลดลงของความสามารถในการยึดจันตนั้นเป็นผลมาจากการปริมาณของหมู่อิพอกไซด์ที่เพิ่มขึ้นทำให้ความเกะกะในโมเลกุลยางธรรมชาติอิพอกไซด์เพิ่มมากขึ้น รวมถึงทำให้โมเลกุลของยางธรรมชาติอิพอกไซด์แข็งตึ้งขึ้น (Nakason et al., 2005) ส่งผลให้ความยืดหยุ่นลดลง นอกจากนี้อาจเป็นผลมาจากการไม่เข้ากันระหว่างเฟสของยางธรรมชาติอิพอกไซด์ ยางเรซิโนล และโพรพิลีนเอทิลีน โคพอลิเมอร์เนื่องจากความแตกต่างของสภาพข้าวในแต่ละเฟสดังนั้นจึงให้สมบัติเชิงกลของเทอร์โมพลาสติกวัลภาชนะลดลง



รูปที่ 4.95 การผิดรูปถาวรแบบเดิงของเทอร์โมพลาสติกวัลภาชนะจากการเบلنด์ NR/RR/PEC เมื่อประชนิดยางธรรมชาติ

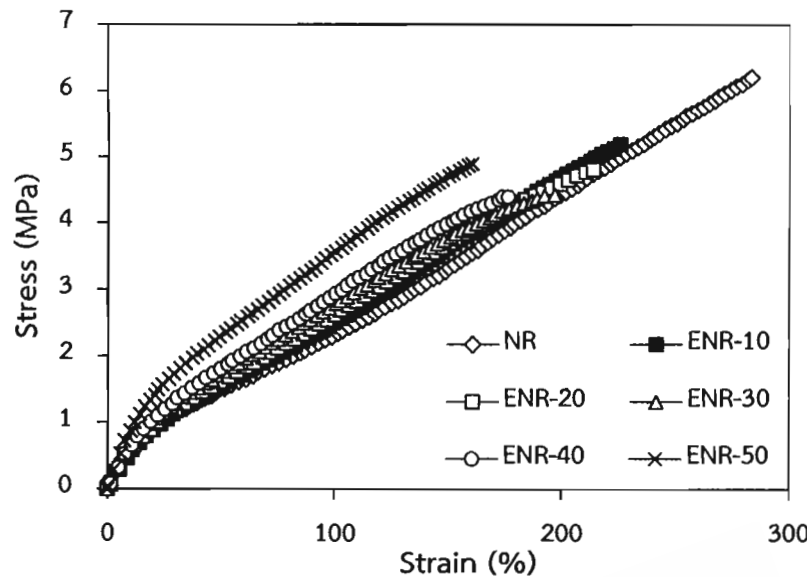


รูปที่ 4.96 ความแข็งของเทอร์โมพลาสติกวัลคานิซจากการเบلنด์ NR/RR/PEC เมื่อปรับนิดยากรรمهชาติ

จากรูปที่ 4.95 พบร้าเทอร์โมพลาสติกวัลคานิซที่เตรียมโดยใช้ยางธรรมชาติมีความสามารถในการคืนรูปดีที่สุด ขณะที่เทอร์โมพลาสติกวัลคานิซที่ใช้ยางธรรมชาติอิพอกไซด์จะมีความสามารถในการคืนรูปลดลง (Tension set เพิ่มขึ้น) ตามปริมาณหมู่อิพอกไซด์ที่เพิ่มขึ้นในยางธรรมชาติอิพอกไซด์ ซึ่งเกิดจากหมู่อิพอกไซด์มีสภาพเป็นขี้วและมีขนาดใหญ่ทำให้สมบัติความเป็นอิเล็กติกของวัสดุลดลง นอกจากนี้การที่มีหมู่อิพอกไซด์เพิ่มขึ้นยังส่งผลให้มีแรงยึดเหนี่ยวระหว่างโมเลกุลของยางธรรมชาติอิพอกไซด์มากขึ้นจึงส่งผลให้เทอร์โมพลาสติกวัลคานิซมีความแข็ง (รูปที่ 4.96) เพิ่มขึ้น

#### 4.7.4 การศึกษาอิทธิพลของชนิดยางธรรมชาติต่อสมบัติเชิงกลภายหลังบ่มเร่งของเทอร์โมพลาสติกวัลคานิซจากการเบلندرะหว่าง NR/RR/PEC

นำเทอร์โมพลาสติกวัลคานิซที่เตรียมจากการเบلنด์ NR/RR/PEC โดยปรับนิดยากรรمهชาติมาทดสอบความต้านทานต่อการบ่มเร่งที่อุณหภูมิ 100°C เป็นเวลา 22 ชั่วโมง เมื่อครบเวลา นำตัวอย่างออกพักทิ้งไว้ที่อุณหภูมิห้องอย่างน้อย 16 ชั่วโมงก่อนนำไปทดสอบสมบัติเชิงกลได้กราฟความสัมพันธ์ระหว่างความเค้นกับความเครียดของเทอร์โมพลาสติกวัลคานิซดังแสดงในรูปที่ 4.97



รูปที่ 4.97 ความสัมพันธ์ระหว่างความเค้นกับความเครียดภายหลังบ่มเร่งของเทอร์โมพลาสติกวัลภาในซึ่งจากการเบลนด์ NR/RR/PEC เมื่อประนีดยางธรรมชาติ

จากรูปที่ 4.97 แสดงพฤติกรรมการผิดรูปภายใต้แรงเค้นหลังบ่มเร่งของเทอร์โมพลาสติกวัลภาในซึ่งเมื่อประนีดยางธรรมชาติพบว่าพฤติกรรมการผิดรูปของเทอร์โมพลาสติกวัลภาในซึ่งก่อนและหลังบ่มเร่งไม่แตกต่างกัน กล่าวคือเมื่อพิจารณามอดุลัสที่ระยะยืด 100% พบร้าเทอร์โมพลาสติกวัลภาในซึ่งมีมอดุลัสสูงขึ้นตามสภาพขั้วในยางธรรมชาติที่เพิ่มขึ้นขณะที่ให้ระยะยืดลดลงซึ่งเป็นผลจากการเพิ่มขึ้นของหมู่อิพอกไซด์ซึ่งได้อธิบายไปแล้วข้างต้น และจากจุดขาดของกราฟความสัมพันธ์ระหว่างความเค้นและความเครียด สามารถคำนวณหาค่าความต้านทานต่อแรงดึงและความสามารถในการยึดจันขาดของเทอร์โมพลาสติกวัลภาในซึ่งได้ผลแสดงดังตารางที่ 4.22 และ 4.23 นอกจากนี้ยังแสดงเบอร์เช่นต์การเปลี่ยนแปลงของสมบัติด้วย

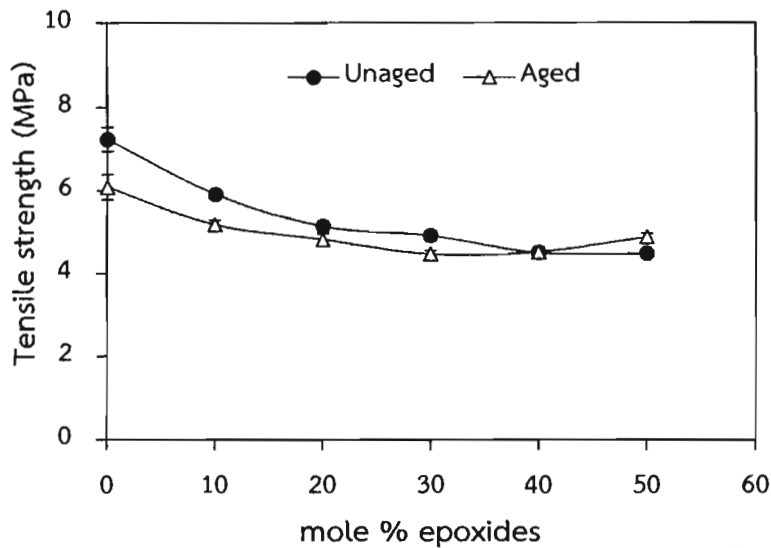
ตารางที่ 4.22 ความต้านทานต่อแรงดึงภายในห้องบ่มเร่งของเทอร์โมพลาสติกวัลค่าในช่วงจากการเบلنด์ NR/RR/PEC เมื่อประชนิดยางธรรมชาติ

Type of rubber	Tensile strength (MPa)		Change in property of tensile strength (%)
	Unaged	Aged	
NR	7.23±0.29	6.09±0.30	-15.77
ENR-10	5.92±0.06	5.18±0.10	-12.50
ENR-20	5.14±0.13	4.82±0.13	-6.23
ENR-30	4.91±0.12	4.47±0.08	-8.96
ENR-40	4.50±0.05	4.52±0.12	0.44
ENR-50	4.48±0.10	4.88±0.08	8.93

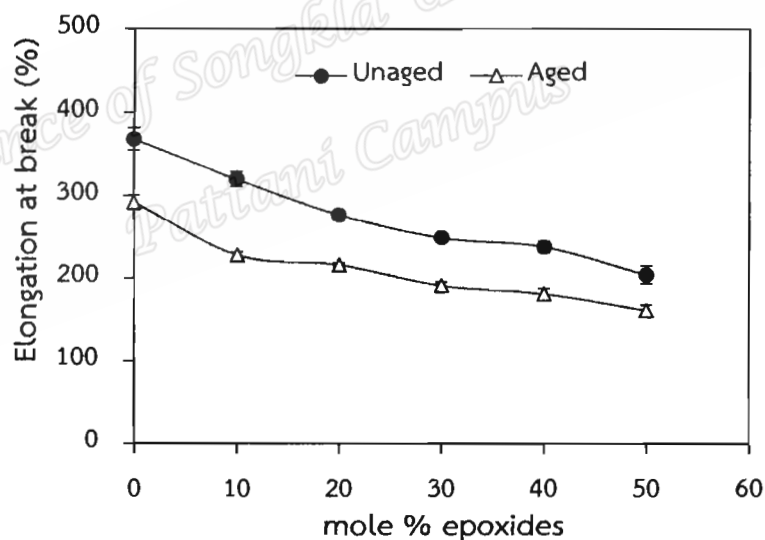
ตารางที่ 4.23 ความสามารถในการยึดจันขาดภายในห้องบ่มเร่งของเทอร์โมพลาสติกวัลค่าในช่วงจากการเบلنด์ NR/RR/PEC เมื่อประชนิดยางธรรมชาติ

Type of rubber	Elongation at break (%)		Change in property of elongation at break (%)
	Unaged	Aged	
NR	368±13.74	292±8.59	-20.65
ENR-10	320±8.98	228±3.35	-28.75
ENR-20	277±4.44	216±2.31	-22.02
ENR-30	249±5.65	191±4.29	-23.29
ENR-40	238±6.89	181±6.60	-23.95
ENR-50	204±10.79	161±6.45	-21.08

จากตารางที่ 4.22 และ 4.23 สามารถเขียนกราฟความสัมพันธ์ระหว่างความต้านทานต่อแรงดึงและความสามารถในการยึดจันขาด ก่อนและหลังบ่มเร่งของเทอร์โมพลาสติกวัลค่าในช่วงเมื่อประอัตราส่วนการเบلنด์ดังแสดงในรูปที่ 4.98 และ 4.99 รวมถึงแสดงกราฟเปอร์เซ็นต์การเปลี่ยนแปลงของสมบัติภายในห้องบ่มเร่งในรูปที่ 4.100



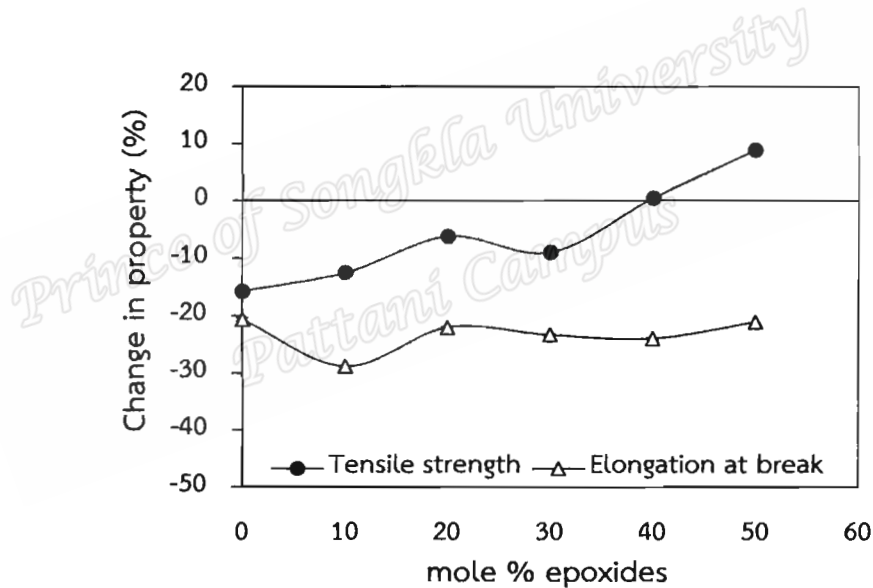
รูปที่ 4.98 ความต้านทานต่อแรงดึงก่อนและหลังบ่มเร่งของเทอร์โมพลาสติกวัลคาในซึ่งจากการเบلنด์ NR/RR/PEC เมื่อแปรชันดิยากรรคมชาติ



รูปที่ 4.99 ความสามารถในการยืดจนขาดก่อนและหลังบ่มเร่งของเทอร์โมพลาสติกวัลคาในซึ่งจากการเบلنด์ NR/RR/PEC เมื่อแปรชันดิยากรรคมชาติ

จากรูปที่ 4.98 และ 4.99 พบว่าค่าความต้านทานต่อแรงดึงและความสามารถในการยืดจนขาดภายหลังการบ่มเร่งของเทอร์โมพลาสติกวัลคาในซึ่งใช้ยางธรรมชาติอิพอกไซด์จะมีค่าต่ำกว่ายางธรรมชาติเช่นเดียวกับก่อนบ่มเร่ง ในขณะที่ความต้านทานต่อแรงดึงและความสามารถในการยืดจนขาดของเทอร์โมพลาสติกวัลคาในซึ่งภายหลังบ่มเร่งจะมีแนวโน้มลดลงตามปริมาณหมุ่อิพอกไซด์ที่

เพิ่มขึ้นในยางธรรมชาติอิพอกไซด์ ยกเว้นเทอร์โมพลาสติกวัลค่าไนซ์เมื่อใช้ยาง ENR-50 จะมีค่าความต้านทานต่อแรงดึงเพิ่มขึ้น อาจเป็นผลมาจากการฟেสของยางธรรมชาติอิพอกไซด์เกิดการเปิดวงแหวนและเกิด Self crosslinking reaction ระหว่างโมเลกุล (เด่นศักดิ์, 2558) นอกจากนี้เมื่อพิจารณาเปอร์เซ็นต์การเปลี่ยนแปลงสมบัติความต้านทานต่อแรงดึงและความสามารถในการยึดจันขาดซึ่งแสดงในรูปที่ 4.100 พบว่ามีแนวโน้มลดลงตามปริมาณหมู่อิพอกไซด์ที่เพิ่มขึ้นในยางธรรมชาติอิพอกไซด์ แสดงให้เห็นว่าการใช้ยางธรรมชาติอิพอกไซด์ในองค์ประกอบเบلنด์ส่งผลให้เทอร์โมพลาสติกวัลค่าไนซ์มีแนวโน้มต้านทานต่อการบ่มเร่งได้ดีกว่าการใช้ยางธรรมชาติ เนื่องจากการเกิดปฏิกิริยาอิพอกไซเดชันจะเป็นการปลดปริมาณของส่วนที่ไม่อิ่มตัวในสายโซ่ายางธรรมชาติ (Gelling, 1991) กล่าวคือปริมาณหมู่อิพอกไซด์ที่เพิ่มขึ้นส่งผลให้พันธะคู่ในหน่วยช้าของไอโซพรีนของยางธรรมชาติมีปริมาณลดลงจึงมีความต้านทานต่อการบ่มเร่งได้ดีขึ้น ในขณะที่เปอร์เซ็นต์การเปลี่ยนแปลงสมบัติความสามารถในการยึดจันขาดมีค่าไม่แตกต่างกันมากนัก

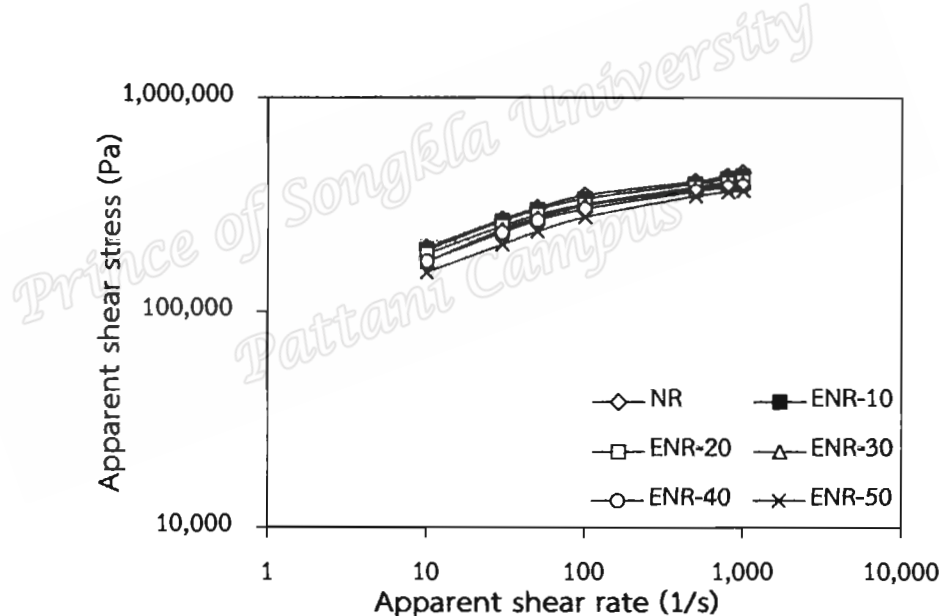


รูปที่ 4.100 เปอร์เซ็นต์การเปลี่ยนแปลงของสมบัติความต้านต่อแรงดึงและความสามารถในการยึดจันขาดหลังบ่มเร่งของเทอร์โมพลาสติกวัลค่าไนซ์จากการเบلنด์ NR/RR/PEC เมื่อประชนิดยางธรรมชาติ

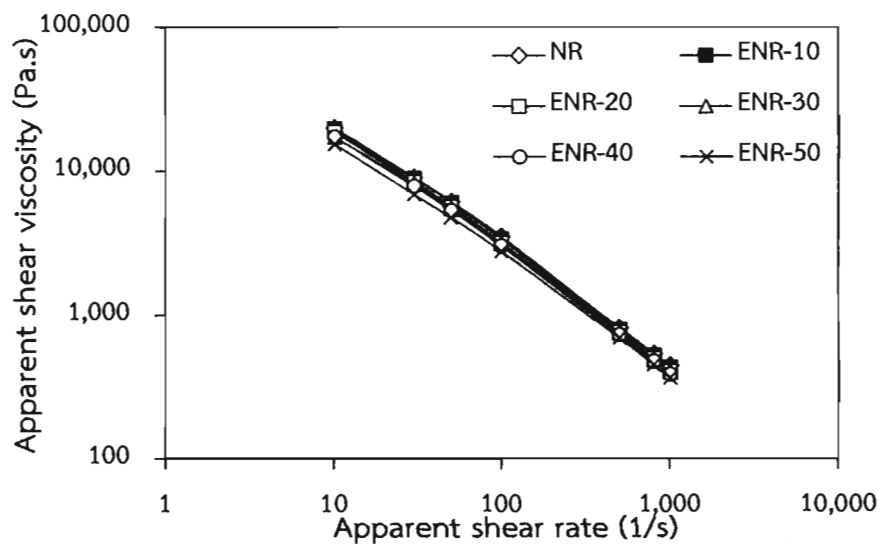
#### 4.7.5 การศึกษาอิทธิพลของชนิดยางธรรมชาติต่อสมบัติการไหลของเทอร์โมพลาสติกวัลค่าไนซ์จากการเบلنด์ระหว่าง NR/RR/PEC

นำเทอร์โมพลาสติกวัลค่าไนซ์ที่เตรียมจากการเบلنด์ NR/RR/PEC โดยประชนิดยางธรรมชาติ มาศึกษาสมบัติการไหลได้ความสัมพันธ์ระหว่างความเค้นเฉือนปราภูกับอัตราเฉือนปราภู

และความหนืดเฉือนปรากวกับอัตราเฉือนปรากวัดังในรูปที่ 4.101 และ 4.102 พบว่าความเค้นเฉือนปรากวและความหนืดเฉือนปรากวของเทอร์โมพลาสติกวัลคainซ์เมื่อใช้ยางธรรมชาติจะให้ค่าสูงที่สุด และจะลดลงเมื่อเปลี่ยนมาใช้ยางธรรมชาติอิพอกไซด์แทนที่ยางธรรมชาติในเทอร์โมพลาสติกวัลคainซ์ นอกจากนี้ค่าดังกล่าวจะมีแนวโน้มลดลงอย่างต่อเนื่องตามปริมาณหมุ้อิพอกไซด์ที่เพิ่มขึ้น แสดงให้เห็นว่าการใช้ยางธรรมชาติจะทำให้เกิดแรงยึดเหนี่ยวระหว่างเฟสของเทอร์โมพลาสติกวัลคainซ์ได้ดีกว่าการใช้ยางธรรมชาติอิพอกไซด์ กอร์กับการใช้ยางธรรมชาติจะทำให้มีปริมาณพันธะเชื่อมขวางในเฟสยางมากกว่าจึงทำให้เทอร์โมพลาสติกวัลคainซ์ที่ใช้ยางธรรมชาติมีความแข็งหรือมอดลักษณะกว่าและจะให้ผลได้ยากกว่า นอกจากนี้อาจเป็นผลมาจากการไม่มีเข้ากันระหว่างเฟสต่างๆในเทอร์โมพลาสติกวัลคainซ์เมื่อใช้ยางธรรมชาติอิพอกไซด์เนื่องจากความเป็นขั้วของยางธรรมชาติอิพอกไซด์ จึงทำให้ค่าความเค้นเฉือนปรากวและความหนืดเฉือนปรากวของเทอร์โมพลาสติกวัลคainซ์มีค่าลดลงตามปริมาณหมุ้อิพอกไซด์ที่เพิ่มขึ้น



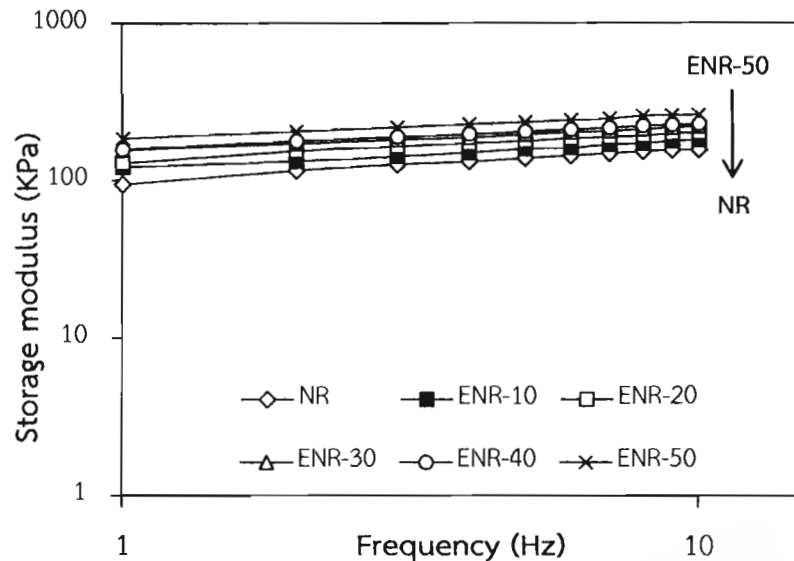
รูปที่ 4.101 ความสัมพันธ์ระหว่างความเค้นเฉือนปรากวกับอัตราเฉือนปรากวของเทอร์โมพลาสติกวัลคainซ์จากการเบลนด์ NR/RR/PEC เมื่อประชนิดยางธรรมชาติ



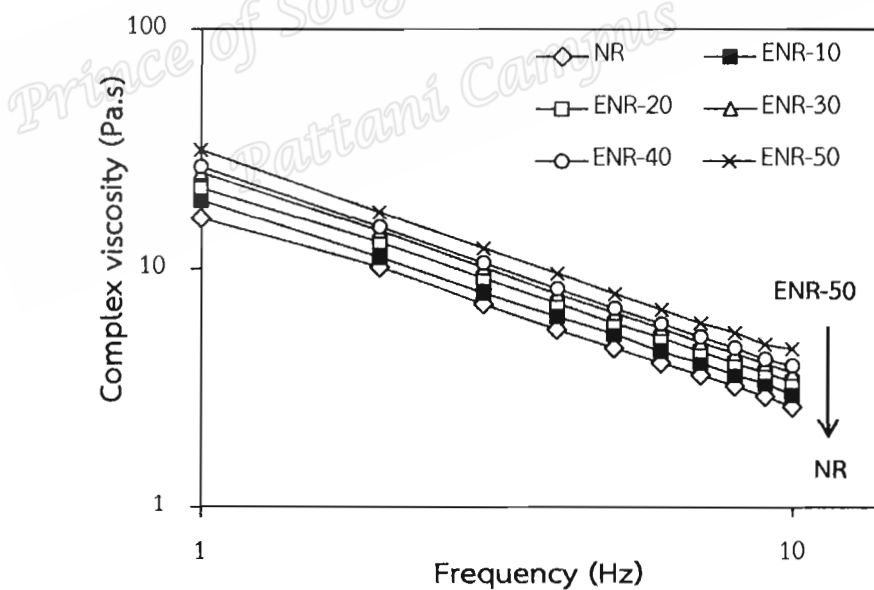
รูปที่ 4.102 ความสัมพันธ์ระหว่างความหนืดเฉือนปราก្សกับอัตราเฉือนปราก្សของเทอร์โมพลาสติกวัลค่าในช่วงจากการเบلنด์ NR/RR/PEC เมื่อแปรซนิดยางธรรมชาติ

#### 4.7.6 การศึกษาอิทธิพลของชนิดยางธรรมชาติต่อสมบัติเชิงกลพลวัตของเทอร์โมพลาสติกวัลค่าในช่วงจากการเบلنด์ระหว่าง NR/RR/PEC

นำเทอร์โมพลาสติกวัลค่าในช่วงจากการเบلنด์ระหว่าง NR/RR/PEC โดยแปรซนิดยางธรรมชาติ มาศึกษาสมบัติเชิงกลพลวัตด้วยเครื่อง MDPT ได้กราฟความสัมพันธ์ระหว่างมอดูลัสสั่นความหนีดเชิงช้อน และ  $\tan \delta$  กับความถี่ ดังแสดงในรูปที่ 4.103, 4.104 และ 4.106

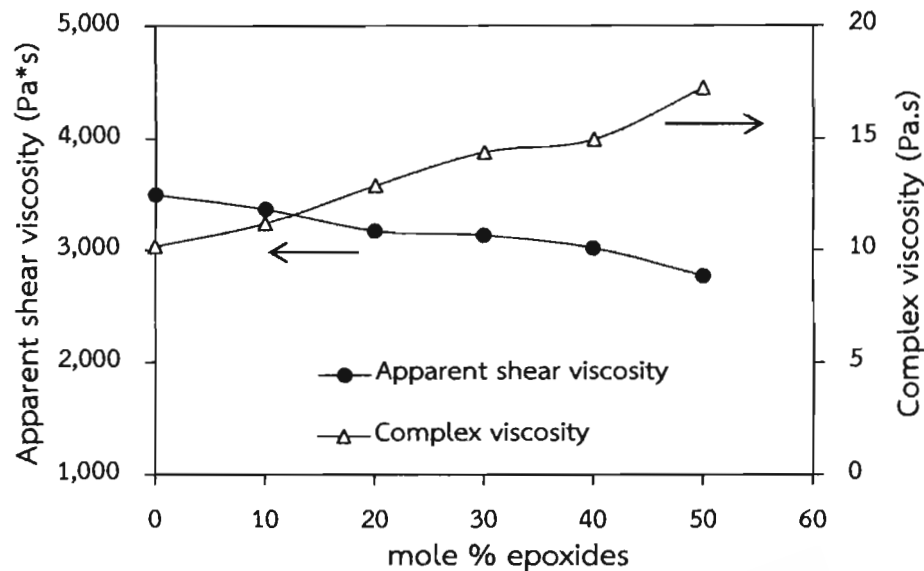


รูปที่ 4.103 ความสัมพันธ์ระหว่างมอดูลัสสีสมกับความถี่ของเทอร์โมพลาสติกวัลคainซ์จากการเบลนด์ NR/RR/PEC เมื่อประชนิดยางธรรมชาติ

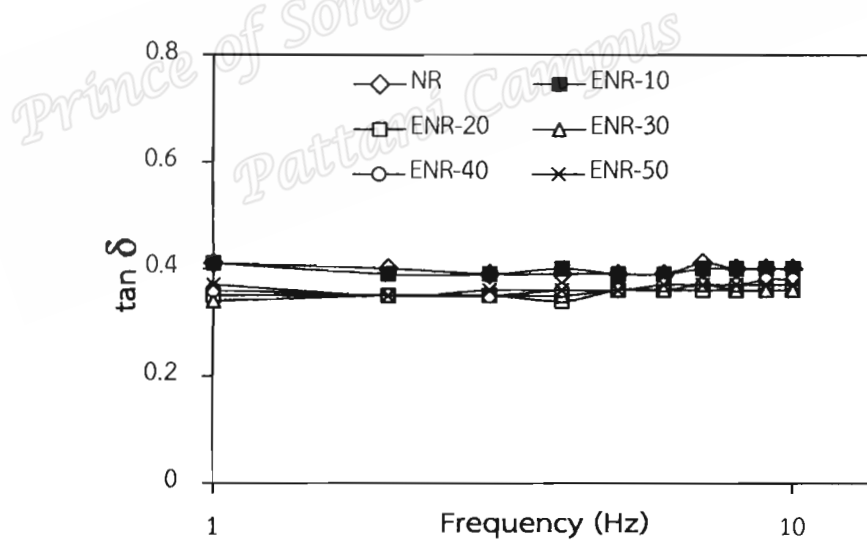


รูปที่ 4.104 ความสัมพันธ์ระหว่างความหนืดเชิงซ้อนกับความถี่ของเทอร์โมพลาสติกวัลคainซ์จากการเบลนด์ NR/RR/PEC เมื่อประชนิดยางธรรมชาติ

จากรูปที่ 4.103 และ 4.104 พบว่ามอดุลส์สหสมและความหนืดเชิงช้อนของเทอร์โมพลาสติกวัลคานิซที่ใช้ยาง ENR-50 จะมีค่าสูงที่สุด รองลงมาคือเทอร์โมพลาสติกวัลคานิซที่ใช้ยาง ENR-40, ENR-30, ENR-20, ENR-10 และ NR ตามลำดับ ซึ่งผลการทดลองที่ได้ส่วนทางกับการทดสอบการให้หลักของเครื่องคาร์บิลลารี (หัวข้อ 4.7.5) ดังแสดงในรูปที่ 4.105 ซึ่งน่าจะเป็นผลมาจากการรูปแบบการทดสอบของหั้ง 2 เทคนิคที่แตกต่างกัน โดยการทดสอบด้วยเครื่องคาร์บิลลารีโอมิเตอร์ทำให้ไม่เลกุลของวัสดุเกิดการเลื่อนไถกระหว่างโมเลกุลสูง เทอร์โมพลาสติกวัลคานิซจึงแสดงสมบัติที่เป็นผลมาจากน้ำหนักโมเลกุลหรือการเกี่ยวพันของสายโซ่โมเลกุล เทอร์โมพลาสติกวัลคานิซที่มีการใช้ยางธรรมชาติอิพอกไซด์ที่มีระดับการอิพอกซิเดชันมาก น้ำหนักโมเลกุลของยางธรรมชาติอิพอกไซด์มีมากกว่ายางธรรมชาติทำให้การเลื่อนไถของสายโซ่โมเลกุลเกิดได้ยากขึ้น ประกอบกับการเกี่ยวพันของสายโซ่โมเลกุลสูงจากความเก lokale ของหมู่อิพอกไซด์และการเกิด self crosslink จึงน่าที่จะให้สมบัติความเค้นเฉือนปรากฎและความหนืดเฉือนปรากฎมีค่าสูงขึ้นตามปริมาณหมู่อิพอกไซด์ที่เพิ่มขึ้นในยางธรรมชาติอิพอกไซด์ แต่การทดลองกลับพบว่าค่าดังกล่าวมีแนวโน้มลดลงซึ่งเป็นผลมาจากการรูปแบบการวัลคานิซที่ต่ำและการไม่เข้ากันของเฟสยางธรรมชาติอิพอกไซด์กับยางเรีเคลมและเทอร์โมพลาสติก ในทางกลับกันการทดสอบด้วยเครื่อง MDPT ใช้อัตราเฉือนต่ำ (ความถี่ต่ำ) ในการทดลองอยู่ระหว่าง 1-10 Hz ซึ่งเป็นความถี่ที่วัสดุเกิดการผิดรูปน้อย การผิดรูปส่วนใหญ่ยังเป็นการผิดรูปแบบอิเล็กทริก จึงเป็นไปได้ว่าการการตอบสนองของเทอร์โมพลาสติกวัลคานิซเมื่อได้รับความเค้น (แรงบิด) ยังไม่ปรากฎชัดเจนจากผลการเลื่อนไถของโมเลกุล แต่เป็นผลมาจากการตอบสนองของสารตัวเติมที่มีอยู่ในยางเรีเคลมและความแข็งของสายโซ่โมเลกุลแทน โดยเทอร์โมพลาสติกวัลคานิซที่มีการใช้ยางธรรมชาติอิพอกไซด์ที่มีระดับการอิพอกซิเดชันมาก ก็จะมีความแข็งแรงมาก ดังนั้นที่การทดสอบแบบใช้การผิดรูปต่ำๆ จึงพบว่าค่ามอดุลส์สหสมและความหนืดเชิงช้อนของเทอร์โมพลาสติกวัลคานิซมีแนวโน้มเพิ่มสูงขึ้นตามปริมาณหมู่อิพอกไซด์ที่มากขึ้นในยางธรรมชาติอิพอกไซด์



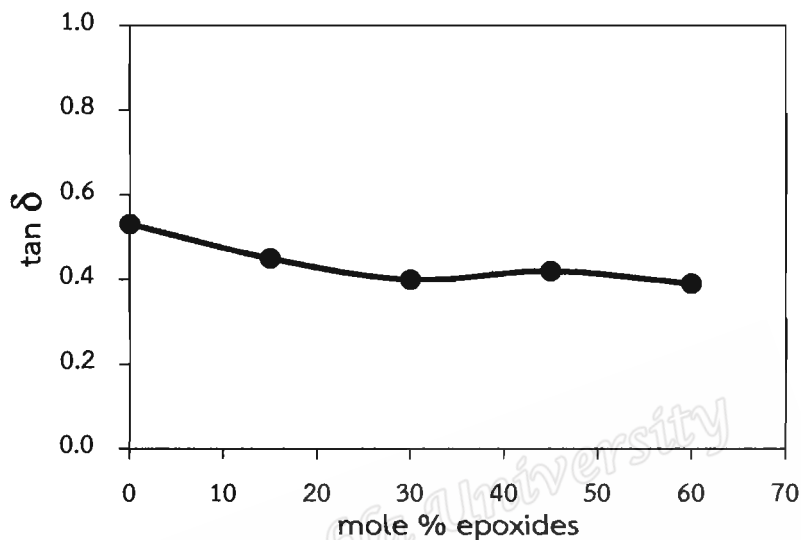
รูปที่ 4.105 ความเด่นเจ้อนปราภูที่อัตราเจ้อน 100 (1/s) และความหนืดเชิงซ้อนที่ความถี่ 2 Hz ของเทอร์โมพลาสติกวัลคaine จากการเบلنด์ NR/RR/PEC เมื่อแปรชันดิยากรรรมชาติ



รูปที่ 4.106 ความสัมพันธ์ระหว่าง  $\tan \delta$  กับความถี่ของเทอร์โมพลาสติกวัลคaine จากการเบلنด์ NR/RR/PEC เมื่อแปรชันดิยากรรรมชาติ

จากรูปที่ 4.106 แสดงค่า  $\tan \delta$  ของเทอร์โมพลาสติกวัลคaine เมื่อแปรชันดิยากรรรมชาติพบว่าเมื่อพิจารณาที่ความถี่เดียวกันดังแสดงในรูปที่ 4.107 เทอร์โมพลาสติกวัลคaine ที่ใช้ยากรรรมชาติจะให้ค่า  $\tan \delta$  สูงที่สุด รองลงมาคือ ENR-10, ENR-20, ENR-30, ENR-40 และ

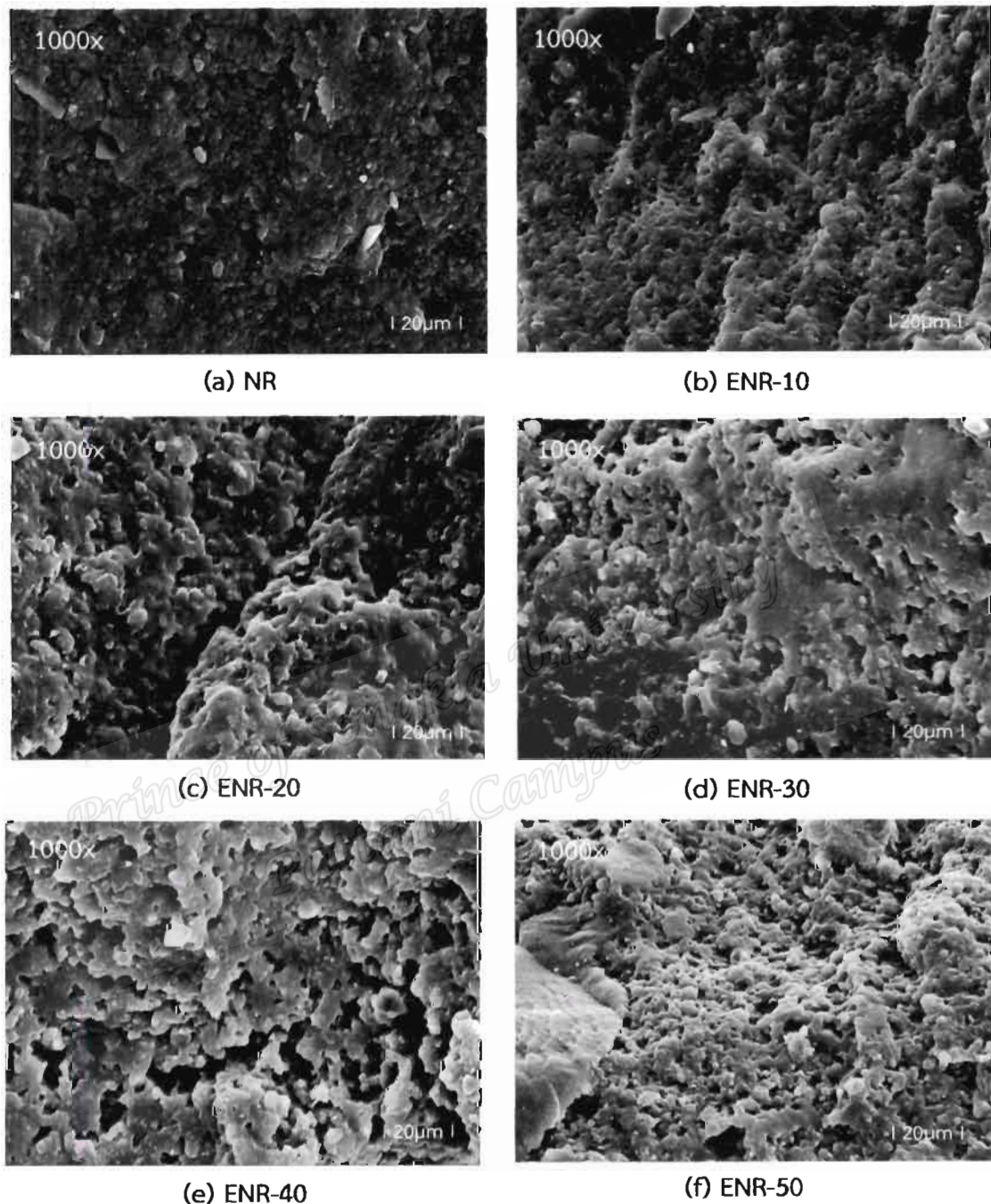
ENR-50 ตามลำดับ ซึ่งผลการทดลองที่ได้ไม่สอดคล้องกับความสามารถในการคืนรูปซึ่งแสดงในรูปที่ 4.94 กล่าวคือเทอร์โมพลาสติกวัลค้านี้จะมีความสามารถในการคืนรูปลดลง (Tension set เพิ่มขึ้น) เมื่อปริมาณหมุ้อพอกไชร์เพิ่มขึ้น



รูปที่ 4.107 ค่า  $\tan \delta$  ที่ความถี่ 2 Hz กับความถี่ของเทอร์โมพลาสติกวัลคานี้จากการเบلنด์ NR/RR/PEC เมื่อประชิดยางธรรมชาติ

#### 4.7.7 การศึกษาอิทธิพลของชนิดยางธรรมชาติต่อสัณฐานวิทยาของเทอร์โมพลาสติกวัลคานี้จากการเบلنด์ระหว่าง NR/RR/PEC

นำเทอร์โมพลาสติกวัลคานี้จากการเบلنด์ระหว่าง NR/RR/PEC ที่ศึกษาผลของชนิดยางธรรมชาติ มาศึกษาลักษณะสัณฐานวิทยา ได้ผลการทดลองแสดงดังรูปที่ 4.108 พบว่าลักษณะสัณฐานวิทยาของเทอร์โมพลาสติกวัลคานี้ที่ใช้ยางธรรมชาติ (รูปที่ 4.108(a)) จะมีลักษณะของพื้นผิวที่เรียบและสม่ำเสมอกว่าเทอร์โมพลาสติกวัลคานี้ที่ใช้ยางธรรมชาติอิพอกไชร์ (รูปที่ 4.108(b)-(f)) รวมถึงจะมีความเป็นเนื้อเดียวกันมากกว่าด้วย และเมื่อเปรียบระหว่างเทอร์โมพลาสติกวัลคานี้ที่ใช้ยางธรรมชาติอิพอกไชร์ พบว่าลักษณะพื้นผิวของเทอร์โมพลาสติกวัลคานี้จะมีลักษณะที่หยาบและขรุขระเพิ่มมากขึ้น และเกิดการแยกเฟスマากขึ้นตามปริมาณหมุ้อพอกไชร์ในยางธรรมชาติอิพอกไชร์ที่เพิ่มขึ้น



รูปที่ 4.108 ลักษณะสัมผaanวิทยาของเทอร์โมพลาสติกวัลค่าในช่วงจากการเบلنด์ NR/RR/PEC เมื่อประชนิดยางธรรมชาติ